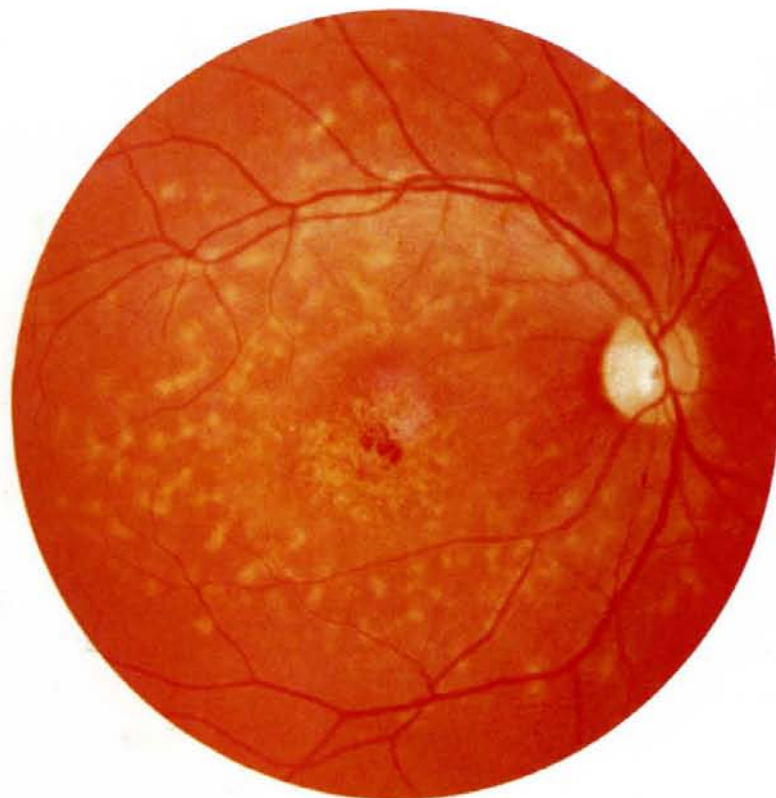


Mots-Clefs

- Maladie de Stargardt
- Fundus Flavimaculatus
- Dégénérescence tapéto-rétinienne centrale
- Dystrophie maculaire juvénile dominante
- Dystrophie des cônes
- Périfovéolopathie
- «œil de bœuf»



Photos Couverture

Face : Obs. 11 - Famille VI - Maladie de Stargardt  
Dos : Obs. 42 - Famille VI - Sœur de l'obs. 11 - Fundus Flavimaculatus

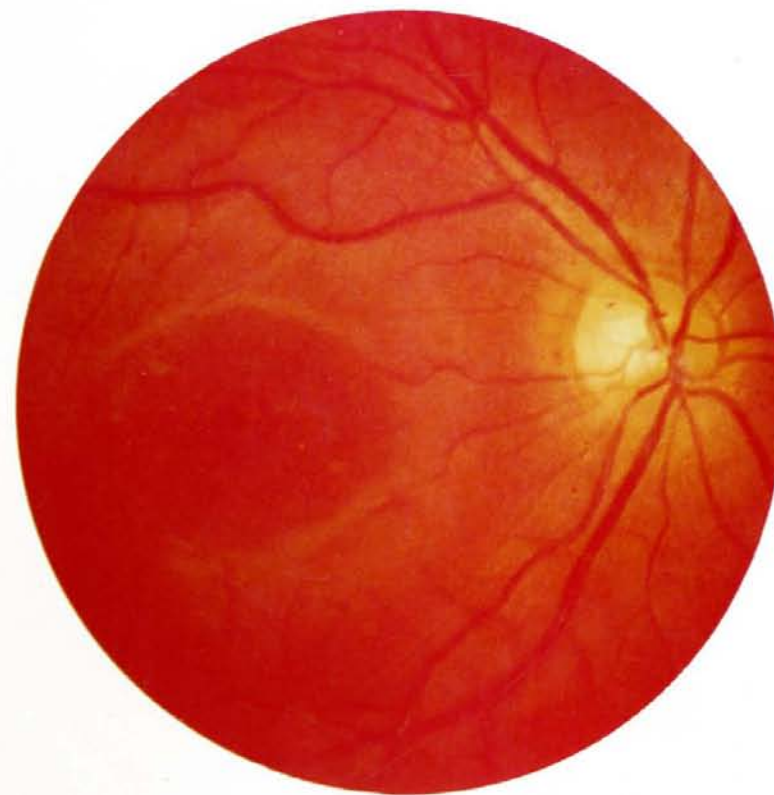
MALADIE DE STARGARDT et FUNDUS FLAVIMACULATUS

Bernard PUECH

1975

Bernard PUECH

# MALADIE DE STARGARDT et FUNDUS FLAVIMACULATUS



TRAVAIL DE LA CLINIQUE OPHTAMOLOGIQUE  
DU CENTRE HOSPITALIER DE LILLE

PROFESSEUR P. FRANÇOIS

1975

# MALADIE DE STARGARDT et FUNDUS FLAVIMACULATUS

Prix Chibret d'Ophtalmologie 1975



décerné par  
la Société Française d'Ophtalmologie,  
le 4 mai 1975,  
au **docteur Bernard PUECH**,  
Centre Hospitalier Régional de Lille

Après une revue générale de très nombreuses publications parues sur la maladie de Stargardt, et une étude de 39 maladies de Stargardt et 22 *Fundus Flavimaculatus* qu'il a suivies personnellement, l'auteur considère que ces deux affections sont identiques dans leurs caractéristiques cliniques, électrophysiologiques et génétiques. Il existe entre la forme strictement maculaire et la forme flavimaculée étendue, une forme intermédiaire avec « *embarras* » péri-maculaire. Le fait que l'on ait retrouvé ces trois formes associées indifféremment au sein de mêmes fratries nous amène à penser qu'il s'agit d'une seule maladie à expressivité variable.

La maladie de Stargardt, qu'elle soit pure ou flavimaculée, présente des aspects ophtalmoscopiques et fluorographiques typiques qui ont servi à poser le diagnostic des cas observés par l'auteur. Il distingue les lésions maculaires des lésions extra-maculaires, ces deux types de lésions coexistant deux fois sur trois.

Sur le plan fonctionnel, l'acuité visuelle tombe en quelques années à 1/10ème puis continue très lentement à s'altérer dans le temps. Le déficit fonctionnel, objectivé par l'étude de la vision chromatique, la périmétrie de profil et l'électrorétinogramme, est dû à l'altération grave des cônes maculaires dans les formes localisées à la macula; lorsque les lésions s'étendent sur tout le pôle postérieur, et même plus loin dans les formes centro-périphériques, si l'altération reste prédominante pour les cônes, il s'y associe une atteinte des bâtonnets.

La dysfonction du neuro-épithélium s'associe à une altération précoce de l'épithélium pigmentaire comme le montrent les fluorographies et les électrooculogrammes.

Bien que son tableau clinique soit assez typique, la maladie de Stargardt apparaît très polymorphe :

- dans l'âge d'apparition,
- dans ses aspects ophtalmoscopiques,
- dans les formes observées à l'intérieur d'une même famille.

C'est ce qui lui a valu parfois l'appellation « *fourre-tout* ». Dans sa recherche pour isoler d'autres affections dégénératives maculaires juvéniles, l'auteur n'a pu individualiser que la dystrophie des cônes dans la conception de Krill et Deutman.

L'hérédité du Stargardt pur ou flavimaculé est très fréquemment récessive, mais il existe des formes dominantes qui ne doivent pas être individualisées. Il n'existe aucune thérapeutique, mais l'évolution de l'affection ne conduit pas à la cécité totale; l'acuité visuelle de 1/20e et le champ visuel périphérique conservé permettent aux sujets de mener une certaine activité professionnelle, bien que le handicap les limite dans leurs études et leurs professions.

La pathogénie reste inconnue, il s'agit probablement d'un trouble enzymatique. L'atteinte primitive ne peut être située avec certitude bien que l'altération fonctionnelle soit certaine au niveau du cône, l'épithélium pigmentaire souffre de façon très précoce. Il est donc possible que le trouble métabolique agisse au niveau de la jonction épithélium pigmentaire et neuro-épithélium.

Bernard PUECH

TRAVAIL DE LA CLINIQUE OPHTAMOLOGIQUE  
DU CENTRE HOSPITALIER DE LILLE  
PROFESSEUR P. FRANÇOIS

**Thèse pour le Doctorat en Médecine**  
**MARS 1975**

# INTRODUCTION



Un siècle s'est écoulé depuis la première observation connue de dégénérescence maculaire juvénile (LEBER 1874). En fait, c'est seulement trente années plus tard, en 1909, que STARGARDT publia cette observation associée à ses propres cas.

Dans son étude détaillée, STARGARDT fut le premier à différencier la dégénérescence maculaire juvénile des autres dégénérescences et chorio-rétinites maculaires. C'est ainsi que cette maladie a, avec juste raison, conservé son nom, même si antérieurement d'autres auteurs avaient publié des cas voisins.

Voici dix ans, FRANCESCHETTI donnait à un aspect particulier du Fond d'œil le terme de «*Fundus Flavimaculatus*». Avec FRANCOIS J. et BABEL J., il identifia certaines publications antérieures de dégénérescences maculaires juvéniles étiquetées maladies de STARGARDT avec taches blanc-jaunâtres périmaculaires comme des Fundus Flavimaculatus. Il est cependant curieux de constater, à la lecture de la publication princeps de STARGARDT, en 1909, que sur sept cas décrits, six avaient des lésions de type flavimaculé qui, pour quatre d'entre eux s'étendaient jusqu'en nasal de la papille. Si donc on se réfère à cette publication, comme l'ont sûrement fait CAOCCI, FRIEMANN et MYLIUS, le diagnostic porté est tout à fait valable.

Ainsi MALADIE DE STARGARDT et FUNDUS FLAVIMACULATUS sont deux affections qui, dès leurs premières observations, ont été associées et imbriquées à tel point que, dans certains cas, on ne sait exactement s'il s'agit de l'une ou de l'autre maladie.

Plus récemment sont apparues d'autres entités proches de la maladie de STARGARDT. Dystrophie maculaire juvénile dominante (SORSBY et DAVEY 1955, DEUTMAN 1971), Dystrophie des cônes (SLOAN et BROWN 1962, GOODMAN et Coll. 1963), Dystrophie mixte des cônes et bâtonnets (BERSON et Coll. 1968), Rétinopathie pigmentaire centrale et péricentrale (DUKE ELDER 1940-1967).

Il existe donc actuellement une tendance à différencier les types ou dégénérescences maculaires juvéniles et à multiplier les entités proches de la maladie de STARGARDT. Les critères de différenciation utilisés étant ophtalmoscopiques, fluorographiques, génétiques et électrologiques.

Le but de notre travail est de donner, par l'étude de nos cas personnels confrontés avec ceux de la littérature, les éléments cliniques et paracliniques qui identifient la maladie de STARGARDT et le FUNDUS FLAVIMACULATUS, de préciser les rapports qui existent entre ces deux affections, enfin de voir si l'on peut différencier de nouveaux types de dégénérescence maculaire juvénile de la maladie de STARGARDT telle que nous l'avons identifiée.

# SOMMAIRE

## PREMIERE PARTIE

|                                                   |         |
|---------------------------------------------------|---------|
| <i>HISTORIQUE</i>                                 | 29 - 37 |
| – MALADIE DE STARGARDT                            |         |
| – FUNDUS FLAVIMACULATUS                           |         |
| <i>OBSERVATIONS PERSONNELLES</i>                  | 39 - 79 |
| – TABLEAU RECAPITULATIF                           |         |
| – STARGARDT PURS : 25 CAS                         |         |
| – STARGARDT AVEC ATTEINTE PERI-MACULAIRE : 14 CAS |         |
| – FUNDUS FLAVIMACULATUS : 22 CAS                  |         |

## DEUXIEME PARTIE

|                                                    |          |
|----------------------------------------------------|----------|
| <i>ETUDE CLINIQUE</i>                              | 83 - 142 |
| – CIRCONSTANCES DE DECOUVERTE                      |          |
| – ASPECT OPHTALMOSCOPIQUE ET FLUOROGRAPHIQUE       |          |
| 1) <i>STARGARDT</i>                                |          |
| A - OPHTALMOSCOPIE ET BIOMICROSCOPIE               |          |
| a) L'altération maculaire                          |          |
| a <sup>1</sup> ) Précoce                           |          |
| a <sup>2</sup> ) Début                             |          |
| a <sup>3</sup> ) Etat                              |          |
| a <sup>4</sup> ) Terminal                          |          |
| b) Les lésions en dehors de la macula              |          |
| b <sup>1</sup> ) Anneau péri-maculaire flavimaculé |          |
| b <sup>2</sup> ) Pigmentations périphériques       |          |
| c) Papille et vaisseaux                            |          |
| B - FLUOROGRAPHIE                                  |          |
| a) Lésions maculaires                              |          |
| b) Lésions péri-maculaires                         |          |
| c) Silence choroïdien                              |          |
| d) Formes à fluorographie normale                  |          |
| 2) <i>FUNDUS FLAVIMACULATUS</i>                    |          |
| A - OPHTALMOSCOPIE ET BIOMICROSCOPIE               |          |
| a) Altérations maculaires                          |          |
| b) Lésions flavimaculées                           |          |
| c) Papille et vaisseaux                            |          |
| B - FLUOROGRAPHIE                                  |          |
| a) Lésions maculaires                              |          |
| b) Lésions flavimaculées                           |          |
| c) Silence choroïdien                              |          |
| d) Formes à fluorographie normale                  |          |

|                                                                               |                  |
|-------------------------------------------------------------------------------|------------------|
| – ACUITE VISUELLE                                                             |                  |
| A - LORS DE LA DECOUVERTE DE LA MALADIE                                       |                  |
| B - AU STADE EVOLUE                                                           |                  |
| C - EN FONCTION DES LESIONS FLUOROGRAPHIQUES                                  |                  |
| D - EN FONCTION DE L'AGE DES SUJETS                                           |                  |
| E - ACUITE VISUELLE DYNAMIQUE                                                 |                  |
| – CHAMP VISUEL                                                                |                  |
| A - CHAMP VISUEL CLASSIQUE                                                    |                  |
| B - PERIMETRIE STATIQUE                                                       |                  |
| a) Formes de début                                                            |                  |
| b) Formes évoluées                                                            |                  |
| c) Variations en fonction des lésions fluorographiques                        |                  |
| – VISION CHROMATIQUE                                                          |                  |
| – ADAPTATION A L'OBSCURITE                                                    |                  |
| – ELECTROLOGIE                                                                |                  |
| A - ELECTRORETINOGRAPHE                                                       |                  |
| a) Technique                                                                  |                  |
| b) Résultats                                                                  |                  |
| c) Comparaison avec la littérature                                            |                  |
| B - ELECTRO-OCULOGRAPHIE                                                      |                  |
| a) Technique                                                                  |                  |
| b) Résultats                                                                  |                  |
| c) Comparaison avec la littérature                                            |                  |
| C - POTENTIELS OCCIPITAUX EVOQUES                                             |                  |
| a) Résultats comparés                                                         |                  |
| – EXAMEN GENERAL ET ASSOCIATIONS                                              |                  |
| <b>GENETIQUE</b>                                                              | <b>143 - 148</b> |
| – FORMES RECESSIVES                                                           |                  |
| – FORMES DOMINANTES                                                           |                  |
| – PROPORTIONS THEORIQUES ET PROPORTIONS OBSERVEES                             |                  |
| <b>ANATOMIE-PATHOLOGIQUE</b>                                                  | <b>149 - 152</b> |
| – RESUME DES DIFFERENTES ETUDES                                               |                  |
| A - MALADIE DE STARGARDT                                                      |                  |
| B - FUNDUS FLAVIMACULATUS                                                     |                  |
| <b>PHYSIOPATHOLOGIE</b>                                                       | <b>153 - 156</b> |
| <b>ETUDE NOSOLOGIQUE</b>                                                      | <b>157 - 164</b> |
| – IDENTITE ENTRE STARGARDT ET FUNDUS FLAVIMACULATUS                           |                  |
| – IDENTITE ENTRE STARGARDT ET CERTAINES<br>DEGENERESCENCES DU POLE POSTERIEUR |                  |
| <b>DIAGNOSTIC</b>                                                             | <b>165 - 171</b> |
| – AU STADE DE DEBUT                                                           |                  |
| – AUX STADES DES MANIFESTATIONS OPHTALMOSCOPIQUES                             |                  |
| – AUX STADES TARDIFS                                                          |                  |
| <b>THERAPEUTIQUE</b>                                                          | <b>173 - 176</b> |
| – ORIENTATION SOCIALES                                                        |                  |
| – APPAREILLAGE OPTIQUE                                                        |                  |
| – CONSEILS EUGENIQUES                                                         |                  |
| <b>CONCLUSION</b>                                                             | <b>177 - 180</b> |
| <b>BIBLIOGRAPHIE</b>                                                          | <b>181 - 201</b> |



## **Première Partie**

### **HISTORIQUE**

### **OBSERVATIONS PERSONNELLES**

# HISTORIQUE

# 1- MALADIE de STARGARDT

C'est en 1903 que STARGARDT découvrit l'affection. Dans l'article princeps, en 1909, il décrit deux familles au sein desquelles sept membres étaient atteints de dégénérescence progressive de la macula.

Les parents étaient normaux et non consanguins. L'affection débutait dans la jeune enfance, avant quinze ans, la vision centrale bonne antérieurement diminuait progressivement. A l'aide de ces sept cas, selon l'âge de la maladie et l'aspect ophtalmoscopique, STARGARDT décrit les différents stades de cette maladie.

Le fond d'œil, dans un premier temps (Paul H), était caractérisé par *«une certaine irrégularité de pigmentation dans la région maculaire, cette irrégularité pouvait encore passer facilement pour un aspect normal»*, puis (Marie H), *«on décelait sur la surface maculaire plusieurs taches gris-jaunâtres qui se détachaient à peine du reste du fond d'œil. De plus, en même temps, on constatait l'absence totale de reflet fovéolaire. Un peu plus tard, (Maurice N), apparaissaient sur la macula de petits foyers jaune-orangés nouveaux qui pouvaient confluer en de plus gros. . . A ce moment la pigmentation devenait plus irrégulière, de tous petits amas de pigments amorphes recouvraient la zone atteinte et étaient répartis de façon irrégulière. Les reflets fovéolaires et maculaires avaient alors disparu.»* Les petites taches jaunâtres s'étendaient ensuite jusqu'au reflet maculaire et au-delà *«alors que la zone atteinte s'agrandissait de tous côtés (Wilhelmine H) les altérations augmentaient au centre du foyer»* pour aboutir à l'aspect d'un trou avec de gros amas pigmentaires. Chez Dorothee H, il constatait à ce stade *«de tous petits flocons blancs, semblables à ceux que l'on voit au cours de l'albuminurie, ces flocons s'éloignaient alors en tous sens et un peu au-delà de la partie globalement atteinte, accompagnés de très subtils rayons blancs . . . Au stade final (Henri N), il se formait un foyer ovale transversal d'un diamètre de 1 1/2 à 2 diamètres papillaires, nettement délimité, dont les bords étaient légèrement pigmentés ; au fond de ce foyer, on reconnaissait quelques vaisseaux choroïdiens épars, d'un jaune orangé sale. Le fond lui-même étant jaune-gris sale et l'ensemble du foyer étant recouvert d'amas pigmentaires amorphes et fins . . . Dans tous les cas, à l'exception des premiers stades, on trouvait, près des foyers maculaires, de toutes petites taches blanchâtres de la taille de 1/2 à 1/10 de diamètre papillaire. Ces taches ressemblaient beaucoup à celles de la rétinite ponctuée albescente, mais elles étaient toutes moins contrastées . . . On les trouvait le plus souvent aux limites proches de la macula, mais aux stades ultérieurs (Henri N), on les voyait beaucoup plus loin jusqu'à la périphérie, et elles s'étendaient en direction de gros troncs vasculaires rétiens et même au-delà de ceux-ci et de la papille. Les vaisseaux rétiens étaient toujours parfaitement normaux, par contre, après une certaine évolution, il se produisait une pâleur légère du secteur temporal de la papille.»*

STARGARDT pensait que l'affection siégeait, au début du moins, dans les couches profondes de la rétine et qu'il s'agissait d'un processus dégénératif se rapprochant de la rétinite pigmentaire, mais avec atteinte des cônes et non des bâtonnets.

STARGARDT présentait, en fin de communication, un cas semblable très antérieur au sien (1874) que LEBER lui avait transmis : celui d'un enfant, âgé de sept ans, atteint de dégénérescence progressive du centre de la rétine chez qui s'ajoutèrent plus tard de légères altérations périphériques rétinienne.

D'autres observations, publiées antérieurement à STARGARDT, semblent aussi appartenir à cette affection : LANG (1885) frère et sœur atteints. R.D. BATTEN (1879) deux frères. MAGERS (1899), deux frères. DUJARDIN (1904) deux frères. JACKSON (1905) deux sœurs avec consanguinité des parents. VALUDE (1806) un cas solitaire. STEINDORFF (1906) deux sœurs. BAUMGARTEN (1907) une fille avec atteinte mixte centrale et périphérique. JENNING (1909) trois filles d'un mariage consanguin.

STARGARDT fit d'autres publications sur cette affection 1913, deux frères et une sœur (altération centrale associée à une atteinte périphérique), 1916, un homme 1917-1925, nouveaux sujets atteints de la même maladie.

Il faut noter que se sont différenciées, au fur et à mesure des publications, d'autres atteintes progressives dégénératives du pôle postérieur, en particulier les dégénérescences maculo-cérébrales (lipidoses) type TAY SACHS ou SPIELMEYER VOGT (Classification des dégénérescences rétinienne centrales de STARGARDT, 1917).

Il nous a semblé souhaitable, en hommage à STARGARDT, de faire suivre ce court historique d'un tableau récapitulatif des 7 cas de sa publication princeps et des deux illustrations de l'époque.

De très nombreuses publications sur cette maladie ont été faites ; on en trouvera l'étude exhaustive dans l'excellent ouvrage de DEUTMAN sur les dystrophies héréditaires du pôle postérieur de l'œil, paru en 1971.

Nous rappellerons succinctement, dans ses grandes lignes, l'évolution des idées sur la maladie de STARGARDT depuis sa description princeps.

## AU COURS D'UNE PÉRIODE CLINIQUE

Les auteurs, très nombreux, ont rapporté des observations pouvant s'y rattacher en insistant :

**\*sur les aspects ophtalmoscopiques** (LEWINA 1923, VALUDE & Coll. 1925, BROWN 1928, TILLE 1929, CAOCCI 1935, BIETTI 1937, SORSBY 1940, BONNET & CHAUVIRÉ 1943, MISSIROLI 1947, FRANCOIS J. & Coll. 1949, 1952, 1956, 1962, SUN 1951, ROSEHR 1954, MYLIUS 1955, KOZLOWSKI 1958, GRÜTZNER 1961 ...)

**\*sur le mode évolutif** (BEHR 1920, BEHR 1921, Von RÖTTH 1931, WAARDENBURG 1932-1963, WAKAYAMA 1939, SORSBY 1940-1941, HALLERMAN 1941, LLOYD 1943, ELWYN 1946-1955, ARRUDA 1947, AGATSTON 1948, BROGNOLI 1949, KLIEN 1950-1958, ROSEHR 1954, MYLIUS 1955, FRIEMAN 1955, GABA 1956 ...)

**\*sur les associations possibles** (DE ROSA 1925, BORSOTTI 1931, BORSELLINO 1935, FRANCESCHETTI & KLEIN 1941-1947, BONNET & HUGONNIER 1947, FRIEMAN 1955, VAN BOGAERT 1957, FRANCOIS J. & MASTILOVIC 1961, BESSIERE & Coll. 1962, FRANCOIS J., VERRIEST & DE ROUCK 1962, WALSH 1962, LEDIC VAN BOGAERT 1966, MALIK & Coll. 1966).

En fait, si l'on s'en réfère aux textes originaux, un certain nombre de ces publications ne correspondent pas à des maladies de STARGARDT et doivent être éliminées.

— *La transmission héréditaire* a été particulièrement étudiée. Tous les auteurs sont d'accord sur le mode d'hérédité récessif autosomal de cette maladie, mais la discussion reste ouverte pour les formes dominantes (DEUTMAN 1971, FRANCOIS J. 1974).

— *Les examens histologiques* effectués sur des affections évoluées ont montré des altérations importantes du neuro-épithélium et de l'épithélium pigmentaire.

— *L'altération précoce du sens chromatique*, STARGARDT 1909, 1913, 1916, 1917, BEHR 1920, MORELLI 1924), a permis aux auteurs de confirmer l'atteinte primitive des photorécepteurs puisque la dyschromatopsie était acquise (CLAUSEN 1921 & RIEGER 1925).

La dyschromatopsie d'axe rouge-vert avec diminution de la sensibilité au rouge est classique (STARGARDT 1909, 1913, 1916, 1917, BEHR 1920, MORELLI 1924, RIEGER 1925, FRANCESCHETTI 1930, LANDOLT 1955, FRANCOIS J. & Coll. 1956, 1957, 1961, 1962, GRÜTZNER 1961, VERRIEST 1964 ...), de même son évolution vers l'achromatopsie (FRANCOIS J., VERRIEST, DE ROUCK 1962, DEUTMAN 1971 ...). Cependant, d'autres altérations de type bleu-jaune peuvent être rencontrées (LANDOLT 1953, HONG 1957, BOZZONI 1959, COX 1960-1961, DEUTMAN 1971).

## DANS LA SECONDE PÉRIODE ÉLECTROPHYSIOLOGIQUE

Les recherches sur la maladie de STARGARDT ont repris pour déterminer, en fonction des altérations de l'électrorétinogramme et de l'électro-oculogramme, le primum movens de la maladie.

Bien que de nombreuses recherches aient été faites sur cette question (KARPE 1946-1958, DOLLFUS & Coll. 1951, FRANCESCHETTI & Coll. 1955, FRANCOIS J. & Coll. 1956, 1969, ISER & GOODMAN 1956, WADENSTEN 1956, HECK 1957, BESSIERE & CHABOT 1958, HENKES 1958, JAYLE & Coll. 1959-1964, RUEDEMANN & NOELL 1961, PONTE 1966, BESSIERE & Coll. 1962-1969, KRILL 1966, NIEMEYER 1969, PERDRIEL 1969, PINKERS 1971, COSCAS 1971, STANGOS & Coll. 1972) il semble que les méthodes employées ne soient pas suffisamment fiables pour être valablement interprétées.



Les résultats peuvent paraître contradictoires :

– L'électrorétinogramme est soit normal dans les formes purement centrales (KARPE 1946-1948, DOLLFUS & Coll. 1951, FRANCOIS J. 1952, FRANCESCHETTI & Coll. 1955-1963, WADENSTEN 1956, BESSIERE & Coll. 1957, FRANCOIS J. & Coll. 1958-1962-1968, STRAUB 1961, DEUTMAN 1971, JAEGER 1973 . . . ) ; soit anormal et même dans les formes purement centrales (JACOBSON & Coll. 1956, BESSIERE & CHABOT 1958, JAYLE & Coll. 1959, TOUFIC 1959, RUEDEMANN & NOELL 1961, BESSIERE & Coll. 1962-1969, KRILL 1966, FRANCOIS J. & DELAEY 1969, NIEMEYER 1969, PERDRIEL 1969, PINKERS 1971, COSCAS & Coll. 1971, DEUTMAN 1971, STANGOS & Coll. 1972, JAEGER 1973).

– L'électro-oculogramme est soit normal dans les lésions strictement maculaires (KRILL 1966, FRANCOIS J. & Coll. 1969, DEUTMAN 1971, JAEGER 1973 . . . ) ; soit anormal KRILL 1966, KELSEY 1969, ADAMS & Coll. 1969, PERDRIEL & Coll. 1970, PINKERS 1971, DEUTMAN 1971, GLIEM 1971, DORNE & ESPIARD 1971, JAEGER 1973 . . . ) parfois même lorsqu'il n'existe aucune lésion ophtalmoscopique débordant la macula (DEUTMAN 1971 . . . ).

Nous reverrons le problème lors de notre étude personnelle.

LA TROISIEME PERIODE FLUOROGRAPHIQUE

Elle a commencé lors de l'introduction de cette méthode dans les investigations ophtalmologiques. Elle a montré à la plupart des auteurs (BONNIN & BOUSQUET 1958, NORTON & Coll. 1965, AMALRIC 1966-1967, JÜTTE & LAMBRE 1968, FRANCOIS J. & DELAEY 1969, BABEL 1970, DEUTMANN 1971, BABEL 1971, BABEL & STANGOS 1972, Von der WERF 1972, COSCAS 1973, JAEGER 1973, FRANCOIS P. 1973 . . . ), la participation constante de l'épithélium pigmentaire à l'affection, l'anneau périfovéolaire fluorescent apparaissant dans la quasi totalité des cas. Les quelques rares exceptions de cette altération de l'épithélium pigmentaire (FRANCOIS J. 1970) méritent une discussion que nous reprendrons en fonction de notre étude personnelle.

Tableau 1

MALADES DE LA PUBLICATION PRINCEPS DE STARGARDT

| Nom           | Age de début | Age de consultation | Acuité visuelle   | Champ visuel isoptères périphériques | Champ visuel aux couleurs | Fond d'œil                | Lésions flavimaculées                                     |
|---------------|--------------|---------------------|-------------------|--------------------------------------|---------------------------|---------------------------|-----------------------------------------------------------|
| Dorothée H.   | 14           | 20                  | 4/50 8/50         | Nx                                   | Sc.Cent.R-V 10-15°        | Dégénérescence maculaire  | le long de la veine temporale inférieure                  |
| Paul H.       | 16           | 17                  | 8/35 8/25         | Nx                                   | Sc.Cent.R-V 3°            | Normal au début           | Périmaculaires                                            |
| Wilhelmine H. | 15           | 15                  | 8/15 8/10         | Nx                                   | Sc.Cent.R-V 15°           | Dégénérescence maculaire  | le long des artères temporales supérieures et inférieures |
| Marie H.      | 12           | 12                  | 8/15 8/15         | Nx                                   | Sc.Cent.R-V 2-3°          | Petites taches maculaires |                                                           |
| Louis N.      | 12           | 20                  | doigts à 5 mètres | Nx                                   | Sc.Cent.R-V 10-12°        | Dégénérescence maculaire  | sur tout le FO                                            |
| Henri N.      | 13           | 18                  | doigts à 4 mètres | Nx                                   | Sc.Cent.R-V 5°            | Dégénérescence maculaire  | sur tout le FO                                            |
| Maurice N.    | 8            | 15                  | 3/35 3/50         | Nx                                   | Sc.Cent.R-V 5-6°          | Dégénérescence maculaire  | au pôle postérieur                                        |

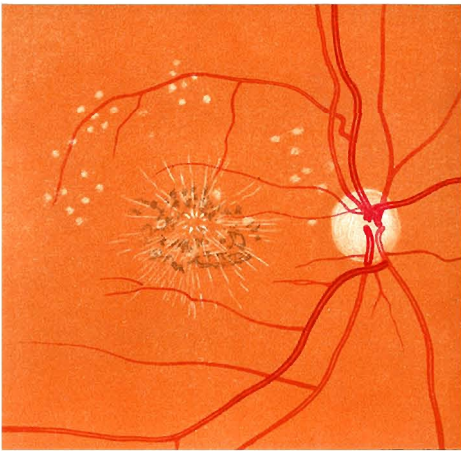


Figure 1 - Dorothée H.



Figure 2 - Henri N.

## 2-FUNDUS FLAVIMACULATUS

Le terme de « *Fundus Flavimaculatus* » prit naissance en 1963, lorsque FRANCESCHETTI isola cette maladie d'un groupe d'affections encore non classées en la définissant comme une dégénérescence tapéto-rétinienne avec « *la présence au niveau ou autour du pôle postérieur de taches jaunes ou jaune-blanchâtres disséminées ou groupées en une région déterminée* ».

Cette dystrophie pouvait être soit pure, non évolutive et de bon pronostic, soit associée à une dégénérescence maculaire ou à une héméralopie. Pour FRANCESCHETTI, en 1963, dans les cas purs, des fonctions visuelles et l'électrorétinogramme étaient tout à fait normaux. Dans les cas associés à une dégénérescence maculaire et plus rarement à une héméralopie, il existait tout de même une réponse de l'électrorétinogramme en scotopique diminuée, mais toujours présente.

Dans la publication originale et les suivantes, 36 sujets ont été décrits par FRANCESCHETTI. Vingt hommes pour seize femmes, dix-sept sujets avaient moins de 25 ans, un cas sur deux avait une affection maculaire de type STARGARDT, les autres avaient une vue presque normale. L'affection était héréditaire de type récessif.

Cette maladie a suscité depuis dix ans de nombreuses publications. Elles concernent souvent des cas familiaux (HOLLWICH 1963, RAVAUT & Coll. 1966, AMALRIC 1967-1971, KLIEN & KRILL 1967, BROWN & HILL 1968, KAREL 1968, DEUTMAN 1971, Von der WERF 1972, BABEL 1972) d'autres sont des cas isolés (SCIALFA 1964, SCHENK 1964, CARR 1965, ROUHER 1966, BABEL & FARPOUR 1967-1972, HELM 1967, AMALRIC 1967-1971, BUIUC & BUIUC 1967, YURI 1969, FRANCOIS J. 1970, DEUTMAN 1971, IRVINE 1972).

Un examen histologique a été réalisé, il ne porte malheureusement que sur les lésions périphériques, la macula de cet œil ayant été englobée dans un tissu cicatriciel d'origine post-traumatique.

### CETTE MALADIE EST CARACTÉRISÉE :

— **Par un aspect ophtalmoscopique particulier** : existence de taches rétinienne profondes, jaunâtres, souvent en queue de poisson localisées au pôle supérieur, ou en couronne autour du pôle postérieur.

— **Cet aspect correspond sur le plan fluorographique** à l'apparition, dès le temps artériel, de taches fluorescentes de même forme. (KLIEN & KRILL 1967, WESSING 1968, DEUTMAN 1971, BABEL 1972). Il s'y associerait, une fois sur deux, des lésions maculaires de type STARGARDT (FRANCESCHETTI & FRANCOIS J. 1965, KLIEN & KRILL 1967, DEUTMAN 1971 ...).

— Cette maladie est en général récessive autosomale (FRANCESCHETTI & FRANCOIS J. 1965, KLIEN & KRILL 1967, DEUTMAN 1971 ...).

La vision très diminuée dans les formes accompagnées d'altération maculaire resterait bien conservée dans les formes pures (FRANCESCHETTI, FRANCOIS J. & BABEL 1963, KLIEN & KRILL 1967, DEUTMAN 1971 ...).

— **Le trouble de la vision colorée** (FRANCESCHETTI, FRANCOIS J. & BABEL 1963, FRANCESCHETTI, FRANCOIS J. 1965, HOLLWICH 1963, SCHENK 1967, KRILL & KLIEN 1965, RAVAUT & Coll. 1966, DEUTMAN 1971, BABEL 1972) l'absence ou de très légères perturbations de l'adaptométrie (FRANCESCHETTI, FRANCOIS J. & BABEL 1963, KRILL & KLIEN 1963, SCHENK 1964, SCIALFA 1964, CARR 1965, BRUNI 1966, ROUHER & Coll. 1966, RAVAUT & Coll. 1966, KLIEN & KRILL 1967, YURI & Coll. 1969) et campimétriques (FRANCESCHETTI & FRANCOIS J. 1965, KLIEN & KRILL 1967, DEUTMAN 1971 ...) la rapprochent de la maladie de STARGARDT. Il en est de même de l'électrorétinogramme normal (HOLLWICH 1963, SCHENK 1964, SCIALFA 1964, FRANCESCHETTI, FRANCOIS J., BABEL 1963, FRANCESCHETTI, FRANCOIS J. 1965, CARR 1966, RAVAUT & Coll. 1966, PERINI 1966, PONTE 1966, TORELLI & VOLPI 1966, HELNER 1967, YURI & Coll. 1969, GLIEM 1971 ...) subnormal (KLIEN & KRILL 1967, DEUTMAN 1971, BABEL 1972) et de l'électro-oculogramme normal ou subnormal (KRILL 1966, GASS 1968, KLIEN & KRILL 1967, DEUTMAN 1971, PINKERS 1971, BABEL 1972, FRANCOIS J. 1974).

# OBSERVATIONS PERSONNELLES

Ces observations ont été étudiées  
dans le Service d'Ophthalmologie de la Cité Hospitalière de Lille  
**Professeur P. FRANCOIS**

Elles ont été classées par ordre alphabétique en trois groupes :

**Maladies de STARGARDT strictement maculaires**  
Observations 1 à 25

**Maladies de STARGARDT avec lésions périmaculaires**  
Observations 26 à 39

**FUNDUS FLAVIMACULATUS**  
Observations 40 à 61

Tableau 2a

| OBSERVATION                                                     | 1                     | 2                          | 3                            | 4                        | 5                        | 6            | 7                         | 8                        | 9                        | 10                       | 11                           | 12                     | 13                       | 14                       | 15         | 16                         |   |
|-----------------------------------------------------------------|-----------------------|----------------------------|------------------------------|--------------------------|--------------------------|--------------|---------------------------|--------------------------|--------------------------|--------------------------|------------------------------|------------------------|--------------------------|--------------------------|------------|----------------------------|---|
| AGE AU PREMIER EXAMEN                                           | 19                    | 36                         | 14                           | 34                       | 27                       | 34           | 13                        | 16                       | 20                       | 17                       | 23                           | 12                     | 20                       | 36                       | 51         | 42                         |   |
| SEXE<br>□ = M ○ = F                                             | □                     | ○                          | □                            | □                        | □                        | □            | ○                         | □                        | ○                        | □                        | ○                            | □                      | ○                        | □                        | □          | □                          |   |
| AGE DE DÉBUT                                                    | 13                    | 22                         | 14                           | 34                       | 20                       | ?            | 9                         | 10                       | 10                       | 16                       | 19                           | 12                     | 20                       | 35                       | ?          | 10                         |   |
| A.V. AU PREMIER EXAMEN                                          | 2/10<br>2/10          | 1/20<br>1/30<br>P28<br>P28 | 5/10<br>2/10<br>P10<br>P10   | 6/10<br>8/10<br>P3<br>P2 | 1/10<br>1/10<br>P6<br>P6 | 4/10<br>6/10 | 1/10<br>1/10<br>P10<br>P8 | 8/10<br>9/10<br>P2<br>P2 | 4/10<br>5/10<br>P2<br>P2 | 8/10<br>7/10<br>P2<br>P2 | 6/10<br>7/10<br>P1,5<br>P1,5 | 1/10<br>2/10<br>1/10   | 2/10<br>2/10<br>P8<br>P8 | 7/10<br>8/10<br>E2<br>P2 |            | 1/10<br>2/10<br>P14<br>P14 |   |
| DURÉE D'OBSERVATION                                             | 1                     | 10                         | 5                            | 1                        | 1                        | 1            | 10                        | 2                        | 2                        | 2                        | 4                            | 1                      | 1                        | 1                        | 1          | 2                          |   |
| A.V. AU DERNIER EXAMEN                                          |                       | 1/30                       | 5/10<br>1,4/10<br>P10<br>P10 |                          |                          |              | 1/30<br>1/20              | 5/10<br>5/10<br>P2<br>P2 | 4/10<br>2/10<br>P2<br>P2 | 7/10<br>6/10<br>P2<br>P2 | 2/10<br>2/10<br>P3<br>P2     |                        | 2/10f<br>2/10f           |                          |            | 1/20<br>1/20<br>P14<br>P14 |   |
| APPAREILLAGE POUR AMBLYOPES<br>E = échec<br>R = réussite        |                       |                            | +                            | E                        |                          |              |                           |                          |                          |                          |                              |                        |                          |                          |            | +                          | E |
| VISION DES COULEURS<br>OD<br>OG                                 | RV<br>RV              | RV<br>RV                   | RV<br>RV                     | SA<br>SA                 | RV<br>RV                 |              | SA<br>SA                  | RV<br>SA                 | N<br>N                   | SA<br>RV                 | RV<br>RV                     | N<br>N                 | N<br>N                   | SA<br>SA                 | R<br>R     | SA<br>SA                   |   |
| ERG μV PHOTOPIQUE<br>OD a<br>OD b1<br>OG a<br>OG b1             | 60<br>100<br>50<br>80 | 40<br>50<br>35<br>80       | N<br>N                       | N<br>60<br>25<br>50      | 15<br>60<br>25<br>50     |              |                           | 60<br>120<br>54<br>125   | AI<br>190<br>80<br>190   | 80<br>100<br>60<br>105   | 30<br>60<br>50<br>150        | 60<br>180<br>76<br>180 | 22<br>76<br>24<br>60     | AI                       | AI         | 42<br>120<br>40<br>100     |   |
| ROUGE PHOTOPIQUE                                                | N                     | AI                         |                              | AI                       | AI                       |              | AI                        | N                        | AI                       |                          |                              |                        | AI                       | AI                       | AI         |                            |   |
| EOG μV RAPPORT<br>OD<br>OG                                      | 1,9<br>1,5            | 1,6<br>1,8                 |                              | 1,5<br>1,6               |                          |              |                           | 1,5<br>1,4               | 1,55<br>1,5              | 2,2<br>2,4               | 1,8<br>1,8                   |                        |                          |                          | 2,22<br>2  | 1,35<br>1,4                |   |
| ÉBLOUISSEMENT<br>OD<br>OG                                       | 575<br>520            | 400<br>400                 |                              |                          |                          |              |                           | 450<br>600               | 625<br>675               | 780<br>980               | 450<br>450                   |                        |                          |                          | 600<br>700 | 600<br>500                 |   |
| OBSCURITÉ<br>OD<br>OG                                           | 300<br>350            | 250<br>220                 |                              |                          |                          |              |                           | 300<br>425               | 400<br>450               | 360<br>420               | 250<br>230                   |                        |                          |                          | 270<br>350 | 450<br>350                 |   |
| POE                                                             | N                     |                            |                              |                          |                          |              |                           | N                        |                          | N                        |                              |                        |                          |                          |            |                            |   |
| Fluorographie Fig.                                              | 40                    | 48                         | 3                            | 4                        | 5                        |              |                           | 39                       | 6                        | 42                       | 15                           |                        |                          | 7                        | 8          | 9                          |   |
| RV = ROUGE-VERT - BJ = BLEU-JAUNE - SA = SANS AXE - AI = ALTÈRE |                       |                            |                              |                          |                          |              |                           |                          |                          |                          |                              |                        |                          |                          |            |                            |   |

Tableau 2b

| OBSERVATION                                              | 17                       | 18                         | 19           | 20                       | 21                         | 22                       | 23                       | 24                           | 25                       | 26                          | 27                         | 28                          | 29                         | 30                          | 31                         | 32                       |
|----------------------------------------------------------|--------------------------|----------------------------|--------------|--------------------------|----------------------------|--------------------------|--------------------------|------------------------------|--------------------------|-----------------------------|----------------------------|-----------------------------|----------------------------|-----------------------------|----------------------------|--------------------------|
| AGE AU PREMIER EXAMEN                                    | 15                       | 50                         | 38           | 28                       | 22                         | 8                        | 17                       | 45                           | 22                       | 32                          | 18                         | 45                          | 23                         | 55                          | 25                         | 9                        |
| SEXE<br>□ = M ○ = F                                      | □                        | □                          | □            | ○                        | □                          | □                        | □                        | ○                            | □                        | ○                           | □                          | □                           | □                          | □                           | ○                          | ○                        |
| AGE DE DÉBUT                                             | 7                        | en-<br>face                | 32           | 26                       | 18                         | 8                        | 16                       | en-<br>face                  | 22                       | 32                          | 16                         | 24                          | 23                         | ?                           | 23                         | 7                        |
| A.V. AU PREMIER EXAMEN                                   | 3/10<br>4/10<br>P4<br>P4 | 4/10<br>1/20<br>P2f<br>P14 | 1/10<br>1/10 | 2/10<br>1/10<br>P6<br>P6 | 7/10<br>5/10<br>P1,5<br>P3 | 2/10<br>1/10<br>P2<br>P6 | 6/10<br>3/10<br>P5<br>P5 | 1/30<br>1/50<br>P28f<br>P28f | 5/10<br>3/10<br>P2<br>P3 | 10/10<br>1/20<br>P2<br>P10f | 1/10<br>1/10<br>P14<br>P14 | 1/30<br>1,5/10<br>P28<br>P8 | 4/10<br>10/10<br>P5<br>P2  | 2/10<br>5/10<br>P8<br>P6    | 1/10<br>6/10<br>P14<br>P2f | 1/10<br>1/10<br>P8<br>P8 |
| DURÉE D'OBSERVATION                                      | 10                       | 1                          | 5            | 3                        | 6                          | 1                        | 1                        | 2                            | 10                       | 8                           | 1                          | 9                           | 10                         | 4                           | 1                          | 2                        |
| A.V. AU DERNIER EXAMEN                                   | 1/10<br>1/10<br>P4<br>P4 |                            | 1/10<br>1/10 | 1/10<br>1/10             | 7/10<br>5/10               | 2/10<br>1/10             |                          | 1/30<br>1/50<br>P28<br>P28   | 1/15<br>1/10<br>P8<br>P4 | 1/10<br>1/30<br>P8<br>P28   | 1/10f<br>1/10f             | 1/30<br>1,5/10              | 1/10<br>1/10<br>P10<br>P10 | 2/10<br>5/10<br>P8<br>P6    |                            | 1/10<br>1/10             |
| APPAREILLAGE POUR AMBLYOPES<br>E = échec<br>R = réussite |                          |                            | +            | R                        |                            |                          |                          |                              | +                        | +                           |                            | +                           | +                          |                             |                            |                          |
| VISION DES COULEURS<br>OD<br>OG                          | RV<br>RV                 | RV<br>RV                   |              | N<br>N                   |                            | RV<br>RV                 | N<br>N                   |                              | RV<br>RV                 | BJ<br>RV                    | SA<br>SA                   | RV<br>BJ                    | SA<br>SA                   | RV<br>RV                    | N<br>N                     | RV<br>RV                 |
| ERG μV PHOTOPIQUE<br>OD a<br>OD b1<br>OG a<br>OG b1      | 70<br>150<br>60<br>170   | 36<br>40<br>26<br>45       |              | 85<br>200<br>90<br>130   |                            | 45<br>75<br>44<br>54     | 41<br>73<br>29<br>70     | 55<br>100<br>48<br>95        | 40<br>75<br>35<br>75     |                             | 80<br>80<br>70<br>80       |                             | 70<br>240<br>70<br>240     | N<br>60<br>120<br>40<br>140 |                            | 60<br>120<br>40<br>140   |
| ROUGE PHOTOPIQUE                                         | AI                       | AI                         |              |                          |                            | AI                       | AI                       | AI                           | AI                       | AI                          | N                          | N                           | N                          | N                           | AI                         |                          |
| EOG μV RAPPORT<br>OD<br>OG                               |                          |                            |              |                          |                            | 1,2<br>1,28              | 2<br>2                   |                              |                          | 1,75<br>2,12                |                            | 1,50<br>2,00                |                            | 1,70<br>2,00                |                            | 1,8<br>1,9               |
| ÉBLOUISSEMENT<br>OD<br>OG                                |                          |                            |              |                          |                            |                          |                          |                              |                          | 700<br>750                  |                            | 450<br>500                  |                            | 500<br>750                  |                            | 700<br>650               |
| OBSCURITÉ<br>OD<br>OG                                    |                          |                            |              |                          |                            |                          |                          |                              | 400<br>350               |                             | 300<br>250                 |                             | 310<br>360                 |                             | 350<br>350                 |                          |
| POE                                                      |                          | AI                         |              |                          |                            |                          |                          |                              | AI                       |                             |                            |                             |                            |                             | AI                         |                          |
| Fluorographie Fig.                                       | 10                       | 11                         |              | 12                       | 13                         | 14                       | 16                       | 30                           | 46                       | 32                          | 34                         | 44                          |                            | 43                          |                            | 45                       |



Tableau 2c

| OBSERVATION                                                                      | 33                       | 34                       | 35                         | 36                       | 37                   | 38                       | 39                         | 40                         | 41                       | 42                           | 43                       | 44                          | 45                          | 46                         | 47                           | 48                         |
|----------------------------------------------------------------------------------|--------------------------|--------------------------|----------------------------|--------------------------|----------------------|--------------------------|----------------------------|----------------------------|--------------------------|------------------------------|--------------------------|-----------------------------|-----------------------------|----------------------------|------------------------------|----------------------------|
| AGE AU PREMIER EXAMEN                                                            | 31                       | 20                       | 26                         | 14                       | 17                   | 14                       | 23                         | 28                         | 12                       | 28                           | 12                       | 10                          | 40                          | 18                         | 35                           | 20                         |
| SEXE<br>□ = M ○ = F                                                              | □                        | □                        | ○                          | ○                        | □                    | ○                        | □                          | □                          | □                        | ○                            | ○                        | □                           | ○                           | ○                          | ○                            | □                          |
| AGE DE DÉBUT                                                                     | 6                        | 10                       | 8                          | 13                       | 13                   | 8                        | 19                         | 16                         | 12                       | 13                           | 11                       | 8                           | 10                          | 12                         | 12                           | 7                          |
| A.V. AU PREMIER EXAMEN                                                           | 2/10<br>1/10<br>P6<br>P6 | 1/10<br>1/10<br>P5<br>P5 | 1/10f<br>1/10<br>P4f<br>P4 | 1/10<br>1/10<br>P8<br>P6 | 6/10<br>6/10         | 4/10<br>4/10<br>P5<br>P5 | 1/10<br>1/10<br>P10<br>P10 | 1/10<br>1/10<br>P10<br>P10 | 2/10<br>2/10<br>P3<br>P3 | 1/10<br>1/10<br>4/10<br>4/10 | 1/10<br>1/10<br>P3<br>P2 | 1/10<br>1/10<br>P8<br>P8    | 1/50<br>1/10f<br>P10<br>P14 | 1/10<br>1/10<br>P10<br>P14 | 1/10<br>1/15<br>P14<br>P14   | 1/20<br>1/15<br>P14<br>P14 |
| DURÉE D'OBSERVATION                                                              | 14                       | 2                        | 2                          | 1                        | 1                    | 6                        | 1                          | 13                         | 1                        | 7                            | 1                        | 5                           | 1                           | 1                          | 6                            | 1                          |
| A.V. AU DERNIER EXAMEN                                                           | 1/20<br>1/30             | 1/10f<br>1/10f           | 1/10f<br>1/10f             |                          |                      | 1/10<br>1/10             |                            | 1/10<br>P14<br>P10         |                          | 1/10<br>1/10<br>P10<br>P10   | 1/10<br>2/10             | 1/15<br>1/10f<br>P14<br>P14 |                             |                            | 1/20<br>1/15<br>P14f<br>P14f |                            |
| APPAREILLAGE POUR AMBLYOPES<br>E = échec<br>R = réussite                         |                          | +                        | +                          | +                        | +                    | +                        |                            | +                          |                          | +                            |                          | +                           |                             | +                          |                              | +                          |
| VISION DES COULEURS<br>OD<br>OG                                                  | RV<br>RV                 | RV<br>RV                 | RV<br>RV                   | RV<br>RV                 | RV<br>RV             | RV<br>RV                 | BJ<br>BJ                   | RV<br>RV                   | BJ<br>BJ                 | SA<br>SA                     | N<br>N                   | RV<br>RV                    | RV<br>RV                    | N<br>N                     | SA<br>SA                     | achro-<br>mate             |
| ERG μV PHOTOPIQUE<br>OD a<br>OD b1<br>OG a<br>OG b1<br>ROUGE PHOTOPIQUE          | 40<br>60<br>40<br>75     | 40<br>70<br>60<br>100    | 40<br>60<br>40<br>60       |                          | 33<br>70<br>33<br>80 | 30<br>120<br>54<br>170   |                            | 80<br>140<br>80<br>150     | 50<br>22<br>48<br>24     | 70<br>140<br>70<br>100       | 48<br>104<br>56<br>85    |                             |                             |                            | N                            |                            |
| EOG μV RAPPORT<br>OD<br>OG<br>ÉBLOUISSEMENT<br>OD<br>OG<br>OBSCURITÉ<br>OD<br>OG |                          |                          | 1,77<br>1,68               |                          |                      |                          |                            | 2,15<br>2                  | 1,08<br>1,07             | 1,6<br>1,6                   |                          |                             |                             |                            |                              |                            |
| POE                                                                              | AI                       | N                        |                            |                          |                      |                          |                            | AI                         |                          | AI                           |                          |                             |                             |                            |                              |                            |
| Fluorographie Fig.                                                               |                          |                          | 50                         | 17                       | 52                   | 36                       | 18                         | 19                         | 70                       | 65-66                        | 56                       | 20                          |                             |                            | 60                           |                            |

Tableau 2d

| OBSERVATION                                                                      | 49                         | 50                         | 51                       | 52                       | 53                       | 54                         | 55                       | 56                         | 57                       | 58                           | 59                           | 60                         | 61                         |
|----------------------------------------------------------------------------------|----------------------------|----------------------------|--------------------------|--------------------------|--------------------------|----------------------------|--------------------------|----------------------------|--------------------------|------------------------------|------------------------------|----------------------------|----------------------------|
| AGE AU PREMIER EXAMEN                                                            | 10                         | 12                         | 23                       | 15                       | 31                       | 15                         | 23                       | 13                         | 10                       | 65                           | 42                           | 43                         | 10                         |
| SEXE<br>□ = M ○ = F                                                              | □                          | □                          | □                        | ○                        | □                        | ○                          | ○                        | □                          | □                        | ○                            | ○                            | ○                          | ○                          |
| AGE DE DÉBUT                                                                     | 10                         | 12                         | 12                       | <15                      | 31                       | 14                         | <20                      | 13                         | 9                        | ?                            | ?                            | <30                        | 10                         |
| A.V. AU PREMIER EXAMEN                                                           | 1/30<br>1/20<br>P14<br>P14 | 2/10<br>2/10<br>P10<br>P10 | 1/10<br>2/10<br>P8<br>P8 | 1/10<br>1/15<br>P8<br>P8 | 8/10<br>7/10<br>P2<br>P1 | 1/10<br>1/10<br>P6f<br>P6f | 2/10<br>2/10<br>P8<br>P8 | 1/15<br>2/10<br>P14<br>P6  | 1/10<br>2/10<br>P6<br>P8 | 1/10<br>7/10<br>P10f<br>P10f | 1/10<br>1/10<br>P10f<br>P10f | 1/10<br>1/10<br>P10<br>P10 | 1/10<br>1/15<br>P10<br>P10 |
| DURÉE D'OBSERVATION                                                              | 1                          | 1                          | 3                        | 5                        | 6                        | 8                          | 1                        | 2                          | 4                        | 2                            | 8                            | 1                          | 1                          |
| A.V. AU DERNIER EXAMEN                                                           |                            |                            | 1/10<br>2/10             | 1/10<br>1/25<br>P8<br>P8 | 7/10<br>6/10<br>P2<br>P2 | 1/15<br>1/12<br>P6f<br>P6f |                          | 1/30<br>1/15<br>P14<br>P10 | 1/10<br>1/10<br>P6<br>P8 | 1/10<br>4/10                 | 1/10<br>1/12<br>P10f<br>P10  |                            |                            |
| APPAREILLAGE POUR AMBLYOPES<br>E = échec<br>R = réussite                         |                            | +                          | +                        | +                        |                          | +                          |                          |                            |                          |                              | +                            |                            |                            |
| VISION DES COULEURS<br>OD<br>OG                                                  | RV<br>RV                   | RV<br>RV                   | SA<br>SA                 | RV<br>RV                 | SA<br>SA                 | RV<br>RV                   |                          | RV<br>RV                   | RV<br>RV                 | BJ<br>BJ                     |                              |                            | BJ<br>BJ                   |
| ERG μV PHOTOPIQUE<br>OD a<br>OD b1<br>OG a<br>OG b1<br>ROUGE PHOTOPIQUE          | 29<br>60<br>27<br>75       | 25<br>112<br>34<br>72      |                          | 70<br>240<br>85<br>200   | 50<br>190<br>70<br>160   | 50<br>90<br>50<br>100      | N                        | 50<br>200<br>80<br>170     | 40<br>90<br>40<br>90     | 17<br>80<br>18<br>95         | 34<br>110<br>40<br>150       | 25<br>120<br>20<br>120     | 40<br>90<br>50<br>90       |
| EOG μV RAPPORT<br>OD<br>OG<br>ÉBLOUISSEMENT<br>OD<br>OG<br>OBSCURITÉ<br>OD<br>OG |                            | 1,4<br>1,43                |                          |                          |                          | 1,35<br>1,40               |                          |                            | 1,6<br>1,6               | 1,33<br>1,55                 |                              |                            |                            |
| POE                                                                              |                            | AI                         |                          |                          |                          | N                          |                          |                            |                          |                              |                              |                            |                            |
| Fluorographie Fig.                                                               | 21                         | 67                         | 62                       | 68                       | 64                       | 22                         | 38                       | 23                         | 24                       |                              |                              | 25                         | 26                         |

# **OBSERVATION 1 Famille I (1) Figure 40 (2)**

Ascendants et collatéraux indemnes en dehors d'une sœur.

Robert, vu à l'âge de 19 ans, envoyé par l'armée.

**VOD : 1/10 - VOG : 1/10** (3)

Début de l'affection à 14 ans

**F.O. droit** : aspect dégénératif maculaire avec petit remaniement pigmentaire

**F.O. gauche** : cicatrice de chorio-rétinite maculaire traumatique

**Fluorographie OD** : imprégnation fluorescéique périfovéolaire en ocelle

**Vision des couleurs OD** : altération d'axe rouge-vert

**Périmétrie de profil** : scotome relatif œil droit et déficit paramaculaire absolu œil gauche, correspondant à la cicatrice chorio-rétinienne

**L'électro-oculogramme** est altéré du côté de la chorio-rétinite traumatique

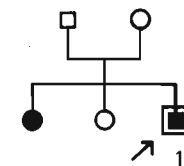
**Le rapport d'ARDEN** est 1,90 OD et 1,50 OG

**L'électrorétinogramme** donne des réponses un peu faibles au rouge et une diminution de l'onde b<sup>1</sup> à gauche

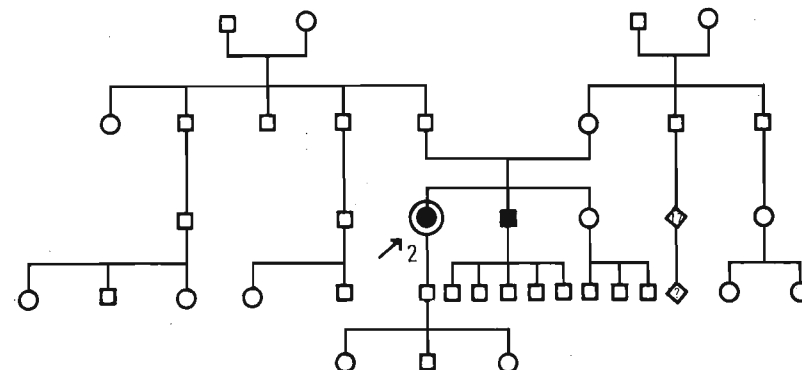
**Les P.O.E.** sont normaux

**AND** ... Robert avait déjà été examiné à l'Hôpital Laënnec ; sa sœur Marie-Esther semble également atteinte, nous n'avons pu l'examiner.

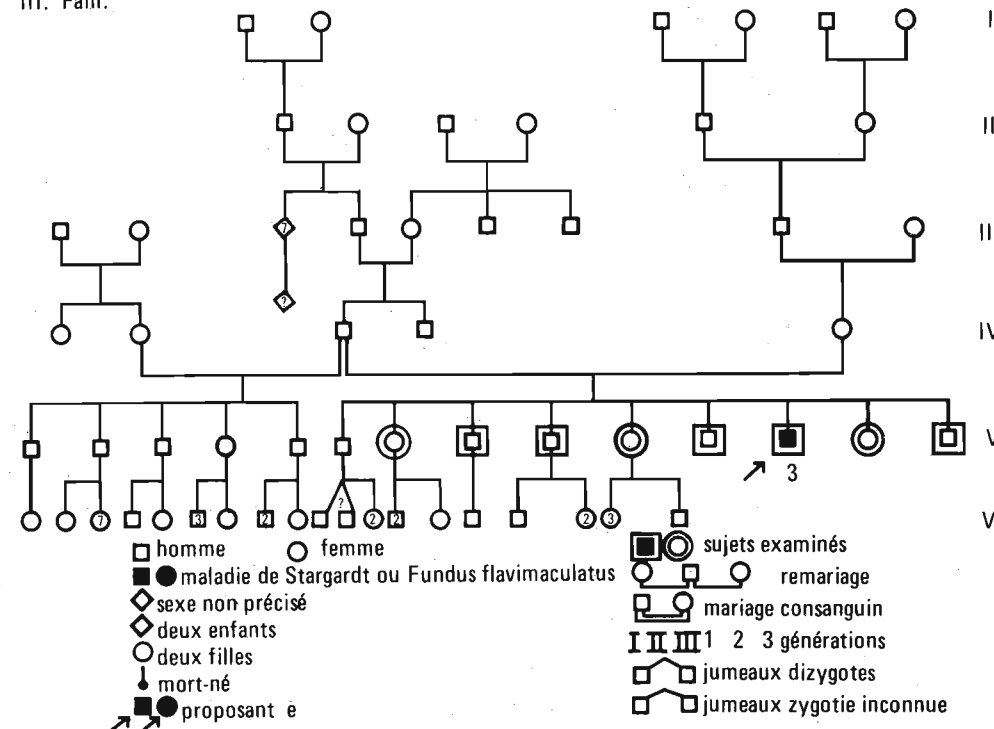
I. Fam.



II. Fam.



III. Fam.



# **OBSERVATION 2 - Famille II Figures 47 - 48**

Ascendants et collatéraux indemnes en dehors d'un frère

Vue à 43 ans

Strabisme divergent

Début de l'affection à 22 ans

**VOD : 1/20 - VOG : 1/50 de près - P 14 ODG**

**F.O. D et G** : aspect dégénératif remanié avec gros pigments des deux maculas.

Papilles normales

**Fluorographie** : destruction de l'épithélium pigmentaire et de la rétine au pôle postérieur.

Réseau des gros vaisseaux choroïdiens apparent et chorio-capillaire disparue

Vision des couleurs altérée d'axe rouge-vert

**Périmétrie de profil** : œil droit : scotome central absolu de 10°, œil gauche : scotome central absolu de 30°

**Electrorétinogramme altéré en photopique**

Malade suivie depuis 10 ans, l'électrorétinogramme s'est aggravé récemment après thérapeutique anti-bacillaire

**Electro-oculogramme** : rapport d'ARDEN 1,6 et 1,8

(1) Chaque observation est accompagnée de son arbre généalogique lorsqu'il a été possible de l'établir

(2) Les quatre planches de fluorographies, incluses dans la première partie, ont été ajoutées lors de la réédition

(3) Toutes les acuités visuelles sont données avec correction

## PLANCHE I

### Angiographies fluorescéiniques

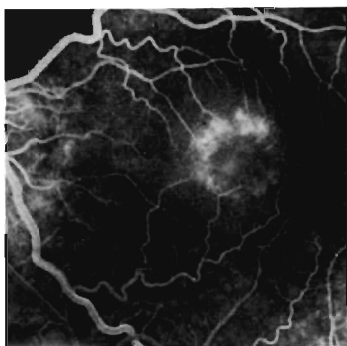


Fig. 3 - Obs. 3  
Ocelle

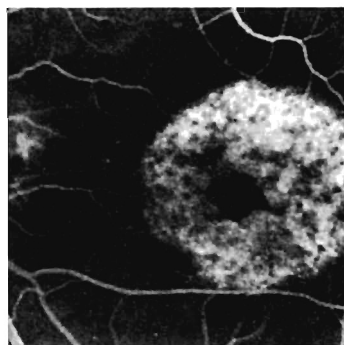


Fig. 4 - Obs. 4  
« œil de bœuf »

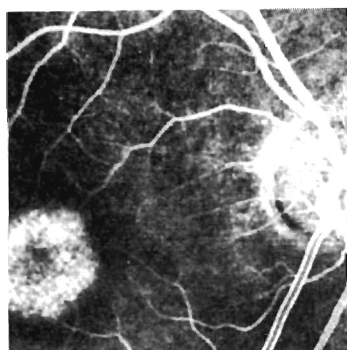


Fig. 5 - Obs. 5  
« œil de bœuf »

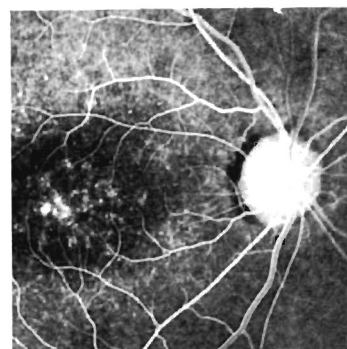


Fig. 6 - Obs. 6  
Ocelle plus ou moins net

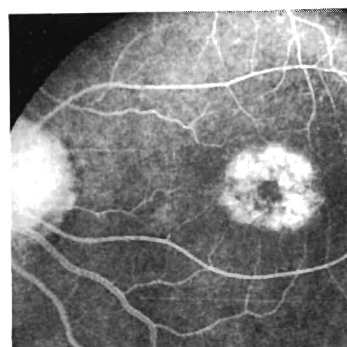


Fig. 7 - Obs. 14  
Ocelle large ou petit « œil de bœuf »

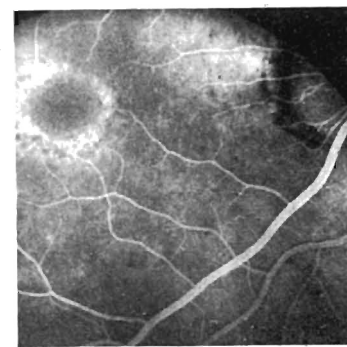


Fig. 8 - Obs. 15  
Ocelle ou « œil de plume de queue de paon »

### OBSERVATION 3 - Famille III Figures 3 - 29

Ascendants indemnes

Suivi par son ophtalmologiste depuis Février 1959 pour lunettes sans affection particulière  
En 1968, à l'âge de 14 ans, lors d'une visite annuelle, baisse de vision

OD : 5/10 - OG : 2/10

F.O. pratiquement normal, traité pour névrite car papilles un peu pâles

Bilan étiologique négatif

Vu à la Clinique Ophtalmologique de Lille avec vision de 5/10 et 1,4/10, de près : P<sub>10</sub>, P<sub>10</sub>

F.O. droit et gauche : d'aspect œdémateux et remanié dans la région maculaire avec plis radiaires très fins périmaculaires

Papilles un peu pâles

Fluorographie : image en ocelle typique - Dyschromatopsie d'axe rouge-vert

En périmétrie de profil : OD : léger scotome central relatif (4°)

OG : scotome central plus marqué de 6° à pentes raides

Électrorétinogramme normal

### OBSERVATION 4 - Famille IV Figure 4

Ascendants, collatéraux et descendants indemnes

Début de l'affection à l'âge de 34 ans - Vu dans le mois

Vision OD : 6/10 - OG : 8/10, P<sub>3</sub> et P<sub>2</sub> de près

F.O. : dégénérescence maculaire bilatérale circonscrite à la macula avec amas pigmentaires

Fluorographie : imprégnation bilatérale des deux maculas réalisant l'aspect en œil de bœuf

Vision des couleurs très légèrement altérée sans axe

Périmétrie de profil : scotome périfovéolaire ODG absolu

Électrorétinogramme : atteinte photopique légère

Électro-oculogramme : rapport d'ARDEN : 1,50 et 1,60

### OBSERVATION 5 - Figure 5

Enquête génétique non faite

Envoyé par la Médecine du Travail

Baisse de vision depuis l'âge de 20 ans

Vu à 27 ans : vision ODG 1/10 et P<sub>6</sub> de près

F.O. D et G : aspect aplasique des maculas avec deux petites hémorragies sus-maculaires OG

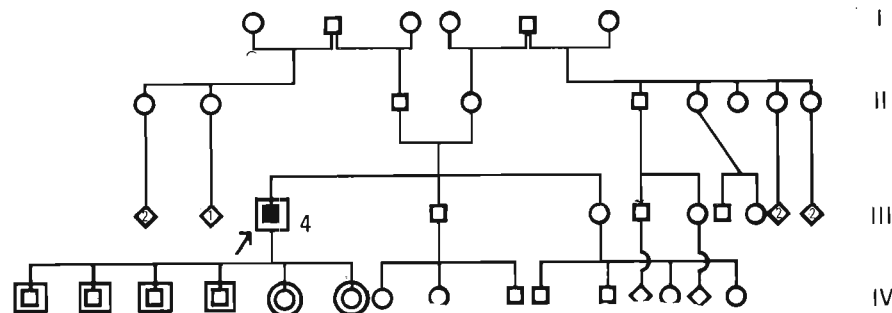
Fluorographie : imprégnation bilatérale des maculas de type œil de bœuf

Dyschromatopsie d'axe rouge-vert ODG

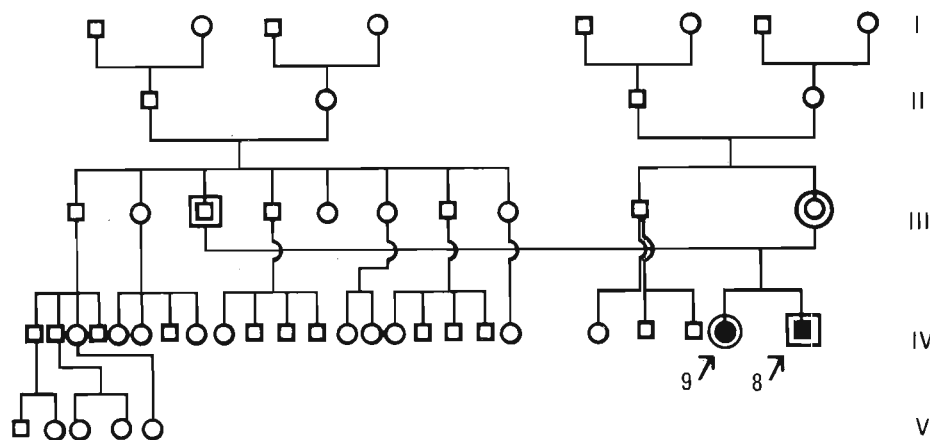
Périmétrie de profil : scotome central absolu d'environ 3° ODG

Électrorétinogramme altéré en photopique

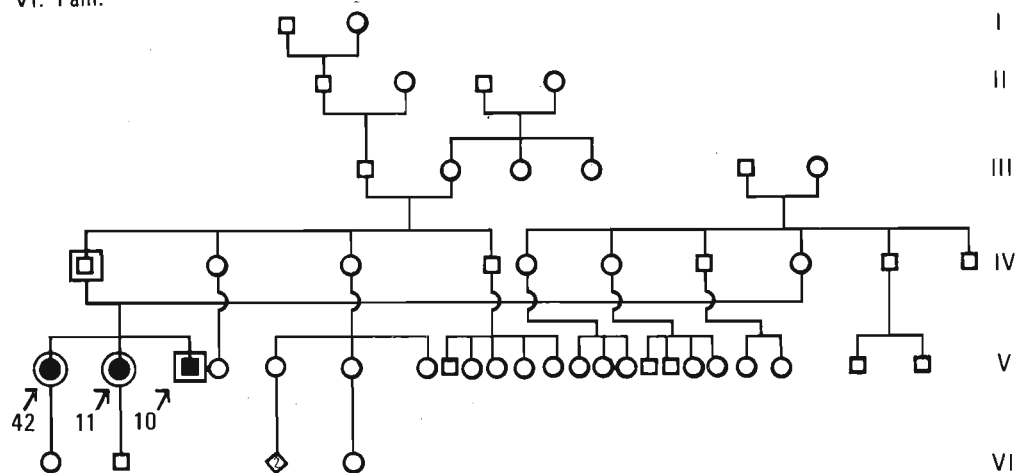
#### IV. Fam.



#### V. Fam.



#### VI. Fam.



#### OBSERVATION 6 -

Enquête génétique non faite

Début de l'affection non précise. Agé de 34 ans

**VOD 4/10 - VOG 6/10**

**Fond d'œil** : aspect dégénératif de type STARGARDT des maculas avec remaniement pigmentaire et pâleur du secteur temporal de la papille

**Fluoroscopie** : imprégnation inhomogène des maculas, très légère, non retrouvée sur les graphies

**Périmétrie de profil** : scotomes centraux relatifs bilatéraux

**P.O.E.** : légère altération au rouge

#### OBSERVATION 7 -

Enquête génétique : parents inconnus

Début de l'affection à 9 ans : **VOD 4/10 - VOG 3/10**

**A 13 ans : 1/10 et P<sub>6</sub>**

**A 23 ans : 1/20**

**Au Fond d'œil** : dégénérescence maculaire avec amas pigmentaires en périphérie

**Vision des couleurs** altérée sans axe

Les autres examens n'ont pas été pratiqués car la malade, internée, présente des troubles caractériels

#### OBSERVATION 8 - Famille V Figure 39

Ascendants et collatéraux indemnes, sauf une sœur atteinte

Début de l'affection vers 10 ans

Vu à l'âge de 16 ans avec **VOD 8/10 et VOG 9/10** et P<sub>2</sub> de près

**F.O. D et G** : maculas sans reflet remaniées, un peu jaunâtres

**Fluorographie** : image en ocelle typique des deux yeux

**Vision des couleurs** altérée d'axe rouge-vert pour œil droit et très légère altération pour œil gauche

**Périmétrie de profil** : conservation du pic maculaire pour chaque œil

**Électro-oculogramme** : rapport d'ARDEN 1,5 et 1,4

**Électrorétinogramme** : normal

**P.O.E.** normaux

**VODG** 5/10 à 18 ans - Dyslexique

#### OBSERVATION 9 - Famille V Figure 6

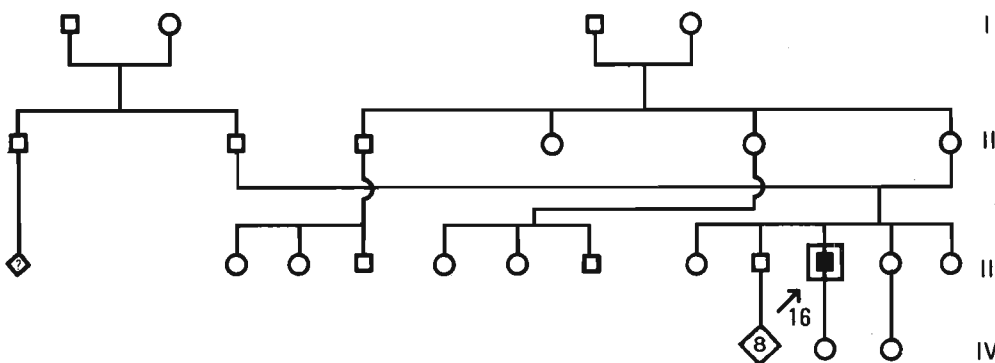
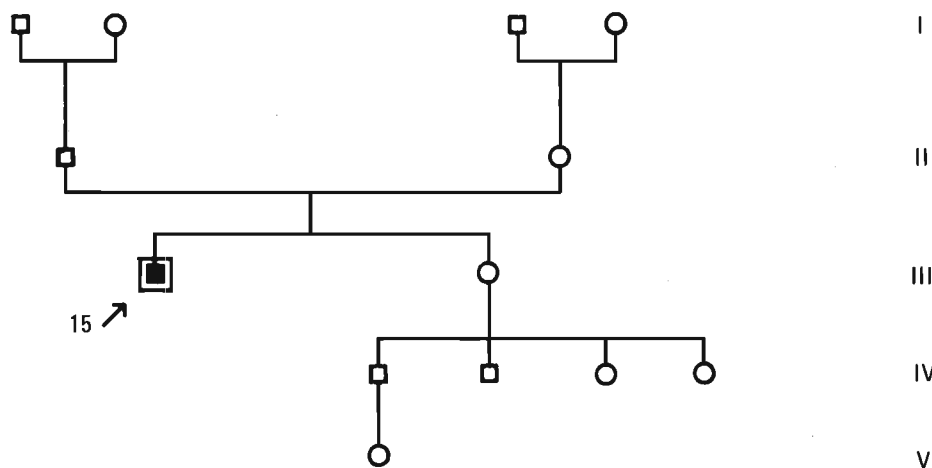
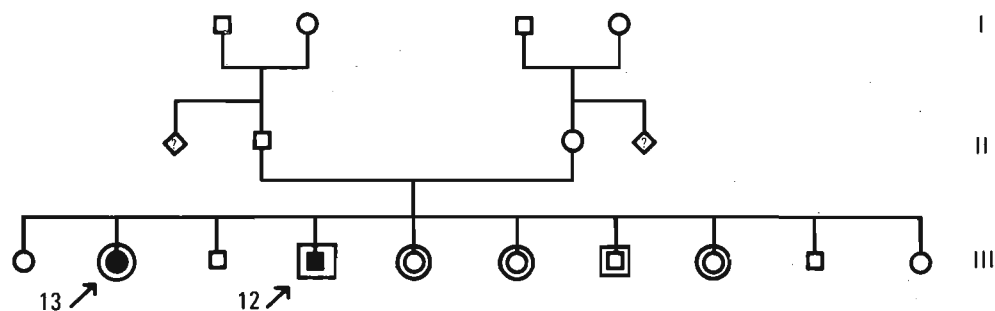
Sœur du précédent

Début de l'affection à 10 ans

**Vue à 20 ans : VOD 4/10 - VOG 4/10** - Photophobe

**F.O. D et G** : papilles pâles, maculas sans reflet, remaniées, un peu jaunâtres, d'aspect dégénératif





**Fluorographie** : image en ocelle avec altération plus importante des fovéolas par rapport au frère

**Vision chromatique** normale au 15 HUE

**Périmétrie de profil** : atteinte maculaire globale avec persistance du pic maculaire

**Électro-oculogramme** altéré : rapports 1,55 et 1,50

**Électrorétinogramme** altéré en photopique

#### OBSERVATION 10 - Famille VI Figure 42

Ascendants et collatéraux indemnes. Issu d'une famille d'un père polonais et d'une mère française. Deux sœurs atteintes. Frère de la malade suivante : **OBSERVATION 11**  
Vu à 17 ans : la vision étant alors de 10/10 l'année précédente, est alors de 8/10 et P<sub>2</sub> de près  
**Le F.O.** est identique à **OBSERVATION 11** et la  
**Fluorographie** objective une image *œil de plume de queue de paon* semblable aux dernières fluorographies de sa sœur Claudine  
**La vision chromatique** au 100 HUE est perturbée avec un axe rouge-vert de type deutan  
**La périmétrie de profil** montre un pic fovéolaire peu abaissé, entouré d'un scotome relatif profond périfovéolaire  
**L'électrorétinogramme, l'électro-oculogramme et les P.O.E.** sont normaux  
A 19 ans : **VOD** : 7/10 et **VOG** : 6/10

#### OBSERVATION 11 - Famille VI Figure 15 et Figure 28

Ascendants et collatéraux indemnes. Famille issue d'un père polonais et d'une mère française. Trois sujets d'une même fratrie atteints  
Début de l'affection à 19 ans  
A 21 ans, l'acuité est de 8/10  
Vue à 23 ans : **VODG** 6/10 et P<sub>1,5</sub>  
**F.O.**, aspect brillant des maculas entourées d'un liseré granité et perte du reflet fovéolaire (**Figure couverture couleur**)  
**En fluorographie** : présence d'une ocelle très discrète visible dès le temps choroïdien. Cette image va se confirmer avec l'évolution et donner l'image classique en *œil de plume de queue de paon* ultérieurement  
Revue tous les six mois pendant deux ans, elle quitte la région pour soigner une tuberculose pulmonaire  
**L'acuité visuelle** baisse progressivement jusqu'à atteindre 2/10, mais de près la vision restera à P<sub>3</sub>  
**La vision chromatique** du premier examen est à la limite de la normale et s'aggrave vers une **dyschromatopsie d'axe rouge-vert**  
**La périmétrie de profil** montre un pic fovéolaire abaissé, entouré d'un scotome périfovéolaire relatif de 2° de chaque côté du point de fixation. Le pic fovéolaire s'abaisse avec l'évolution de l'affection et le scotome périfovéolaire devient absolu en 2 ans d'évolution  
**L'électrorétinogramme et l'électro-oculogramme** sont normaux

## OBSERVATION 12 - Famille VII

Famille issue d'un père italien et d'une mère polonaise

Deux membres d'une fratrie atteints, ascendants indemnes

Âgé de 13 ans : vision de 1/10

Champ visuel : scotome central très petit

F.O. D et G : maculas sombres, finement pigmentées à l'exception de la partie fovéolaire où la rétine est atrophique

Dans la région périfovéolaire : petits corps jaunâtres ressemblant à de petits exsudats

Électrorétinogramme : très discrètement altéré en photopique

## OBSERVATION 13 - Famille VII

Sœur du malade de l'OBSERVATION 12

Âgée de 20 ans lors du premier examen : la vision est de 2/10 et P<sub>8</sub>

F.O. droit montre une macula remaniée rouge-orangé qui contraste avec la rétine environnante, finement ponctuée de pigments

La macula gauche présente une pigmentation plus intense en amas et de petits corps jaunâtres réfringents, accompagnant ces pigments

Électrorétinogramme normal

Nous n'avons pas pu suivre les membres de cette famille.

## OBSERVATION 14 - Figure 7

Parents inconnus

Descendance non atteinte

Début de l'affection tardivement vers 35 ans

Vu à 36 ans : VOD 7/10 - VOG 8/10 et P<sub>2</sub> faible

Maculas aplasiques au Fond d'œil

Fluorographie : image en ocelle large ou *petit œil de bœuf*

Périmétrie de profil : scotome central à prédominance périfovéolaire plus marqué à droite

Vision chromatique au 100 HUE altérée d'axe rouge-vert de type protan

Électrorétinogramme altéré en photopique

## OBSERVATION 15 - Famille Figure 8

Ascendants et collatéraux indemnes. Âgé de 51 ans

Affection ancienne à début difficile à préciser

Vision altérée plus marquée de loin

F.O. D et G : dégénérescence maculaire bilatérale d'aspect orangé avec remaniements plus marqués en périfovéolaire et saupoudrage pigmentaire maculaire.

## PLANCHE II

### Angiographies fluorescéiniques

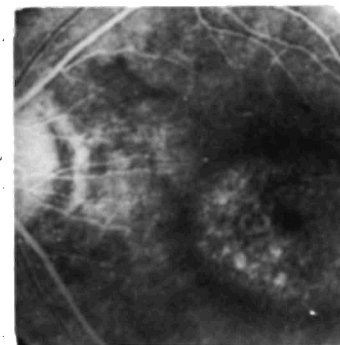


Fig. 9 - Obs. 16  
« œil de bœuf »

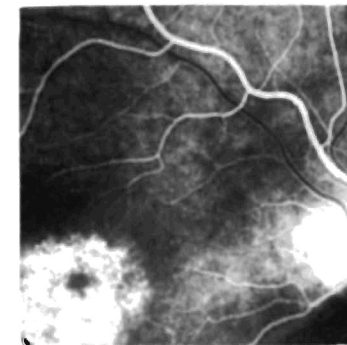


Fig. 10 - Obs. 17  
« œil de bœuf »

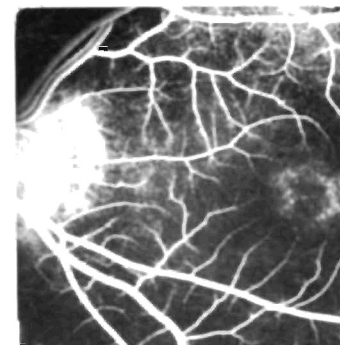


Fig. 11 - Obs. 18  
Ocelle



Fig. 12 - Obs. 20  
Ocelle

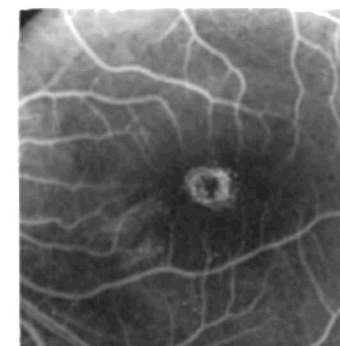


Fig. 13 - Obs. 21  
Ocelle

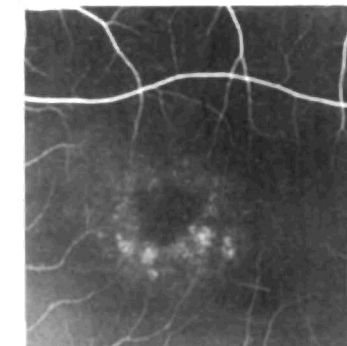


Fig. 14 - Obs. 22  
Ocelle

Papilles un peu décolorées

**Fluorographie** : image en ocelle typique assez large dont les bords extrêmes atteignent la périphérie maculaire

**Vision chromatique** au 100 HUE : anomalie d'axe rouge-vert

**Électrorétinogramme** altéré en photopique

**Électro-oculogramme** : rapport 2,20 et 2

#### OBSERVATION 16 - Famille IX - Figure 9

Ascendants et collatéraux non atteints

Début de l'affection dans l'enfance vers 10 ans

Agé de 42 ans, amblyope droit (myopie forte)

**VOD** < 1/10 - **VOG** : 2/10 et **P<sub>14</sub>**

**F.O. D et G** : maculas presque normales, légère aplasie et remaniement pigmentaire

**Fluorographie** : image en *œil de bœuf* - La décoloration papillaire légère

a d'abord orienté vers un bilan névritique

**Vision chromatique** perturbée sans axe

**Périmétrie de profil** : scotome central très important, plus marqué en périfovéolaire

**Électrorétinogramme** normal

**Électro-oculogramme** : rapport d'ARDEN 1,35 et 1,42

Revu à 44 ans : **VOD** : 1/20 - **VOG** : 1/20 et **P<sub>14</sub>**

#### OBSERVATION 17 - Famille XVI - Figure 10

Affection dominante : 14 cas

Ignorait l'existence de ses cousins éloignés atteints que l'enquête génétique lui a fait connaître **OBSERVATION 33**

Début de l'affection vers sept ans

Vu à l'âge de 10 ans : **VODG** : 4/10 et **P<sub>14</sub>**, voit mieux au crépuscule

**F.O.** dits normaux à cette époque

Revu à 15 ans : **vision** de 1/10 et **P<sub>4</sub>**

**F.O.** toujours normaux avec légers remaniements maculaires

**Vision chromatique** perturbée de type deutan

A 16 ans, le diagnostic est fait par la **fluorographie** (les lésions ophtalmoscopiques sont nettes) : aspect en *œil de bœuf* avec fovéolas non imprégnées

**Vision chromatique** altérée d'axe deutan

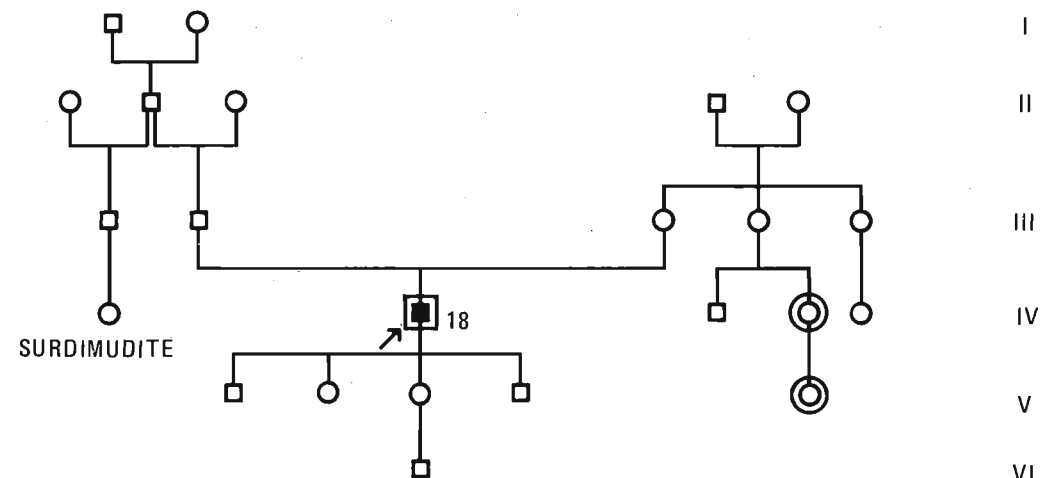
A 20 ans, la vision reste à 1/10 et **P<sub>4</sub>** f à 15 cm

Avec le système télescopique, ne change pas sa vision de OD en basse luminosité, mais pour OG passe de 1/10 à 2/10 lorsque les tests sont éteints

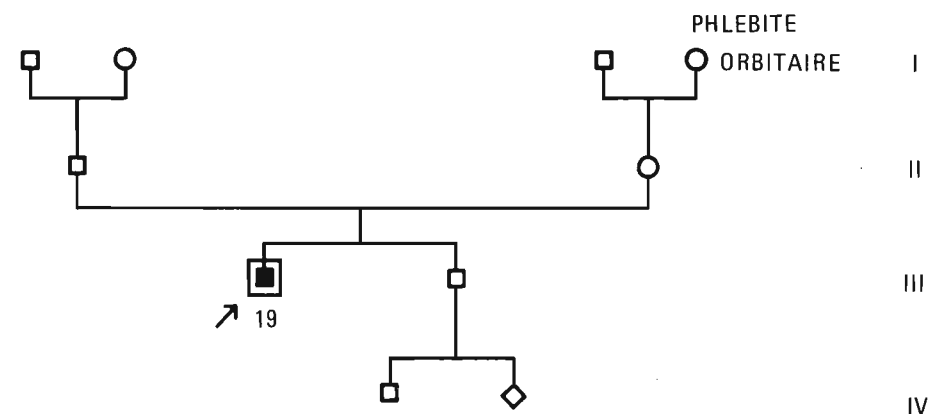
Les lésions fluorographiques restent toujours localisées à la macula

**Électrorétinogramme** diminué au rouge en photopique

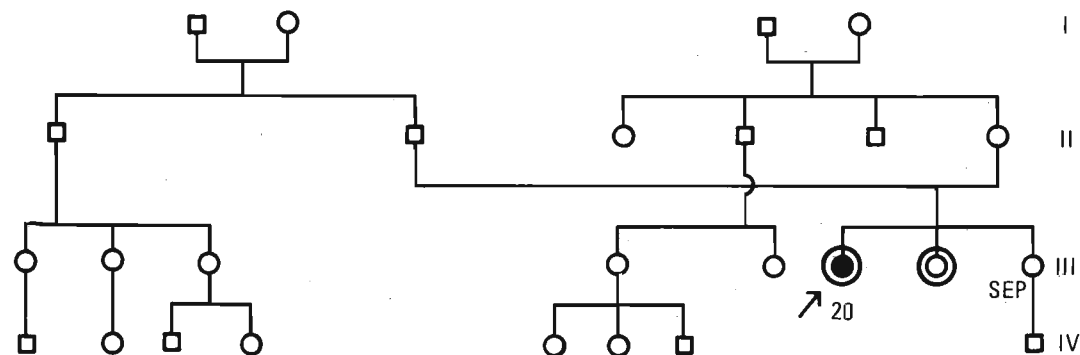
#### X. Fam.



#### XI. Fam.



#### XII. Fam.



**OBSERVATION 18 - Famille X Figure 11**

Ascendants et collatéraux indemnes

Baisse de vision dans l'enfance, mauvaise vue au service militaire

A 50 ans : **VOD : 4/10 - VOG : 1/20**

**Au F.O.** : pigmentation périfovéolaire et papilles un peu pâles en temporel

**Fluorographie** : imprégnation périfovéolaire typique en ocelle plus marquée à gauche

**Vision chromatique** : altérée d'axe deutan

**Périmétrie de profil** : scotome central de 15° de part et d'autre du point de fixation

**Électrorétinogramme** : atteinte des composantes photopiques

**P.O.E.** altérés globalement

**OBSERVATION 19 - Famille XI**

Ascendants et collatéraux indemnes

Baisse d'acuité visuelle à 32 ans, progressive d'abord d'un œil puis de l'autre avec décalage de 6 mois à 1 an

Vu à 38 ans : **VODG , 1/10**

**Au F.O.** : aspect aplasique des maculas

**Fluoroscopie** : imprégnation périfovéolaire bilatérale en ocelle

**Au champ visuel** : scotome central bilatéral

Revu à 42 ans, les maculas ont un aspect typique avec remaniements pigmentaires et petits corps réfringents jaunâtres périfovéolaires

**OBSERVATION 20 - Famille XII Figure 12**

Ascendants et collatéraux indemnes

Baisse de vision vers 26 ans (vue antérieure 10/10) : **VOD : 2/10 - VOG 1/10 et P<sub>6</sub>**

**Rétinoscopie** : macula aplasique, pas de reflet fovéolaire, papilles pâles dans les secteurs temporaux

**Fluorographie** : image d'ocelle caractéristique, bilatérale

**Vision chromatique** peu altérée au 15 HUE normale

**Périmétrie de profil** : scotome central avec disparition du pic maculaire

**Électrorétinogramme** normal

A 31 ans : **1/10 et P<sub>6</sub>**

**OBSERVATION 21 - Famille XIII Figure 13**

Ascendants et collatéraux indemnes (la mère, examinée, a une macula un peu aplasique et une vision normale)

Début de l'affection avant 18 ans

Vu à 18 ans : **VOD : 7/10 - VOG : 5/10 et P<sub>2</sub>** de près

**Au F.O.** : la fovéola est le siège d'un anneau dégénératif un peu clair, plus marqué à gauche

**Fluorographie** : image en ocelle, limitée à la périfovéola

Revu à l'âge de 23 ans, l'acuité visuelle est remarquablement conservée à 7/10 et 5/10

**Le F.O.** montre une macula orangée et toujours le même aspect fovéolaire

**Au champ visuel** : scotome central bilatéral

Les autres examens n'ont pu être pratiqués

**OBSERVATION 22 - Famille XIV Figure 14**

Ascendants et collatéraux indemnes

Début de l'affection à 8 ans : **VOD : 2/10 - VOG : 1/10** de près, **P<sub>2</sub>** et **P<sub>6</sub>**

**Au F.O.** : aspect de STARGARDT : maculas avec très légers remaniements pigmentaires et pertes des reflets. Cet aspect pourrait passer pour normal s'il n'existait pas d'altération de la vision

**Fluorographie** : image en *œil de bœuf*, fovéolas indemnes d'imprégnation fluorescente

**Vision chromatique** : deutéranopie au 15 HUE

**Périmétrie de profil** : scotome périfovéolaire avec conservation d'un pic maculaire

**Électro-oculogramme** : 1,20 et 1,28

**OBSERVATION 23 - Famille XVI Figure 16**

Ascendants et collatéraux indemnes

Baisse de vision à l'âge de 16 ans

Vu à 17 ans : **VOD : 6/10 - VOG : 3/10 et P<sub>5</sub>**

**Au Fond d'œil** : perte du reflet maculaire, aspect un peu orangé, petits amas pigmentaires maculaires

**Fluorographie** : imprégnation périfovéolaire en ocelle (ocelle large) bilatérale ou petit *œil de bœuf* sur les dernières fluorographies **Figure 16**

**Sens chromatique** normal au 28 HUE

**Périmétrie de profil** : scotome central ODG avec conservation du pic maculaire

**Électrorétinogramme** altéré en photopique

**Électrorétinogramme maculaire** altéré au rouge

**Électro-oculogramme** normal dans ses rapports (2-2)

Potentiels un peu faibles

**Électro-oculogramme maculaire** : rapports faibles 1-1,2

**OBSERVATION 24 - Famille XVI Figures 30 - 31**

Fait partie de la même famille que DOU . . . Roger **OBSERVATION 16** et DUB . . . Léopold

**OBSERVATION 33 - 14 membres atteints**

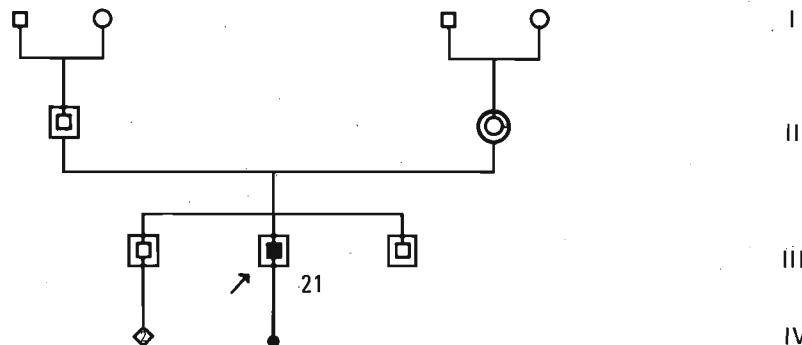
Baisse de vision dans l'enfance

Vue à 45 ans : **VOD : 1/30 - VOG 1/50 - de près : vision inférieure à P<sub>28</sub>**

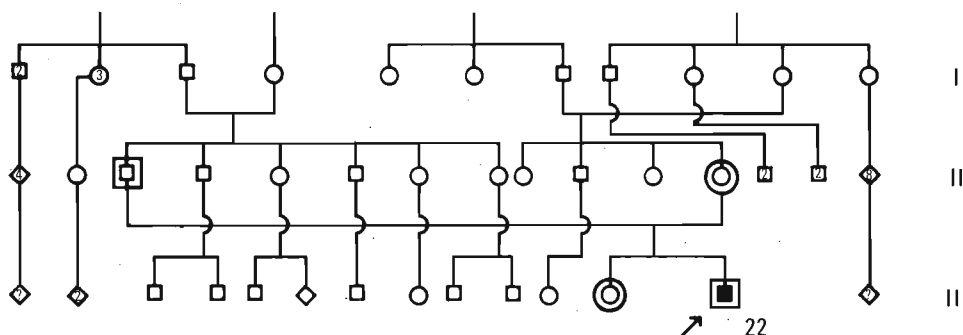
**Ophthalmoscopiquement** : large plage maculaire atrophique, disparition de la rétine maculaire, réseau choroïdien visible surtout à gauche, quelques amas pigmentaires

Il s'agit d'une forme évoluée qui a abouti à la destruction rétinienne - **Photo couleur, Figure 31**

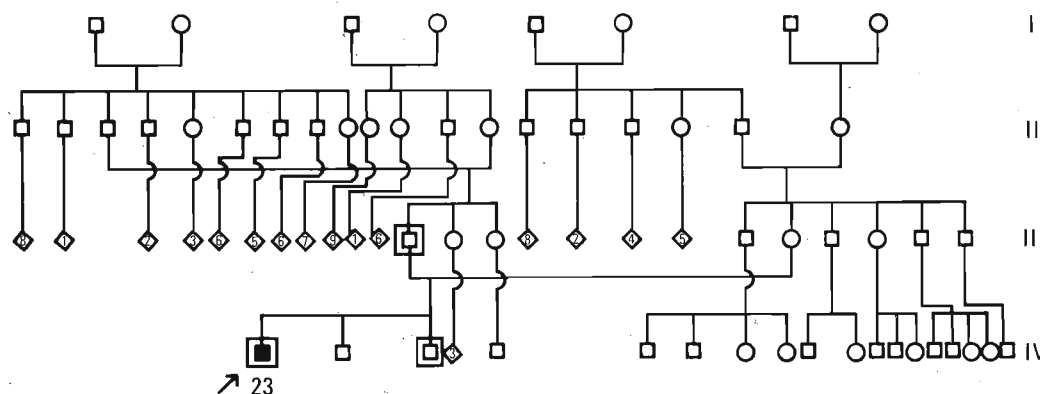
### XIII. Fam.



### XIV. Fam.



### XV. Fam.



**En Fluorographie** : imprégnation maculaire massive et vaisseaux choroïdiens visibles  
**Électrorétinogramme** : extinction des réponses au rouge

#### OBSERVATION 25 - Famille XVII Figure 46

Ascendants et collatéraux indemnes  
 Début de l'affection au service militaire à 22 ans  
 Baisse de vision progressive  
 Vision de 5/10 et 3/10, myopie de -7, photophobe  
**Au F.O.** : les maculas sont aplasiques et pigmentées par petits amas  
**La Fluorographie** montre une imprégnation maculaire bilatérale, inhomogène en *œil de bœuf* «inverse» avec fovéolas plus fluorescentes  
 A 32 ans : 1/15 - 1/10 et P<sub>8</sub> - P<sub>4</sub>  
**Électrorétinogramme** : discrète atteinte en photopique au rouge

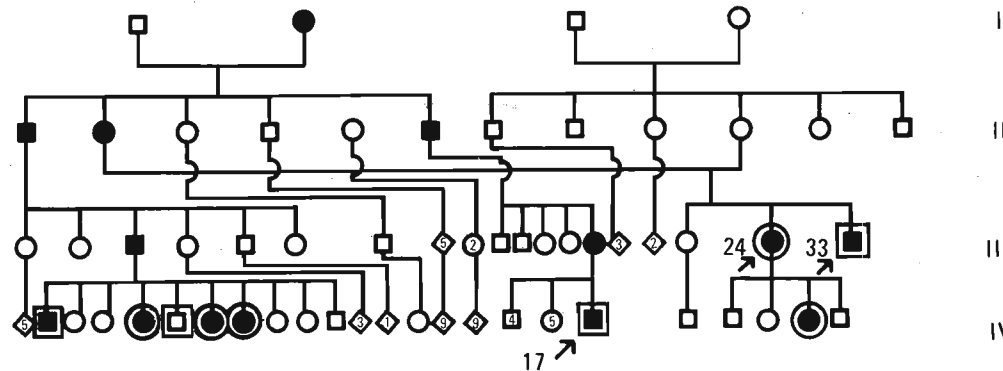
#### OBSERVATION 26 - Famille XVIII Figure 32

Ascendants, collatéraux et descendants indemnes  
 Début de l'affection à 32 ans : **VOD** : 10/10 - **VOG** : 1/20 de près EV<sub>2</sub> - EV<sub>14</sub>  
 Quatre ans plus tard : 3/10 - 1/20 et  
 Huit ans plus tard : OD : 1/20 - OG : 1/30  
**Au F.O.** : au début, on notait - **A droite** : une perte de reflet maculaire sans lésion pigmentée et une pâleur temporale de la papille - **A gauche** : la macula était remaniée et pigmentée et la papille un peu pâle  
 Les examens para-cliniques ont recherché une part névritique à la maculopathie  
**En Fluoroscopie** : à droite, il existait des altérations de l'épithélium pigmentaire sur tout le pôle postérieur, débordant nettement la macula et existence d'une petite zone exsudative fluorescente aux temps tardifs ; à gauche, la macula était le siège d'une image en *œil de bœuf*  
**La vision chromatique** indique une altération d'axe bleu-jaune de l'œil droit et rouge-vert de l'œil gauche  
**La périmétrie de profil** objective un scotome central bilatéral de 15°  
**L'électrorétinogramme** est altéré en photopique et scotopique  
**L'électro-oculogramme** est normal avec un rapport de 1,75 et 2,10  
**Les P.O.E.** sont altérés à gauche  
 Revue à 41 ans, l'acuité visuelle baisse encore 3/10 → 2/10, P<sub>2f</sub> → P<sub>5</sub> OD

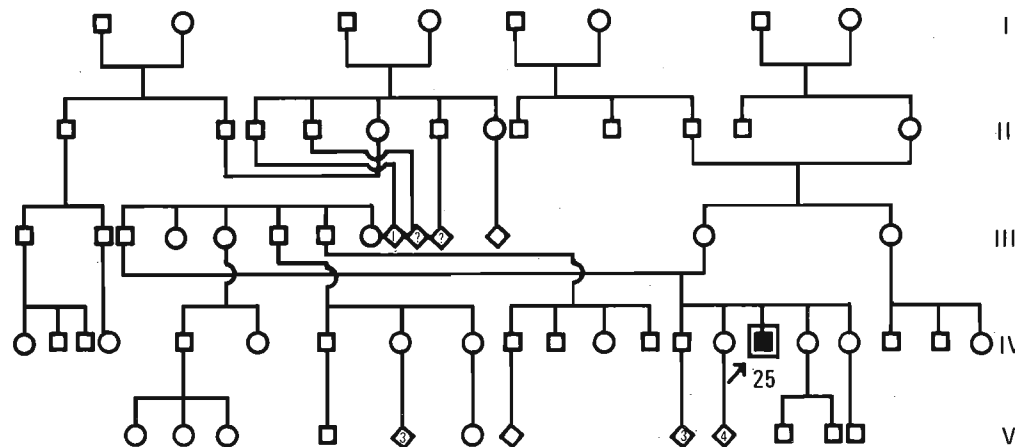
#### OBSERVATION 27 - Famille XIX Figures 33 et 34

Pas d'ascendants atteints - Frère atteint, examiné dans le Service en Février 1975  
**(Photomontage I - Figure 27)**  
 Début de l'affection à 16 ans  
 Vision de l'œil droit 1/10 et gauche 1/10 ; de près P<sub>14</sub>  
**Au F.O.** : dégénérescence maculaire bilatérale avec aspect en bave d'escargot. Petites lésions blanchâtres profondes en périmaculaire

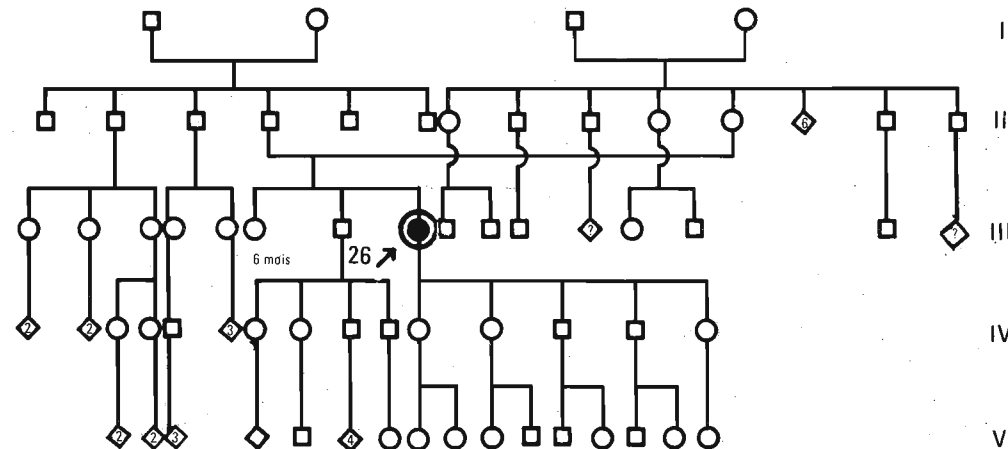
XVI. Fam.



XVII. Fam.



XVIII. Fam.



**Fluorographies :** images d'ocelle assez large en petit œil de bœuf avec petites lésions fluorescentes en périmaculaire  
Les autres examens n'ont pu être pratiqués

OBSERVATION 28 - Figure 44

Ascendants, collatéraux et descendants indemnes

Début de l'affection à 24 ans

A 45 ans : VOD : 1/30 - VOG : 1,5/10, P<sub>28</sub> et P<sub>8</sub> de près

Au F.O. droit : dégénérescence maculaire atrophique et pigmentée débordant l'aire maculaire en inférieur, atrophie plus marquée en perifovéolaire, existence de petites lésions périmaculaires blanchâtres associées

Au verre à trois miroirs de GOLDMANN, les lésions sont situées dans la région profonde de la rétine près de l'épithélium pigmenté

En Fluorographie : imprégnation en ocellé ou petit œil de bœuf et lésions périmaculaires en anneau

Vision chromatique : altérée d'axe rouge-vert pour œil droit et d'axe bleu-jaune pour œil gauche

Périmétrie de profil : OG : gros déficit global avec scotome central de 10°

Électrorétinogramme : normal

Électro-oculogramme : rapport d'ARDEN 1,5 et 2

OBSERVATION 29 -

Ascendants et collatéraux indemnes

Vu en 1964, âgé de 23 ans, pour baisse de vision droite à 4/10 (10/10 à gauche)

Un mois plus tard : VOG : 5/10 - VOD reste à 4/10 - P<sub>5</sub> et P<sub>3</sub> de près

Le F.O. droit et gauche montrait une image aréolaire en anneau périmaculaire, de petites taches blanc-jaunâtres

La Fluoroscopie ne peut être pratiquée

La vision chromatique est très altérée sans axe

Revu en 1974, à 33 ans, la vision tombe à 1/10 et P<sub>10</sub>

La périmétrie de profil montre un scotome central relatif de 3° à pentes raides

OBSERVATION 30 - Famille XX Figures 41 et 43

Ascendants et collatéraux indemnes

Vient à 45 ans avec une vision de 2/10 et 5/10 f et P<sub>8</sub> et P<sub>6</sub>

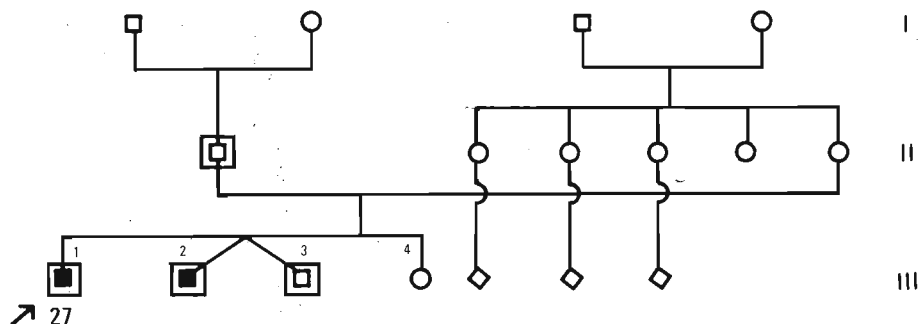
Au F.O. il existe une dégénérescence maculaire bilatérale, prédominante à droite, avec de nombreuses petites taches blanchâtres périmaculaires et un reflet en bave d'escargot maculaire

Photo couleur - Figure 41

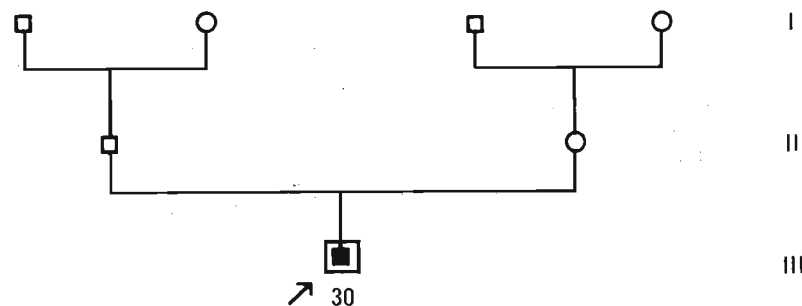
La Fluorographie montre une image en ocellé typique et un anneau périmaculaire

L'anomalie de la vision colorée au 15 HUE est d'axe rouge-vert

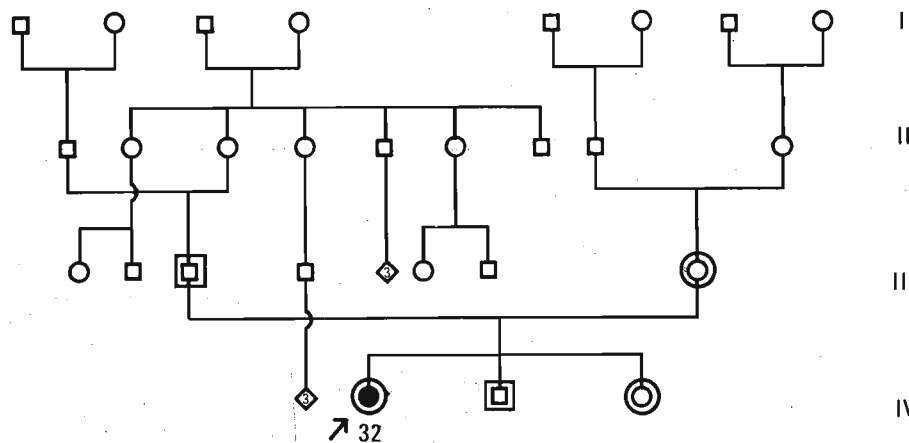
XIX. Fam.



XX. Fam.



XXI. Fam.



La **périmétrie de profil** indique un scotome central de 7° avec disparition du pic maculaire  
L'**électrorétinogramme** est normal  
L'**électro-oculogramme** est normal avec un rapport un peu plus bas à droite : 1,7 pour 2 à gauche

OBSERVATION 31 -

Aurait deux frères atteints  
Début de l'affection avant 24 ans : **VOD 7/10** et **VOG 9/10**  
Six mois après, à 25 ans, la vision est de 1/10 et 6/10, P<sub>14</sub> et P<sub>2f</sub> de près  
Au **F.O.**, il existe une dégénérescence maculaire bilatérale, plus marquée à droite, avec un aspect de «*capillarose périmaculaire*» (1966)  
La **vision chromatique** est peu altérée au 15 HUE  
La **périmétrie de profil** montre un scotome central bilatéral de 7 à 10°  
L'**électrorétinogramme** est normal  
L'adaptation à l'obscurité est normale

OBSERVATION 32 - Famille XXI Figure 45

Ascendants et collatéraux indemnes  
Début de l'affection à 7 ans  
A 9 ans : vision de 1/10 et P<sub>8</sub>  
**F.O.** remaniement pigmentaire maculaire avec petites plages blanches, arrondies, plus ou moins nettes sus et périmaculaires  
**Fluorographie** : aspect en *œil de bœuf* avec anneau de taches périmaculaires à peine visibles  
**Vision chromatique** : altérée d'axe rouge-vert  
**Électrorétinogramme** normal  
**Électro-oculogramme** normal : rapports 1,8 - 1,9  
**P.O.E.** : très altérés aux stimulations au rouge.

OBSERVATION 33 - Famille XVI

Fait partie de la famille des **OBSERVATIONS 17 et 24**, avec 14 membres atteints, à transmission dominante  
Début de l'affection vers 6 ans  
Vu à l'âge de 31 ans avec 2/10, 1/10 et P<sub>6</sub>  
Très photophobe, voit mieux à l'aurore et au crépuscule  
Au **F.O.** : perte de reflet maculaire avec aspect remanié et pigmentation irrégulière. Macula terne, sans reflet. Papille un peu pâle, mais reste du fond d'œil normal  
**Fluorographie** : image en *œil de bœuf* avec couronne de points fluorescents en périmaculaire, plus marqué en temporal inférieur  
**Vision chromatique** très altérée de type rouge-vert  
A 41 ans, la vision est de 1/20 et 1/30, de près P<sub>28</sub>

Angiographies fluorescéiniques



Fig. 15 - Obs. 11  
«œil de plume de queue de paon»



Fig. 17 - Obs. 36  
«œil de plume de queue de paon»  
et taches périmaculaires flavimaculées

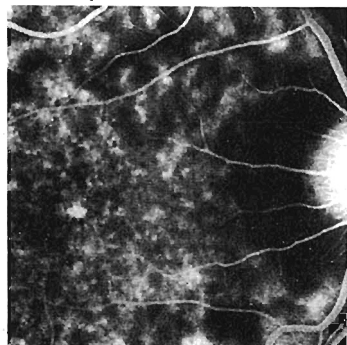


Fig. 19 - Obs. 40  
Fundus Flavimaculatus et  
imprégnation inhomogène maculaire

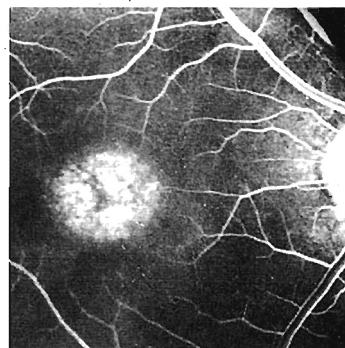


Fig. 16 - Obs. 23  
Ocelle élargi ou petit «œil de bœuf»

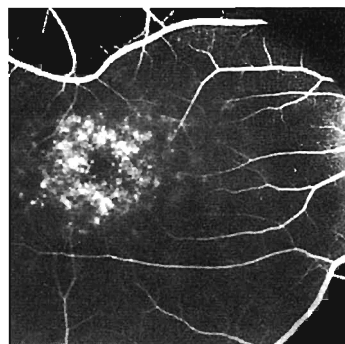


Fig. 18 - Obs. 39  
Ocelle large ou petit «œil de bœuf»  
et taches périmaculaires flavimaculées

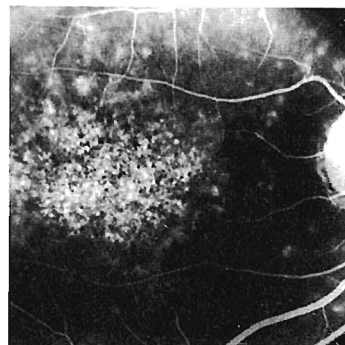


Fig. 20 - Obs. 44  
«œil de bœuf» et  
Fundus Flavimaculatus

La **périmétrie de profil** montre une altération globale des seuils avec déficit fovéolaire plus marqué à gauche  
**Électrorétinogramme** altéré en photopique  
Il existe une atteinte importante des **P.O.E.**

OBSERVATION 34 - Famille XXII

A une sœur atteinte (OBSERVATION 35)  
début de l'affection à 10 ans, aggravation progressive entre 10 et 20 ans  
A 20 ans, vision de 1/10 et P<sub>5</sub> - Photophobie légère  
Au F.O. : les maculas sont remaniées sans pigment (la sœur a des amas pigmentaires).  
Petites taches périmaculaires nombreuses  
**Fluorographie** : imprégnation maculaire bilatérale, à peine visible, en petit *œil de bœuf* ;  
taches périmaculaires peu visibles  
**Vision chromatique** très altérée d'axe rouge-vert  
**Périmétrie de profil** : scotome central bilatéral de 10° et abaissement global des seuils  
**Électrorétinogramme** altéré en photopique - P.O.E. normaux

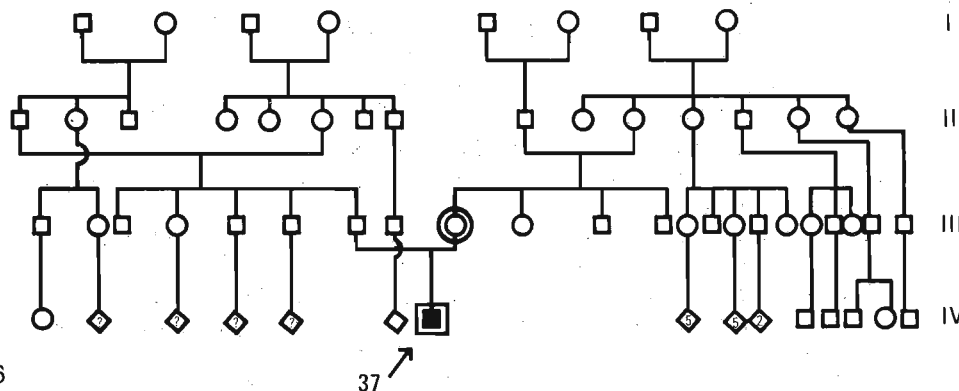
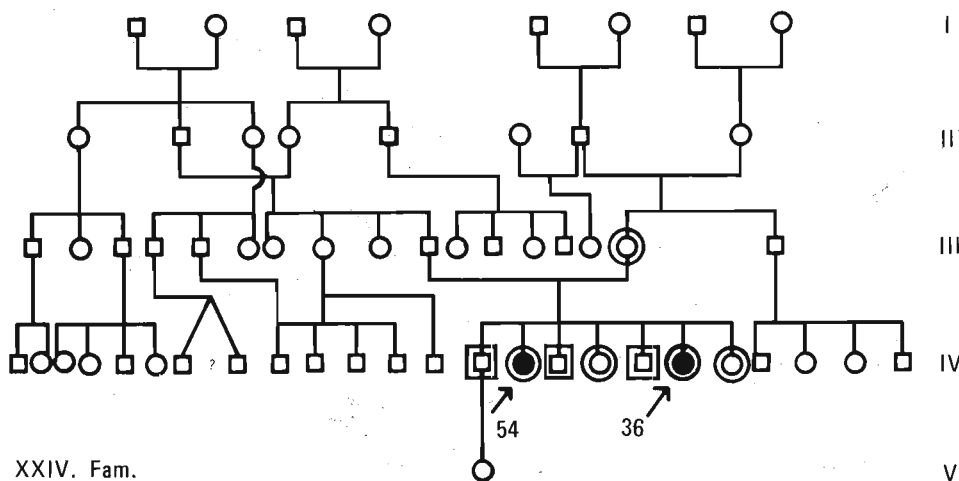
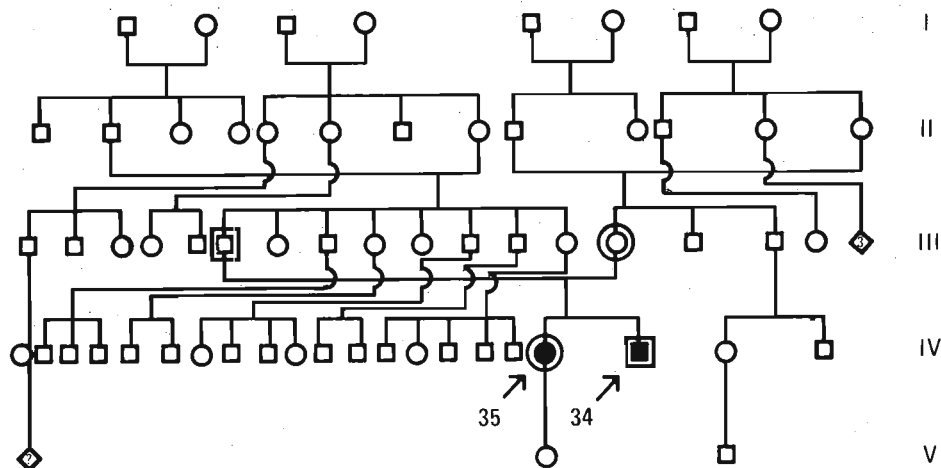
OBSERVATION 35 - Famille XXII Figures 49 - 50

Sœur du précédent cas  
Première consultation à 12 ans, mais a toujours été au premier rang à l'école ; photophobe  
Vue à 26 ans : 1/10 f et 1/10, P<sub>4</sub> de près  
Au F.O. : léger remaniement maculaire, pigmentation en saupoudrage et taches jaunâtres périmaculaires  
**Fluorographie** : image en petit *œil de bœuf* et taches périmaculaires peu fluorescentes non congruentes avec les taches ophtalmoscopiques  
**La vision chromatique** est altérée d'axe rouge-vert  
**Périmétrie de profil** : scotome central de 10° avec pic maculaire inversé  
**Électrorétinogramme** altéré en photopique  
**Électro-oculogramme** : rapports : 1,77 et 1,68

OBSERVATION 36 - Famille XXIII Figure 17

A une sœur atteinte de Fundus Flavimaculatus (OBSERVATION 54)  
La forme semble intermédiaire entre le STARGARDT avec taches périmaculaires et le FUNDUS FLAVIMACULATUS  
Début de l'affection à 13 ans : vision de 1/10 et P<sub>8</sub> P<sub>6</sub>  
Au F.O. : remaniement maculaire peu pigmenté et taches blanc-jaunâtres périmaculaires multiples de petite taille  
**Fluorographie** : imprégnation maculaire en *œil de plume de queue de paon* et taches nombreuses périmaculaires, fluorescentes, de petite taille  
**Vision chromatique** altérée d'axe rouge-vert  
**Périmétrie de profil** : scotome fovéolaire central de 10° environ avec pic maculaire inversé



**OBSERVATION 37 - Famille XXIV Figures 51 - 52**

Ascendants et collatéraux indemnes

Début de l'affection à 13 ans avec 6/10 et F.O. normal

A 15 ans : 2/10 et P<sub>4</sub>, les maculas ont un aspect aplasique et sont entourées d'une auréole d'éléments dégénératifs blanc-jaunâtres

**Fluorographie** : silence choroïdien et quelques points discrets fluorescents dans la région périfovolaire à peine visibles, plus visibles en scopie

**Vision chromatique** : dyschromatopsie importante d'axe rouge-vert

**En périmétrie de profil** : scotome périfovolaire - ODG

**Électrorétinogramme** : altéré en photopique

**OBSERVATION 38 - Famille XXV Figures 35 - 36**

Ascendants et collatéraux indemnes

Sa sœur Claudine (**OBSERVATION 55**) a un Fundus Flavimaculatus typique

Début de l'affection à 8 ans, non diagnostiquée VODG 4/10

A 10 ans : 2/10 et 3/10

A 12 ans : 1/10, les fonds d'yeux sont vus normaux

A 14 ans, la vision est de 1/10 et P<sub>8</sub>f

**Au fond d'œil** : il existe un remaniement maculaire bilatéral plus marqué à droite avec un aspect en «bave d'escargot».

Les papilles sont pâles en temporal. Autour de la macula existe un anneau de petites taches jaunâtres arrondies

**La Fluorographie** montre une image en ocelle pleine avec fovéola fluorescente

**Altération du sens chromatique** d'axe rouge-vert

**Périmétrie de profil** : impossible, ne fixe pas

**Électrorétinogramme** : altéré au rouge en photopique

**OBSERVATION 39 - Figure 18**

Pas d'autres membres de la famille atteints

Début de l'affection à 19 ans - Baisse progressive des deux yeux

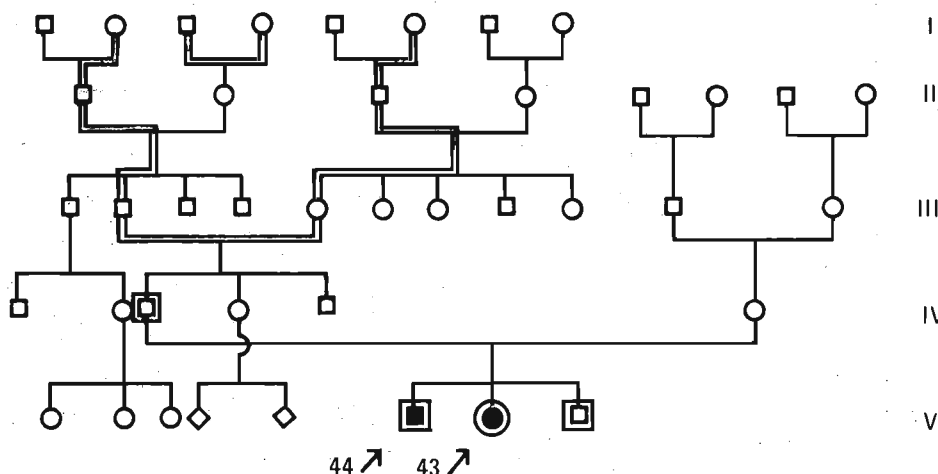
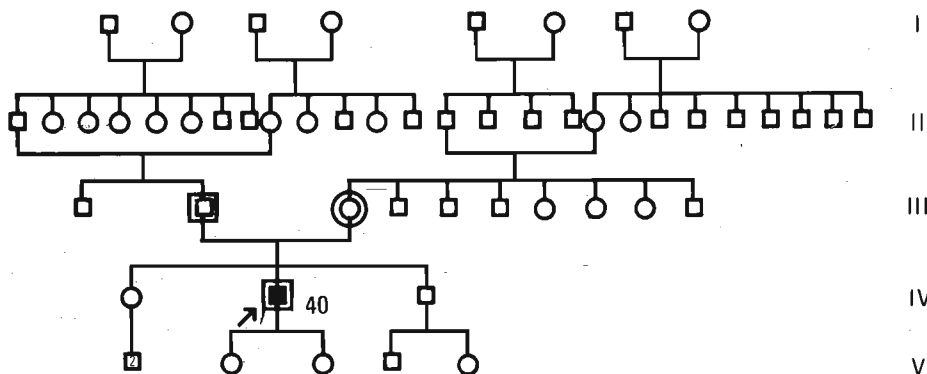
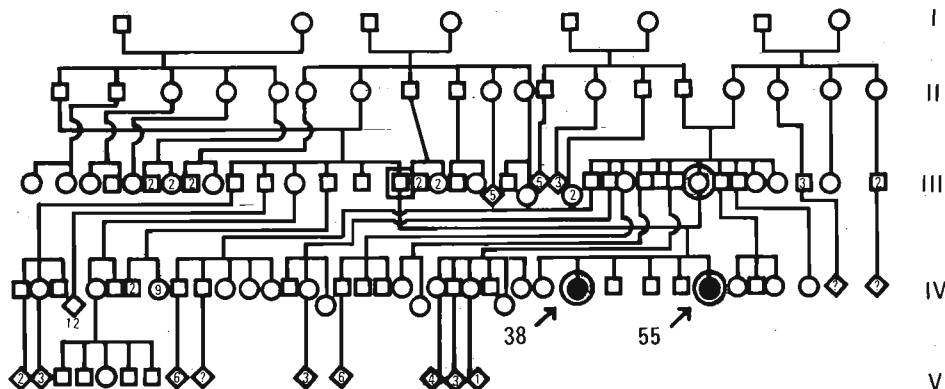
Vu à 23 ans avec 1/10 et P<sub>10</sub>

**Au fond d'œil** : maculas aux reflets en «bave d'escargot», d'aspect atrophiques et remaniements pigmentaires centraux ; en périomaculaire : petites plages blanchâtres

**Fluorographie** : aspect en ocelle large ou en petit œil de bœuf

**Vision chromatique** : dyschromatopsie prédominante au bleu-jaune

**Périmétrie de profil** : altération des seuils liminaires avec atteinte maculaire prédominante (scotome central relatif)



## OBSERVATION 40 - Famille XXVI Figure 19

Ascendants et collatéraux indemnes

Début de l'affection avant 16 ans : vision de 1/10 et P<sub>14</sub>

Vu à 27 ans : vision de 1/10 ODG, P<sub>10</sub> et P<sub>6</sub>

A 29 ans : 1/10 et P<sub>14</sub>

**Au F.O.** : dégénérescence maculaire avec petits remaniements pigmentaires et petits corps jaunes pérимaculaires avec aspect de Fundus Flavimaculatus du pôle postérieur à la périphérie

**Fluorographie** : imprégnation multiple de taches flavimaculées, la région maculaire ne montre pas l'imprégnation typique de STARGARDT, mais une imprégnation diffuse, inhomogène

**La vision chromatique** est altérée d'axe rouge-vert

**La périmétrie de profil**, à 27 ans, montre un gros scotome central absolu de 20° à pentes raides à droite et large de 40° à gauche

**L'Électrorétinogramme** est peu altéré (légère altération au rouge)

**L'Électro-oculogramme** est hypervolté avec un rapport de 2,15 et 2

**Les P.O.E.** sont diminués globalement au rouge

## OBSERVATION 41 - Figures 53 - 69 - 70

Ascendants et collatéraux indemnes

Début de l'affection à 12 ans

Vu à 13 ans : 2/10 et P<sub>3</sub> à 15 cm

**Fond d'œil** : typique de Fundus Flavimaculatus avec dégénérescence maculaire et petits pigments maculaires - Figure 53 - Photomontage II

**Fluorographie** : lésions fluorescentes flavimaculées caractéristiques et petites taches pérимaculaires en anneau analogues à celles du STARGARDT - Silence choroïdien

**Périmétrie de profil** : scotome central relatif avec inversion du pic maculaire

**Électrorétinogramme** peu altéré onde b<sub>1</sub> faible

**Électro-oculogramme** : rapports 1,08 et 1,07

A 14 ans état inchangé

## OBSERVATION 42 - Famille VI Figures 54 - 65 - 66

A une sœur et un frère atteints de STARGARDT pur (image en ocelle)

Début de l'affection à 13 ans

On constate à 28 ans une vision de 1/10 et P<sub>4</sub>

**Au fond d'œil** : maculas atrophiques avec pigmentations fovéolaires. La région pérимaculaire est le siège de taches jaunâtres, pisciformes. Ces taches s'étendent jusqu'à la périphérie

**En fluorographie** : image en œil de bœuf avec couronne pérимaculaire de taches flavimaculées

**Vision chromatique** : dyschromatopsie globale peu marquée sans axe

**Périmétrie de profil** : scotome central relatif de 4° de part et d'autre du point de fixation

**Électrorétinogramme** : diminution des réponses au rouge

**Électro-oculogramme subnormal** : rapport d'ARDEN de 1,6 ODG

Suivie jusqu'à 35 ans, l'état reste inchangé

**OBSERVATION 43 - Famille XXVII Figures 55 - 56**

Fratrie de trois enfants dont deux sont atteints (Frère **OBSERVATION 44**)

Âgée de 12 ans, vision à 11 ans de 8/10 et baisse progressive à 1/10 OD et 4/10 OG  
de près : P<sub>3</sub> et P<sub>2</sub> à 20 cm

**Au fond d'œil** : aspect normal, macula indemne, pas de lésion flavimaculée, très légers amas pigmentaires en périphérie. Papilles normales

**Fluorographie** : lésions flavimaculées caractéristiques faites de taches irrégulières à bords flous, multiples et parfois plus ou moins confluentes, elles s'étendent du pôle postérieur à la périphérie

**Vision chromatique** normale

**Périmétrie de profil** : altération globale des seuils et scotome central relatif de 15°

**Électrorétinogramme** normal

**P.O.E.** altérés au rouge

**OBSERVATION 44 - Famille XXVII Figure 20**

Début de l'affection à 8 ans

En quelques mois, altération bilatérale et progressive de la vue : **VODG** : 1/10 et P<sub>8</sub>

**Le fond d'œil**, à cette époque, est normal, la vision des couleurs normale, on pense à un pithiate et deux mois plus tard, la vision n'est plus que de P<sub>10</sub> de près

Un bilan pour névrite est entrepris et reste négatif

Deux ans plus tard, la vision est identique, mais des lésions maculaires sont apparues.

L'angiographie fluorescéinique fait le diagnostic

A l'âge de 13 ans, après cinq années d'évolution, la vision est de 1/15 OD, 1/10 OG, de près P<sub>14f</sub> et P<sub>4</sub>

**Le fond d'œil** montre des remaniements pigmentaires importants de la macula

**En fluorographie** : la fovéa et la fovéola sont fluorescentes ; il existe un anneau périfoveolaire de petites taches plus ou moins arrondies et des lésions flavimaculées au pôle postérieur et en périphérie

**Vision chromatique** altérée d'axe rouge-vert

**Périmétrie de profil** : scotome central important à pentes raides

**OBSERVATION 45 - Famille XXVIII**

Famille avec 11 membres atteints, hérédité dominante

Fait partie de quatre membres d'une même fratrie atteints

Début de l'affection vers 10 ans

Vue à 30 ans de l'œil droit : 1/50 et de l'œil gauche 1/10 f

**Fond d'œil** : dégénérescence maculaire de type STARGARDT ; le compte rendu, qui date d'il y a 14 ans, ne signale pas de lésions périphériques

**Un électrorétinogramme est fait** : il est normal

Nous rapportons cette observation, bien qu'assez ancienne, car les frères et sœurs ont eu récemment des examens complémentaires confirmant l'affection de type flavimaculé

**PLANCHE IV**

**Angiographies fluorescéiniques**

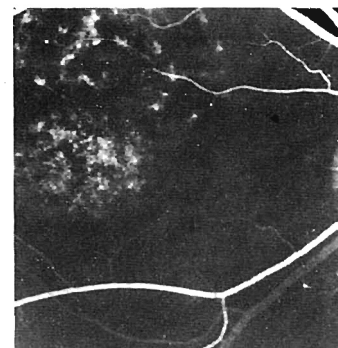


Fig. 21 - Obs. 43  
«œil de bœuf» et  
Fundus Flavimaculatus

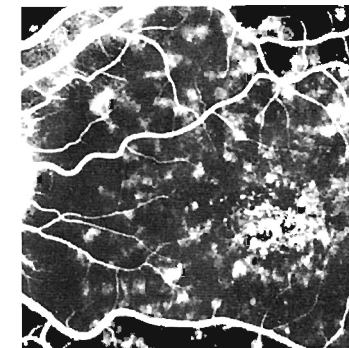


Fig. 22 - Obs. 54  
Petit «œil de bœuf» plus ou moins net  
et Fundus Flavimaculatus

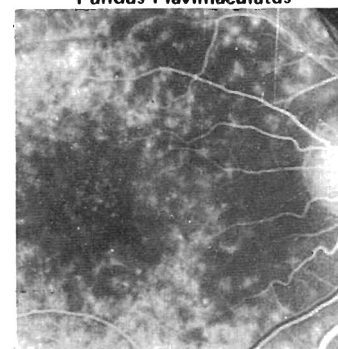


Fig. 23 - Obs. 56 Ocelle peu visible  
et Fundus Flavimaculatus  
(couronne flavimaculée visible)

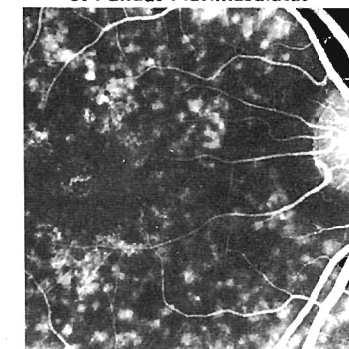


Fig. 24 - Obs. 57  
Ocelle et Fundus Flavimaculatus  
(couronne flavimaculée visible)

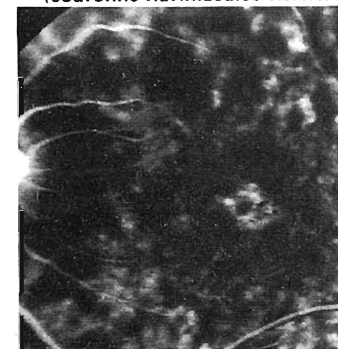


Fig. 25 - Obs. 60  
Ocelle et Fundus Flavimaculatus  
(couronne flavimaculée visible)

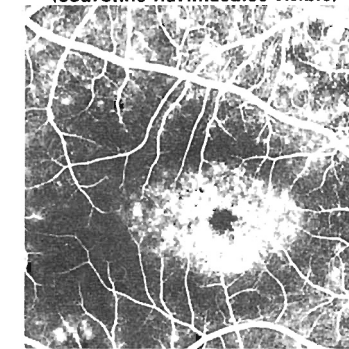


Fig. 26 - Obs. 61  
«œil de bœuf» et  
Fundus Flavimaculatus

# **OBSERVATION 46 - Famille XXVIII**

Le père est un frère de la patiente précédente (**OBSERVATION 45**)

Début de l'affection vers 12 ans, prise pour une simulatrice, elle se rapproche du tableau à l'école dès la sixième

Vision de 1/10 à 17 ans et P<sub>10</sub> - P<sub>14</sub>

**Fond d'œil** : dégénérescence maculaire de type STARGARDT associée à des lésions flavimaculées jusqu'en périphérie, existence de quelques amas pigmentaires périphériques

**Vision chromatique** : peu altérée au 15 HUE

La patiente est sujette à des lipothymies et les autres examens ne sont pas pratiqués en dehors de la

**Périmétrie de profil** qui montre un scotome central avec inversion du pic maculaire

# **OBSERVATION 47 - Famille XXVIII Figures 59 - 60**

Sœur (**OBSERVATION 45**)

Début de l'affection vers 12 ans

Vue à la Clinique Ophtalmologique de Lille vers 35 ans : VOD : 1/20 et VOG : 1/15 de près P<sub>4</sub> ODG

**Au fond d'œil** : destruction de toute la rétine maculaire, réseau choroïdien visible et gros amas pigmentés sur le foyer

Lésions caractéristiques flavimaculées périphériques

Il s'agit ici d'une affection évoluée de 24 ans d'âge. Les photos les plus récentes témoignent d'une évolution de 30 ans

**En fluorographie** : les gros vaisseaux choroïdiens sont visibles au niveau du foyer

Les lésions flavimaculées sont retrouvées en pôle postérieur comme en périphérie

**La vision chromatique** n'était que très peu altérée à 35 ans

**Le champ visuel** donnait un petit scotome central bilatéral

**L'électrorétinogramme** était normal

# **OBSERVATION 48 - Famille XXVIII**

Sœur (**OBSERVATION 46**)

Vu à 23 ans - Début de l'affection à 8 ans

Entre ces dates, a consulté plusieurs ophtalmologistes avant que le diagnostic ne soit porté

Vision à 23 ans de 1/20 et 1/15, de près P<sub>4</sub>

**Fond d'œil** : reflets en «bave d'escargot» des maculas qui sont remaniées et donnent de petits reflets métalliques

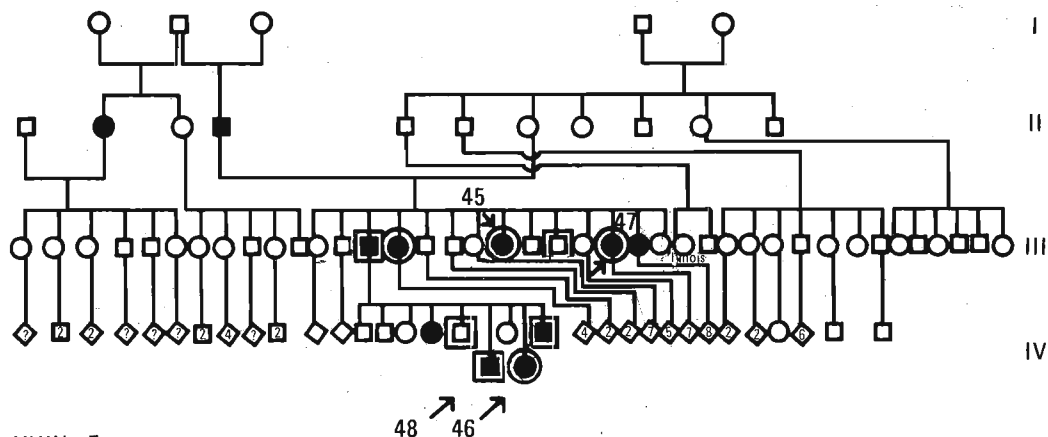
Il existe de nombreux pigments maculaires et des lésions flavimaculées en périphérie

Associées aux lésions flavimaculées en périphérie, on constate quelques petites druses aux bords bien nets

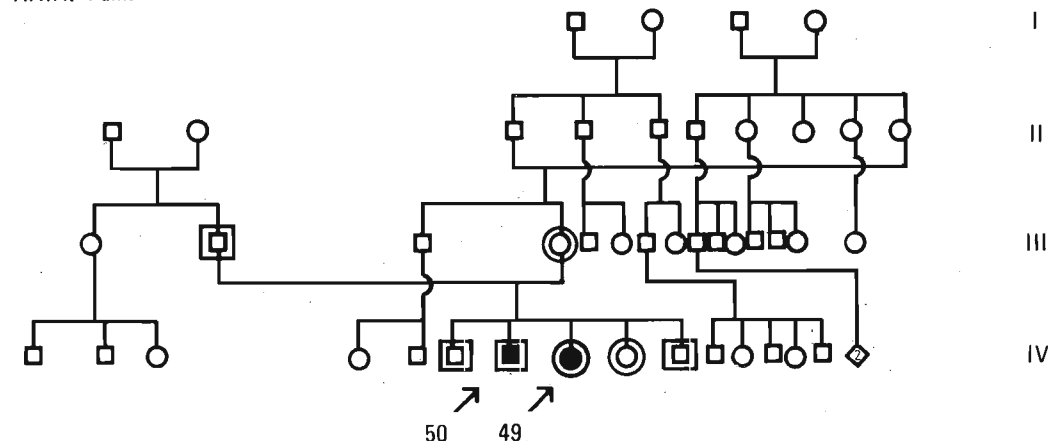
**La Fluorographie** montre une destruction très étendue de 5 à 6 diamètres papillaires de l'épithélium pigmentaire du pôle postérieur

En périphérie, on remarque les lésions flavimaculées typiques

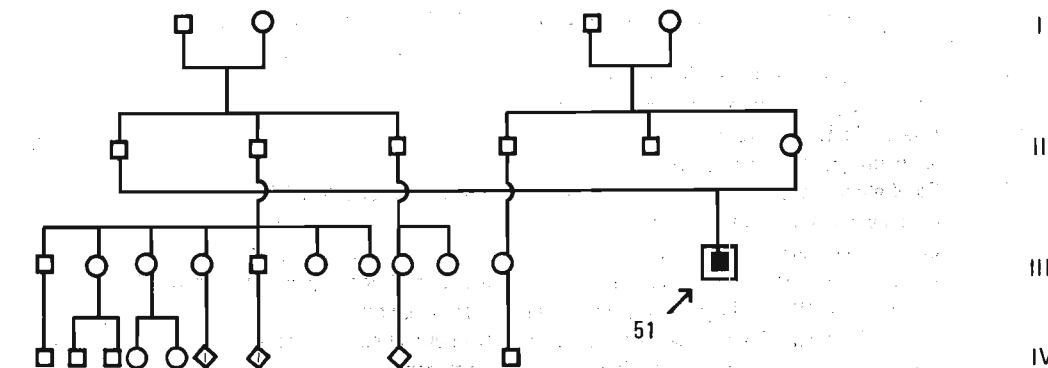
# **XXVIII. Fam.**



# **XXIX. Fam.**



# **XXX. Fam.**



La vision chromatique très altérée est de type achromate  
La périmétrie de profil donne un scotome central de 15° à pentes raides

**OBSERVATION 49 - Famille XXIX Figure 21**

Ascendants et collatéraux indemnes, en dehors d'une  
Sœur atteinte de la même affection (**OBSERVATION 50**)  
Début de la maladie avant 11 ans  
A 11 ans : **VOD 1/30 - VOG 1/20**  
**Fond d'œil** : maculas granitées très remaniées avec nombreuses petites taches blanches maculaires et péri-maculaires  
Lésions flavimaculées périphériques  
**Fluorographie** : image en *œil de bœuf* s'étendant à toute la macula ; lésions flavimaculées au pôle postérieur et en périphérie  
**Vision chromatique** altérée d'axe rouge-vert  
**Périmétrie de profil** : gros scotome central relatif avec pic maculaire inversé  
**Électrorétinogramme** altéré en photopique

**OBSERVATION 50 - Famille XXIX Figure 67**

Frère de l'**OBSERVATION 49**  
Début de l'affection à 12 ans  
Vision de **2/10 et P<sub>10</sub> ODG**  
Maculas légèrement remaniées et aspect de Fundus Flavimaculatus jusqu'en périphérie  
**Fluorographie** : imprégnation périfovéolaire en ocelle et lésions fluorescentes flavimaculées sur toute la rétine  
**Vision chromatique** altérée d'axe rouge-vert  
**Périmétrie de profil** : abaissement global des seuils liminaires  
**Électrorétinogramme** : atteinte photopique  
**Électro-oculogramme** : rapport d'ARDEN de 1,4 et 1,43  
**P.O.E.** modérément diminués au rouge

**OBSERVATION 51 - Famille XXX Figures 61 - 62**

Ascendants et collatéraux indemnes  
Baisse progressive de la vision vers 12 ans  
Vue à 23 ans de **1/10 et 2/10**, de près **P<sub>8</sub>**  
A 26 ans, **1/10 et P<sub>8</sub> ODG**  
**Fond d'œil** : dégénérescence centro-périphérique (macula et pôle postérieur) avec gros remaniements pigmentaires  
Lésions flavimaculées en périphérie  
**Fluorographie** : toute l'aire maculaire est imprégnée d'une fluorescence inhomogène. Cette fluorescence déborde largement la macula surtout en temporal  
Lésions flavimaculées au pôle postérieur en mi-périphérie et en périphérie  
**Altération globale et importante du sens des couleurs** sans axe

**OBSERVATION 52 - Famille XXI Figures 57 - 68**

Ascendants et collatéraux indemnes  
Début de l'affection avant 15 ans  
A 20 ans : **VOD 1/10 et VOG 1/15 f**, de près **P<sub>8</sub>**  
**Fond d'œil** : dégénérescence maculaire avec semis de ponctuations blanchâtres fovéolaires et taches pisciformes flavimaculées typiques sur toute l'étendue de la rétine  
(**Photo couleur du Fundus Flavimaculatus - Figure 57**)  
**Fluorographie** : image en *œil de bœuf* et taches flavimaculées fluorescentes qui prennent une disposition en couronne autour de la macula, mais qui s'étendent aussi jusqu'en périphérie  
**Vision chromatique** altérée d'axe rouge-vert  
**Électrorétinogramme** normal

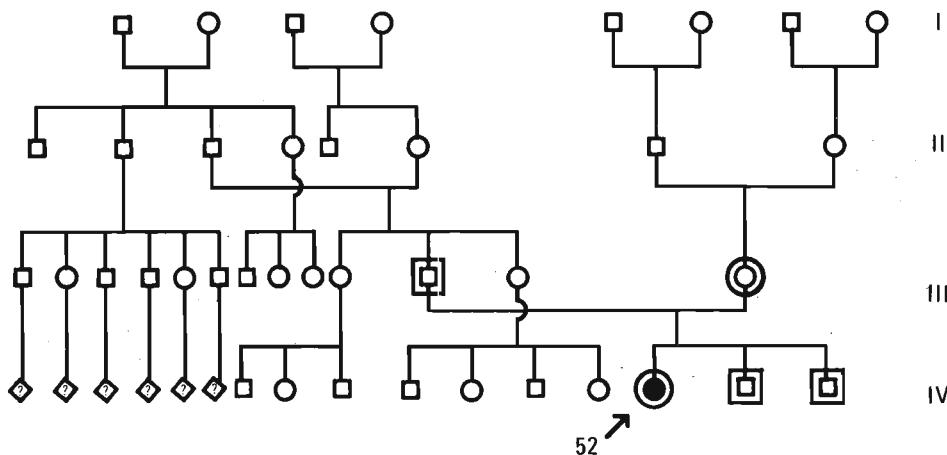
**OBSERVATION 53 - Famille XXXII Figures 63 - 64**

Ascendants et collatéraux indemnes  
Début de l'altération visuelle vers 31 ans  
A 32 ans : **VOD 8/10 et VOG 7/10**, de près **P<sub>2</sub> et P<sub>1,5</sub>**  
**Au fond d'œil** : dégénérescence maculaire de type STARGARDT et couronne de taches flavimaculées autour de la macula. Les taches s'étendent cependant sur toute la rétine  
**Fluorographie** : même aspect, image en *œil de bœuf* et couronne de taches flavimaculées  
**Vision chromatique** altérée sans axe  
**Périmétrie de profil** : scotome central plus marqué du côté gauche  
**Électrorétinogramme** normal

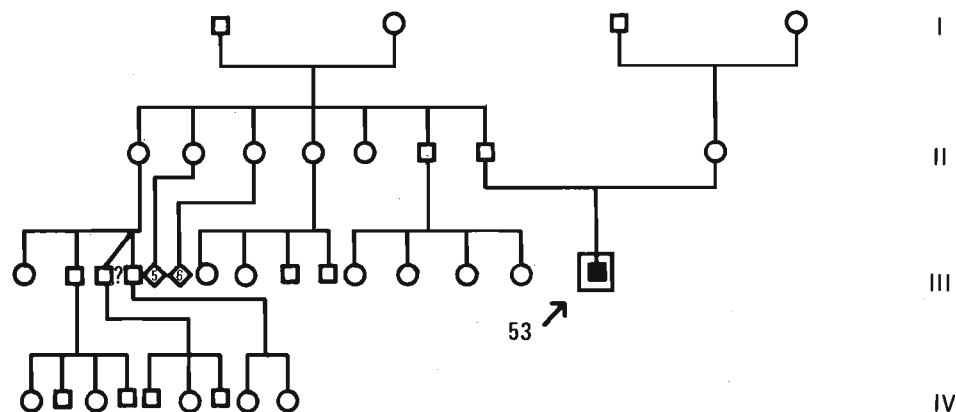
**OBSERVATION 54 - Famille XXIII Figure 22**

Une sœur atteinte de STARGARDT avec taches péri-maculaires en anneau (**OBSERVATION 36**)  
Pas d'autres cas familiaux  
Début de l'affection avant 14 ans  
A 15 ans, **1/10**, de près **P<sub>6f</sub>**  
**Au fond d'œil** : persistance du reflet fovéolaire, petites taches jaunâtres péri-maculaires et plus en dehors : taches flavimaculées  
**Fluorographie** : imprégnation maculaire inhomogène et taches flavimaculées  
**Périmétrie de profil** : scotome central large de 10° avec pic maculaire inversé  
**Vision chromatique** peu altérée d'axe rouge-vert  
**Electrorétinogramme** normal, réponses au rouge un peu faibles  
**Électro-oculogramme** altéré : rapport 1,34 - 1,37  
**P.O.E.** normaux  
**Adaptation à l'obscurité** : normale

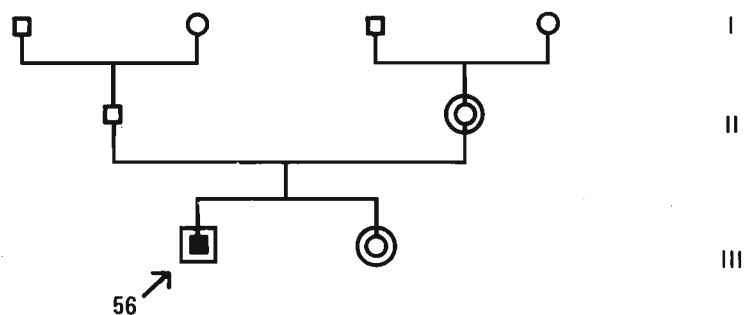
XXXI. Fam.



XXXII. Fam.



XXXIII. Fam.



# OBSERVATION 55 - Famille XXV Figures 37 - 38

La sœur a un STARGARDT avec anneau de taches péri-maculaires (OBSERVATION 38)

Début de l'affection avant 20 ans

A 23 ans, vision de 2/10 et P<sub>8</sub>

Fond d'œil : dégénérescence maculaire avec amas pigmentaires et lésions flavimaculées typiques

Fluorographie : image en ocellé fovéolaire et couronne flavimaculée au pôle postérieur, on note

un silence choroïdien et des lésions flavimaculées s'étendant jusqu'à la périphérie

Électrorétinogramme normal

# OBSERVATION 56 - Famille XXXIII Figure 23

Ascendants et collatéraux sains

Début de l'affection avant 13 ans

A 13 ans, vision de 1/15 et 2/10 et P<sub>14</sub> - P<sub>6</sub>

Fond d'œil : dégénérescence maculaire prédominant en fovéolaire et lésions flavimaculées

périphériques avec quelques amas pigmentés en périphérie

Fluorographie : imprégnation fovéolaire de type ocellé et taches fluorescentes flavimaculées périphériques

Vision chromatique très altérée d'axe rouge-vert - Scotome central au Bjerrum de 15°

Électrorétinogramme altéré au rouge

A 15 ans : VOD 1/30, VOG 1/15 - P<sub>14f</sub> P<sub>10</sub>

L'adaptation à l'obscurité est normale

# OBSERVATION 57 - Famille XXXIV Figure 24

Pas d'atteinte chez les ascendants et les collatéraux

Début de l'affection à 9 ans : vision 1/10, 1/10, P<sub>6</sub>, P<sub>8</sub>

A 10 ans : 1/20, 1/25 et P<sub>10</sub>, P<sub>14</sub>

Fond d'œil : dégénérescence maculaire avec semis de taches maculaires blanchâtres et

pigmentation irrégulière, taches flavimaculées en couronne inter-papillo-maculaires et mi-périphériques

Fluorographie : aspect d'ocellé maculaire et Fundus Flavimaculatus très important avec lésions beaucoup plus nombreuses qu'en ophtalmoscopie

Vision chromatique altérée d'axe rouge-vert œil droit et bleu-jaune œil gauche

Périmétrie de profil : abaissement global des seuils liminaires

Électrorétinogramme normal au blanc et altéré au rouge

Électro-oculogramme : rapport 1,6 et 1,6

# OBSERVATION 58 - Famille XXXV

Mère des deux malades suivants

Hérédité dominante (pas de consanguinité)

Début de l'affection inconnu

Vue à l'âge de 67 ans avec VOD : 1/10 et VOG : 7/10

**Au Fond d'œil** : lésions atrophiques des deux maculas avec gros amas pigmentaires  
**En Fluorographie** : imprégnation des aires maculaires très marquée à droite et moins nette à gauche. Taches flavimaculées fluorescentes en périphérie  
**Vision chromatique** : dyschromatopsie nette d'axe bleu-jaune  
**Périmétrie de profil** : OD : scotome central presque absolu  
**OG** : déficit global maculaire prédominant en périfovolaire  
**Électrorétinogramme** très altéré en photopique surtout au rouge  
**Électro-oculogramme** altéré : rapport d'ARDEN : 1,33, 1,55

#### OBSERVATION 59 - Famille XXXV

Sœur et mère atteintes (OBSERVATIONS 60 et 58)  
 Début de l'affection non précisé  
 A 42 ans : vision de 1/10 f et 1/20 - P<sub>10</sub>  
**Au Fond d'œil** : dégénérescence maculaire avec pigmentation semblable à celle de la sœur et lésions flavimaculées identiques en couronne et sur toute la rétine  
**Périmétrie de profil** : scotome central relatif avec inversion du pic maculaire  
**Électrorétinogramme** : déficit en photopique au rouge plus marqué sur œil gauche

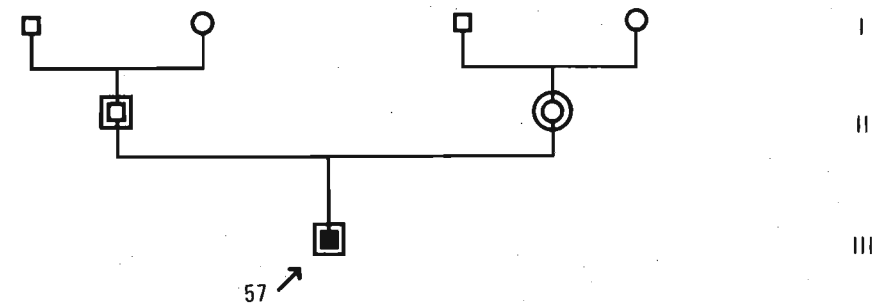
#### OBSERVATION 60 - Famille XXXV Figure 25

Sœur et mère atteintes  
 Début de l'affection avant 30 ans  
 Vision à 31 ans : 1/10  
**Fond d'œil** : dégénérescence maculaire bilatérale atrophique et pigmentée avec couronne de taches flavimaculées typiques autour de la macula et en périphérie  
**Fluorographie** : en ocelle, lésions flavimaculées en couronne et sur toute la rétine  
**Périmétrie de profil** : scotome absolu de 7° à pentes raides  
**Électrorétinogramme** : altération des composantes photopiques

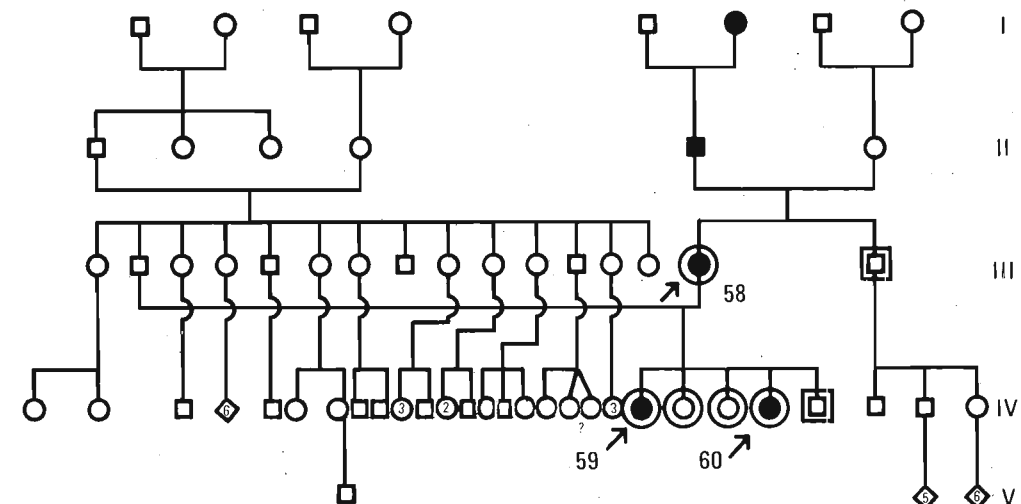
#### OBSERVATION 61 - Figure 26

Enquête génétique négative  
 Début des troubles vers 10 ans avec 1/10 et 1/15 et P<sub>10</sub>  
**Fond d'œil** : remaniement maculaire surtout périfovolaire atrophique et pigmenté  
**Fluorographie** : imprégnation importante des maculas, image en *œil de bœuf* typique et quelques lésions peu nombreuses au pôle postérieur et en périphérie de type flavimaculé  
**Vision chromatique** : dyschromatopsie d'axe bleu-jaune  
**Périmétrie de profil** : gros scotome central de 15°  
**Électrorétinogramme** altéré en photopique au rouge

#### XXXIV. Fam.



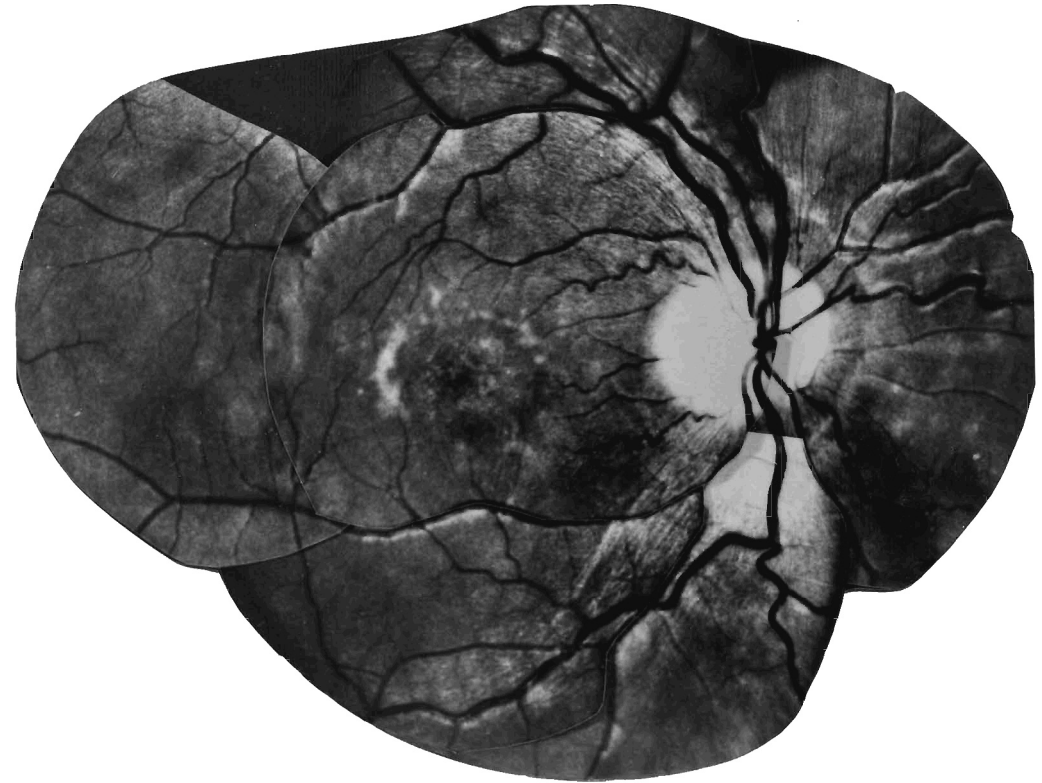
#### XXXV. Fam.



## Deuxième Partie



# ETUDE CLINIQUE



**Fig. 27 - Photomontage I - Famille XIX III 2  
STARGARDT avec lésions périmaculaires en anneau**

# 1- CIRCONSTANCES de DECOUVERTE

Le motif le plus fréquent de consultation est sans aucun doute la baisse d'acuité visuelle qui débute, en général, dans l'enfance. Cette baisse d'acuité bilatérale est progressive, parfois plus marquée d'un côté et affecte plus la vision de loin que la vision de près.

La vision antérieure était parfaitement normale et le patient consulte pour «une paire de lunettes».

Pour nos cas, l'âge de début présumé de la première atteinte visuelle se situe entre 6 ans et 25 ans, avec un maximum de fréquence entre 7 et 15 ans.

Tableau 3

| AGE DE DÉBUT | MALADIE DE STARGARDT | FUNDUS FLAVIMACULATUS |
|--------------|----------------------|-----------------------|
| 0-4          | 0                    | 0                     |
| 5-9          | 7                    | 4                     |
| 10-14        | 9                    | 12                    |
| 15-19        | 6                    | 2                     |
| 20-24        | 7                    | 0                     |
| 25-29        | 1                    | 0                     |
| 30-34        | 3                    | 0                     |
| 35-39        | 1                    | 0                     |
| après 40     | 1                    | 1                     |

En général, il n'existe pas d'autres signes fonctionnels d'appel ; la dyschromatopsie n'est pas perçue. Un malade sur trois signale une photophobie, parfois uniquement ressentie au cours des premières années de l'affection. A cette photophobie correspond l'amélioration de l'acuité visuelle lors de la diminution de l'éblouissement (port de verres teintés, diminution de l'éclairement des optotypes. (Observations : 9 - 16 - 25 - 33 - 34 - 35 - 44 - 46 - 48 - 51)

Les deux sexes sont atteints d'égale façon : 26 hommes et 13 femmes dans la maladie de Stargardt ; 10 hommes et 12 femmes dans le Fundus Flavimaculatus. (Proposants).

La baisse de vision n'est pas toujours signalée, surtout chez l'enfant, et c'est la visite scolaire ou une difficulté visuelle, remarquée en classe, qui entraîne la consultation. L'examen ophtalmologique n'étant pas toujours significatif, le malade consulte parfois plusieurs ophtalmologistes avant que le diagnostic ne soit établi. La vision, à l'opposé, peut encore être relativement bonne et ce sont les petites altérations vues ophtalmoscopiquement qui orientent le diagnostic.

## 2- ASPECTS OPHTALMOSCOPIQUES et FLUOROGRAPHIQUES

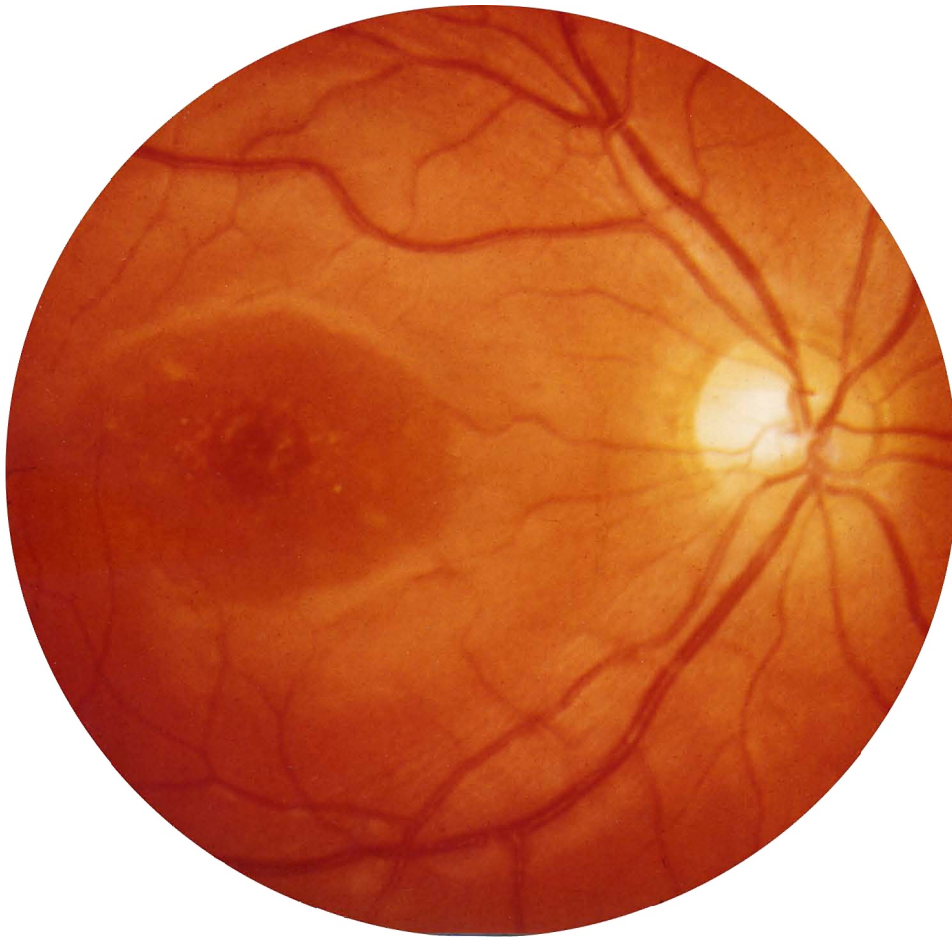
Ils permettent souvent, parallèlement au trouble visuel, d'affirmer le diagnostic de dégénérescence maculaire juvénile de type STARGARDT.

### 1) STARGARDT

#### A - OPHTALMOSCOPIE ET BIOMICROSCOPIE

Les altérations ophtalmoscopiques, qu'elles soient maculaires ou périmaculaires, sont souvent symétriques à tous les stades de l'affection. S'il existe parfois une différence entre les deux yeux, elle est légère et ne porte que sur des détails. Nous n'avons jamais observé de cas unilatéral, comme on peut en trouver dans la littérature (LEWINA-1924, CAVARA-1924, ROUMAJON-1944, BUSSEY & BERKLEY-1950, DI PRIMA-1951).

L'aspect ophtalmoscopique est cependant polymorphe et varie d'un cas à un autre. Les auteurs qui ont insisté sur la variabilité selon les stades et les malades, soulignent «l'expressivité variable d'une même affection» (BEHR-1920, BIETTI-1937, FRANCOIS J. 1949-1950, DEUTMAN-1971, etc . . . ).



**Fig. 28 - Obs. 11**  
**STARGARDT «*pur*»**



**Fig. 29 - Obs. 3**  
**Fins plissements périmaculaires de la limitante interne**

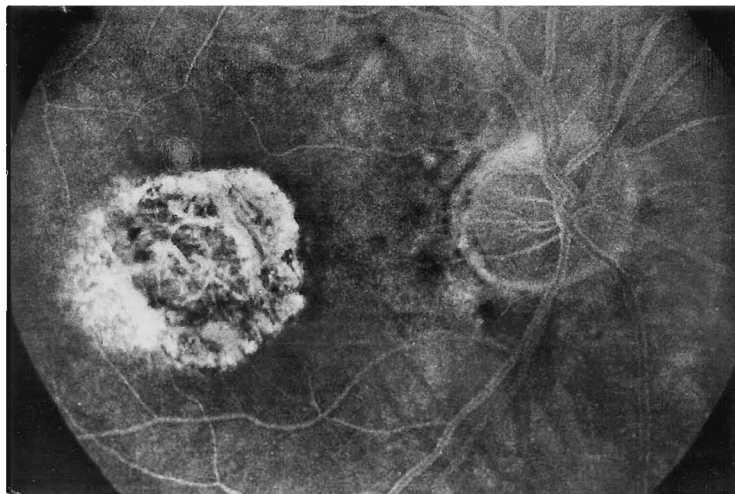


Fig. 30 - Obs. 24 - O.D. Fluorographie  
Destruction chorio-rétinienne maculaire



Fig. 31 - Obs. 24 - O.G.

#### a) Altérations maculaires

**a<sup>1</sup> - Stade précoce** : à l'extrême début de l'affection, la macula n'apparaît pas modifiée. Les premiers signes observés sont la disparition des reflets fovéolaires et périfovéolaires. On pourrait appeler ce stade *incipiens*, si la vision n'était pas toujours altérée, tout au moins sur un œil (c'est le seul signe d'appel à ce stade). Nous n'avons jamais rencontré, au niveau de notre consultation hospitalière, un malade de STARGARDT ayant une vision parfaitement normale pour chacun des deux yeux, ni chez les proches parents de nos malades, que nous avons explorés en vue de diagnostiquer l'affection, lorsqu'ils présentaient de petites altérations maculaires et une vision excellente.

**a<sup>2</sup> - Stade de début** : les altérations ophtalmoscopiques correspondent au début aux remaniements de l'épithélium pigmentaire. La macula perd son aspect homogène pour prendre une apparence granitée.

Elle peut paraître faussement œdémateuse ou même kystique, car sa surface prend un aspect vernissé, d'où l'appellation de reflets «*en have d'escargot*» que l'on obtient en faisant varier l'incidence de la lumière de l'ophtalmoscope sur la rétine (Obs. 11 - Fig. 28). Associé à ces reflets, on a décrit, autour de la macula, un plissement de la limitante interne, très fin en rayons de soleil (STARGARDT-1909, DEUTMAN-1971 . . . ) parfois observé sans qu'il soit pathologique chez de jeunes sujets (Obs. 3 - Fig. 29). Cependant, la biomicroscopie du fond d'œil ne montre jamais de modifications des lignes de profils, prouvant ainsi l'absence de lésion œdémateuse ou rétractile. A ce stade, apparaissent aussi de très fines ponctuations blanchâtres ou jaunâtres qui peuvent encercler la fovéola en anneau. La fovéola, qui semble respectée, est entourée d'une rétine grisâtre ou gris plombé (STARGARDT-1909, TILLE-1929) ce qui lui donne par contraste une couleur rouge orangée (Obs. 1 - Fig. 28). Les lésions périfoveolaires, associées à ce stade, seront étudiées un peu plus loin.

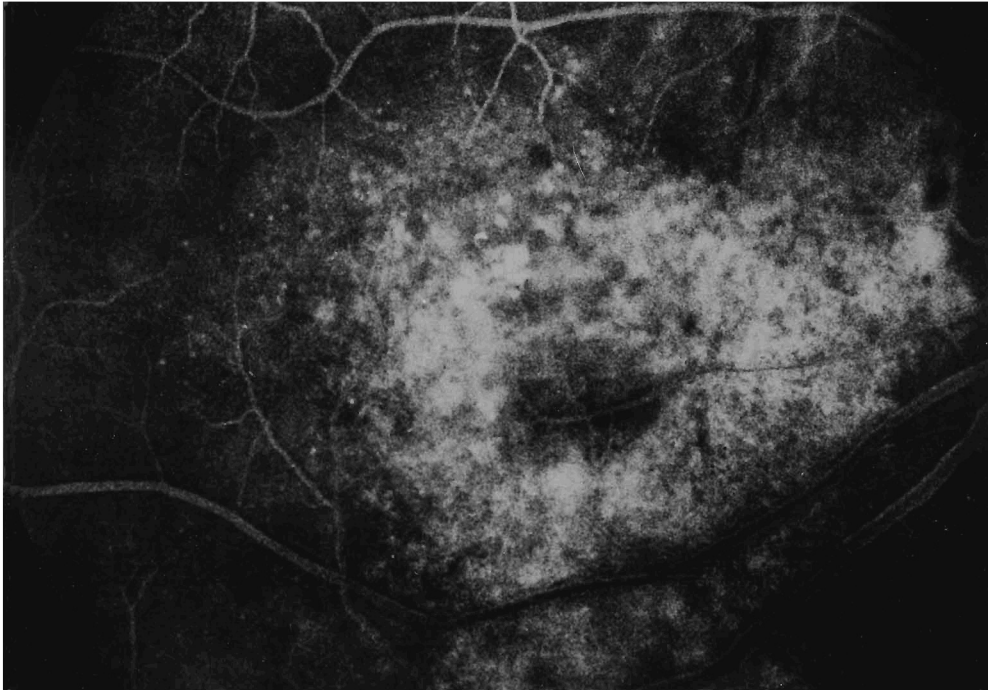
**a<sup>3</sup> - Stade d'état** : les pigmentations maculaires apparaissent d'abord poussiéreuses entre les ponctuations, elles deviennent plus importantes et se groupent en amas ou en épais flocons de suie sur toute l'aire maculaire, prenant parfois une disposition en ceinture autour du foyer central (VALUDE & SCHIFF-WERTHEIMER-1925). On peut observer en même temps de petites plages dépigmentées maculaires dont les limites irrégulières peuvent être bordées de pigments.

Les ponctuations blanchâtres ou jaunâtres périfoveolaires du stade précédent augmentent en nombre, deviennent plus brunes et se répartissent sur toute la macula pour donner à celle-ci des reflets métalliques (SUN-1951, KOGLANSKI-1958), jaunâtres ou cuivrés ou l'aspect de «*bronze martelé*». La durée de ce stade s'étend sur de nombreuses années.

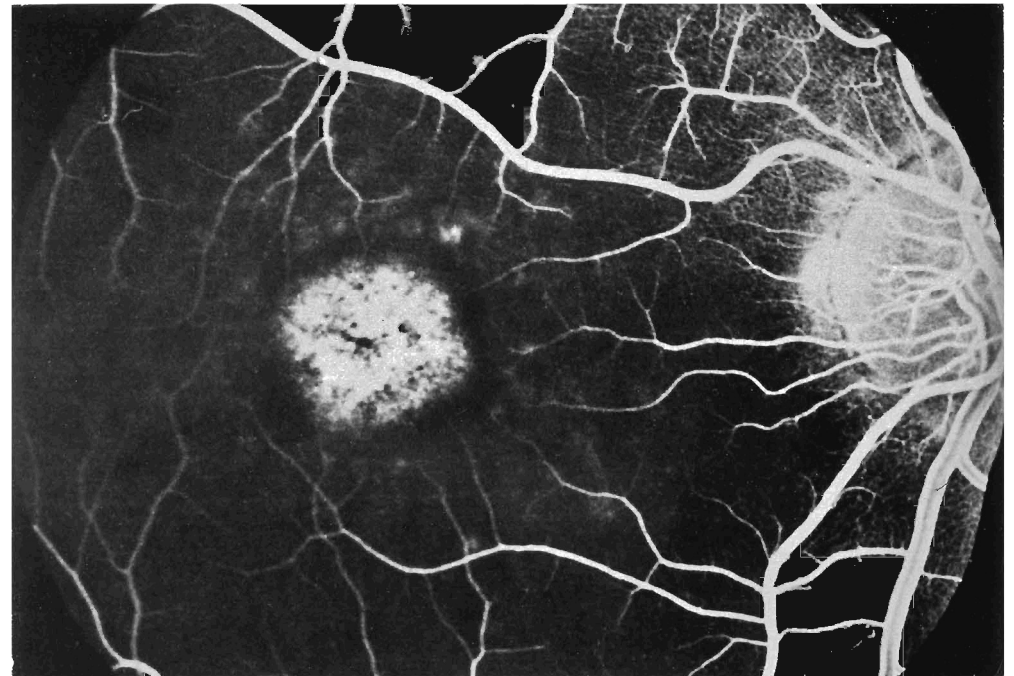
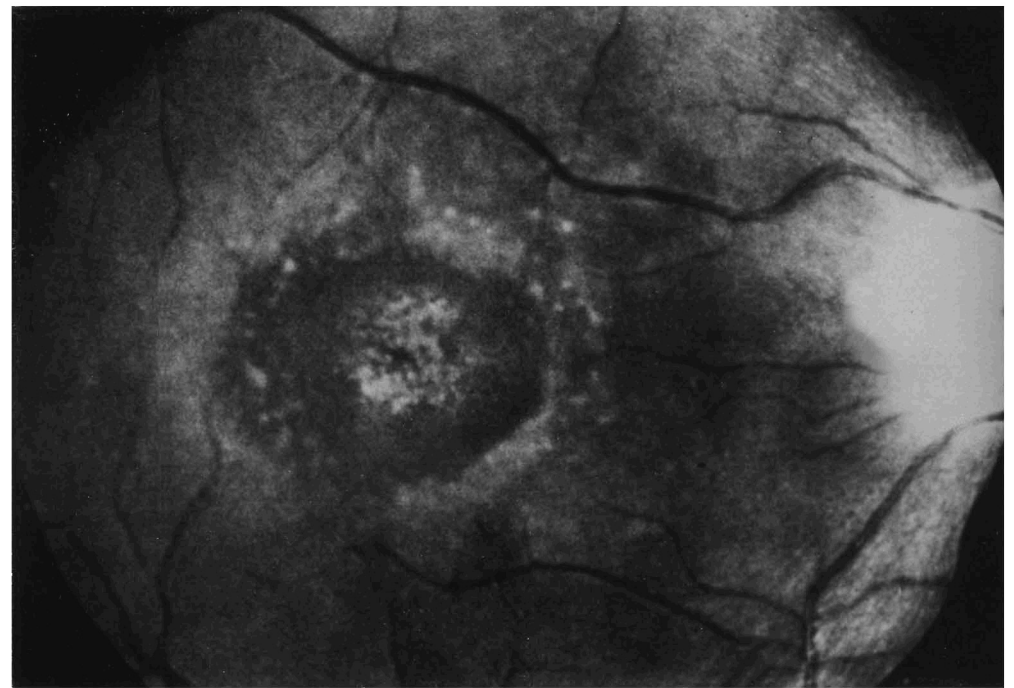
**a<sup>4</sup> - Stade terminal** : en fin d'évolution, parfois après plusieurs décennies, il existe une plage maculaire ovale à grand axe horizontal où la rétine semble détruite et laisse apparaître de gros vaisseaux choroïdiens. On constate alors de volumineux amas de pigments souvent placés au centre de la lésion. L'aspect terminal étant celui d'une atrophie chorio-rétinienne et périfoveolaire (Obs. 24 - Fig. 30).

L'atrophie chorio-rétinienne peut déborder largement l'aire maculaire et donner un aspect dégénératif de tout pôle postérieur (Obs. 26 - Fig. 32).





**Fig. 32 - Obs. 26 - Fluorographie**  
**Dégénérescence atrophique chorio-rétinienne débordant la macula**



**Fig. 34 - Obs. 27 - Fluorographie**  
**«œil de bœuf»**



Fig. 36 - Obs. 38 - Fluorographie  
«œil de bœuf»

Sœur de la malade aux photos suivantes, Fig. 37 et 38

## b) Altérations rétinienne en dehors de la macula

**b<sup>1</sup> - Lésions para et périmaculaires :** lors de la classification de nos observations, nous avons séparé les maladies de STARGARDT dites «pures» des maladies avec anneau périmaculaire : car leur aspect peut paraître ophtalmoscopiquement différent. Lorsque le remaniement maculaire est formé d'un granité de petites taches gris-pâles ou brunes (2ème stade), il peut s'y associer de petites lésions blanc-jaunâtres vitreuses aux bords peu nets, arrondies, situées à la périphérie de la macula dans un plan profond, surcroisées par les vaisseaux (Obs. 27 - Fig. 33 - 34).

Elles débordent l'aire maculaire, s'étendent vers les gros vaisseaux du pôle postérieur. Décrites par STARGARDT et de nombreux auteurs, elles ont toujours été attribuées à la maladie de STARGARDT. Plusieurs auteurs dont DEUTMAN les considèrent comme une forme évoluée de STARGARDT, bien qu'elles n'apparaissent jamais dans certaines formes terminales. Sur nos 14 observations de maladie de STARGARDT, avec atteinte périmaculaire, deux sujets ont chacun une sœur atteinte de Fundus Flavimaculatus (Obs. 36 et 54 ; Obs. 38 - Fig. 35 - 36 ; Obs. 55 - Fig. 37 - 38). Ces observations seraient en faveur d'une forme intermédiaire entre STARGARDT et FUNDUS FLAVIMACULATUS. Pourtant, ces taches sont plus petites (du diamètre d'un gros vaisseau) que les taches flavimaculées, elles ont une localisation périmaculaire bien précise, et, par leur taille et leur aspect, évoquent de petits exsudats qui seraient consécutifs d'une souffrance maculaire. Nous verrons, toutefois, que les fluorographies ne confirment pas cette hypothèse et les apparentent aux lésions flavimaculées.

**b<sup>2</sup> - Lésions pigmentées périphériques :** les remaniements de l'épithélium pigmentaire périphérique, même dans les STARGARDT purs, peuvent entraîner l'apparition de quelques petits amas pigmentaires isolés. Ces pigmentations, le plus souvent de forme arrondie, peuvent prendre plus rarement l'aspect d'ostéoblastes (Obs. 48).

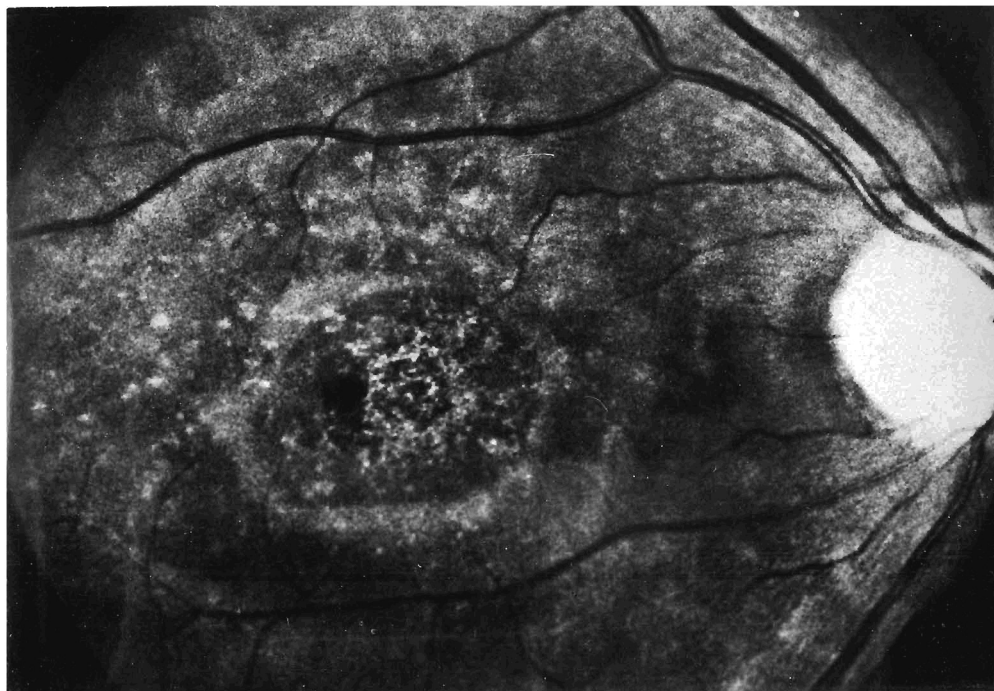
## c) Papille et vaisseaux

Ils sont normaux du moins au début. La papille se décolore dans son secteur temporal au cours de l'évolution. Cette pâleur n'apparaît en général qu'aux stades évolués de la dégénérescence maculaire et dans les formes centro-périphériques où la maladie s'étend bien au-delà de la macula.

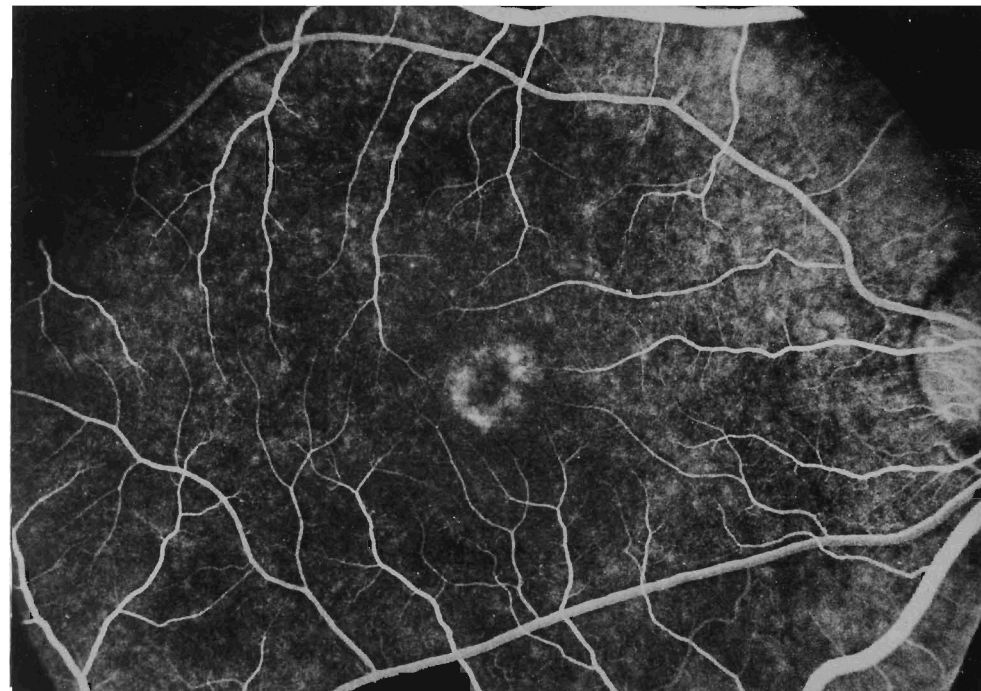
## B - ASPECTS FLUOROGRAPHIQUES

### a) Lésions maculaires

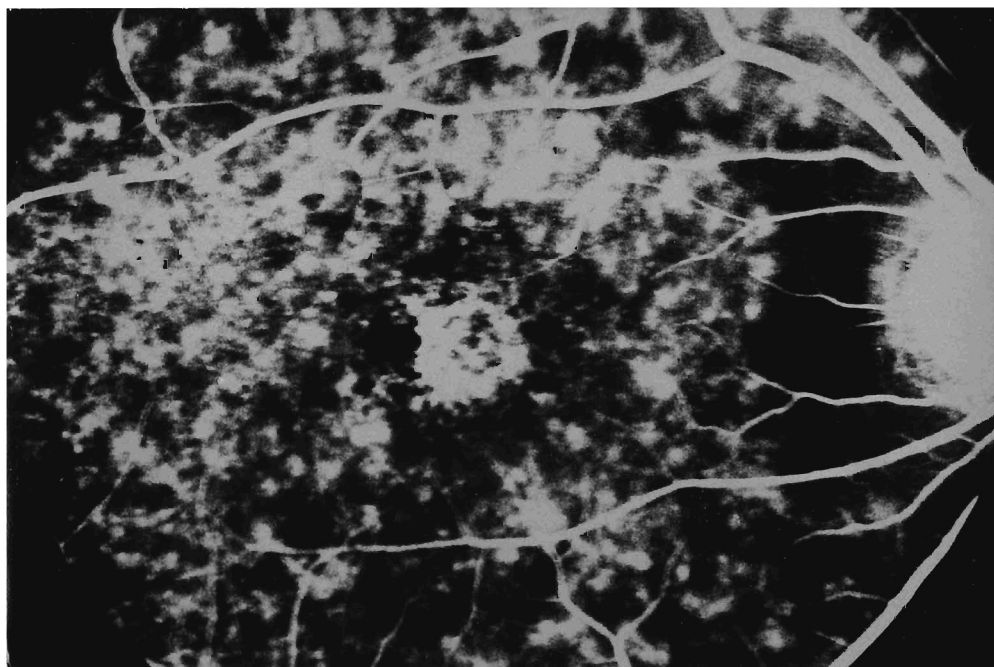
L'angiographie fluorescéinique apparaît d'un intérêt capital pour le diagnostic surtout pour les formes sans lésion ophtalmoscopique. Les modifications maculaires fluorographiques sont quasi constantes et varient selon les cas et leur évolution.



**Fig. 37 - Obs. 55**  
**Fundus Flavimaculatus**



**Fig. 39 - Obs. 8 - Fluorographie**  
**Ocell**



**Fig. 38 - Obs. 55 - Fluorographie**  
**«Ocell» et couronne flavimaculée**

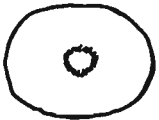

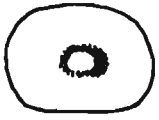







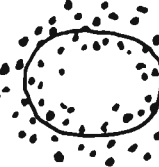





**Fig. 40 - Obs. 1 - Fluorographie**  
**Ocell élargi**



Tableau 4

LÉSIONS MACULAIRES DE LA MALADIE DE  
STARGARDT EN ANGIOGRAPHIE FLUORESCÉINIQUE

|                                              |                                                                                     |                                                                                     |
|----------------------------------------------|-------------------------------------------------------------------------------------|-------------------------------------------------------------------------------------|
| OCELLE                                       |    |    |
| OCELLE ÉLARGI                                |    |    |
| OEIL DE PLUME DE<br>QUEUE DE PAON            |    |    |
| OEIL DE BOEUF<br>PETIT                       |    |    |
| OEIL DE BOEUF                                |   |   |
| ANNEAU<br>PÉRIMACULAIRE                      |  |  |
| ATROPHIE<br>RÉTINIENNE DU<br>POLE POSTÉRIEUR |  |  |

Toutes les lésions sont visibles d'emblée dès le temps artériel et persistent assez longtemps après le temps veineux tardif. Elles n'augmentent pas en densité, ne diffusent pas le colorant et font penser à une lacune de la couche pigmentée, laissant apparaître par «*effet fenêtre*» la fluorescence du fond choroïdien normalement masquée par l'épithélium pigmentaire sain.

Elles se présentent sous forme d'image soit en :

- ocell
- œil de plume de queue de paon
- œil de bœuf
- dégénérescence atrophique du pôle postérieur.

**a<sup>1</sup> - L'ocelle** : dans la grande majorité des cas, au stade *incipiens*, il existe déjà des lésions visibles en fluorographie ou fluoroscopie. On retrouve les lésions concentriques à la fovéola.

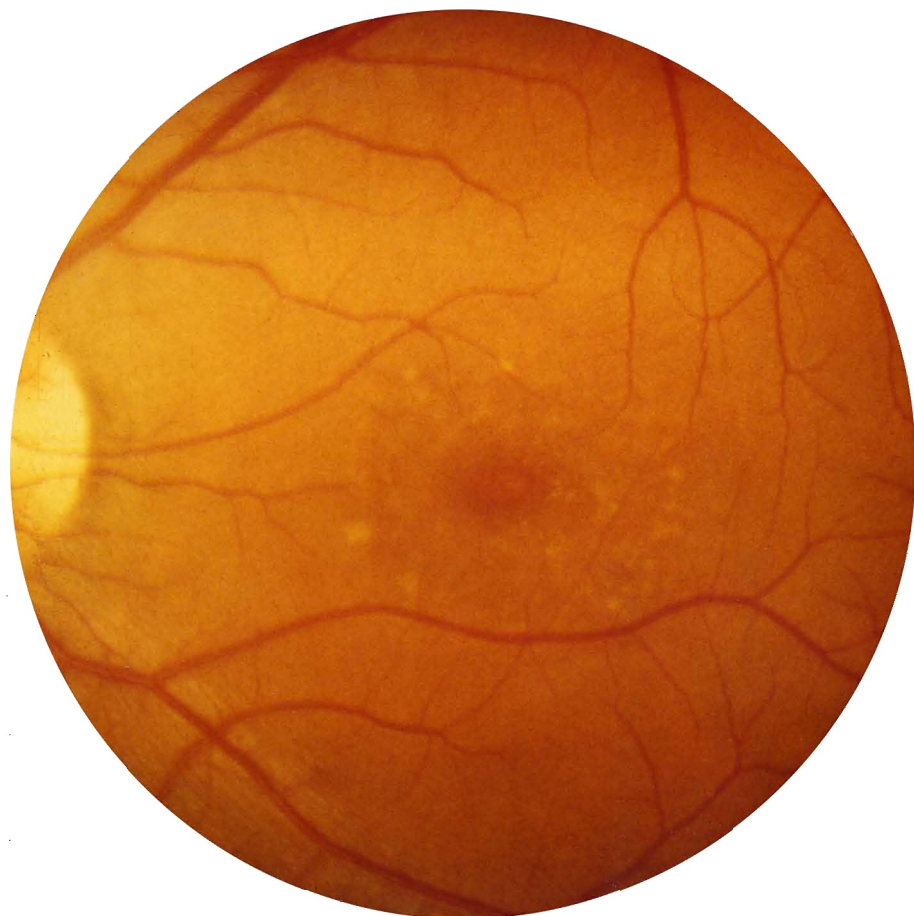
La forme la plus fréquente et typique de début est l'image dite en ocell autour de la fovéola : dès le temps choroïdien et plus nettement au temps artériel, apparaît un petit anneau situé autour de la fovéola (Obs. 8 - Fig. 39). Cet anneau peut être à peine visible, masqué par un mauvais développement des fluorographies, il sera mieux perçu en fluoroscopie. Décelé au début de la maladie, il correspond au semis de punctuations blanc-jaunâtres ou brunes périfovéolaires, visible en ophtalmoscopie simple et sur les photographies en couleurs. Ce n'est parfois qu'à postériori, et après avoir constaté l'ocelle en angiographie fluorescéinique, que l'on découvre les lésions ophtalmoscopiques à peine visibles.

**a<sup>2</sup> - L'image en œil de plume de queue de paon** : l'ocelle peut s'élargir sur les bords surtout latéralement, elle peut même ne s'élargir que d'un seul côté (Obs. 1 - Fig. 40) ; si l'élargissement s'effectue des deux côtés, on aura l'aspect en œil de plume de queue de paon décrit par BONNIN & BOUSQUET, en 1958, (Obs. 10 - Fig. 42).

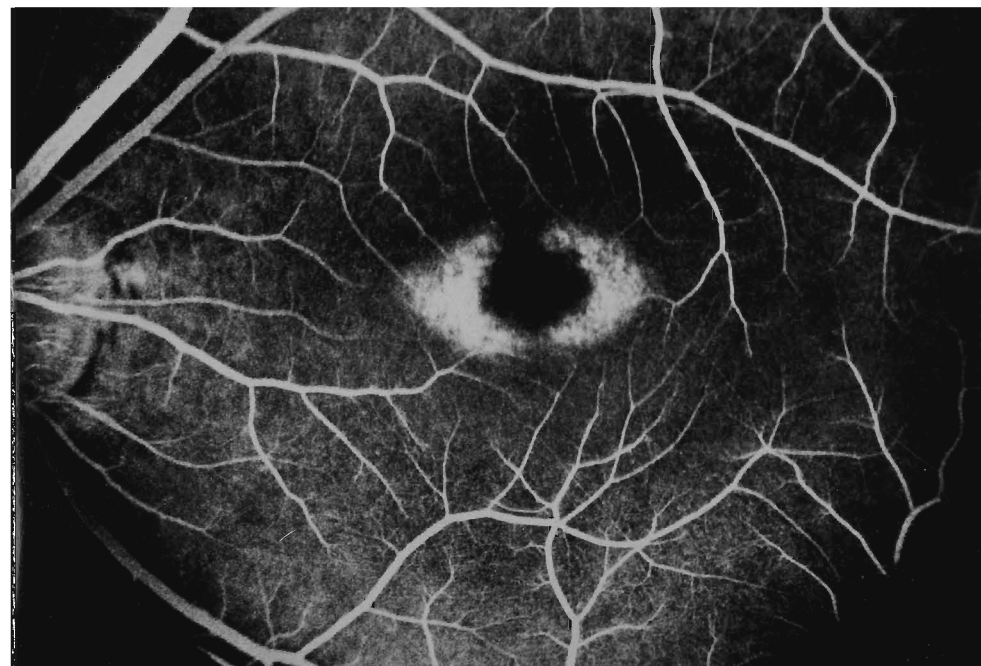
**a<sup>3</sup> - Image en œil de bœuf** : lorsque l'épaisseur de l'anneau fluorescent périfovéolaire augmente, on obtient l'aspect en œil de bœuf plus ou moins gros (Obs. 30 - Fig. 43 ; Obs. 28 - Fig. 44 ; Obs. 32 - Fig. 45 ...).

Il est remarquable que la fovéola puisse rester exempte de toute imprégnation dans ces cas. On explique le respect apparent de la fovéola soit par l'absence ou la modicité des lésions de l'épithélium pigmentaire fovéolaire, soit, au contraire, par l'exagération de la pigmentation à ce niveau, due à une migration de voisinage. Cette hyperpigmentation centrale est d'ailleurs observée à l'ophtalmoscopie dans certains cas de STARGARDT. Un autre argument en faveur de l'atteinte fovéolaire à ce stade est l'image «*inverse*» où la fovéola, au lieu d'être muette, apparaît encore plus fluorescente que le reste de la macula. Dans ce cas, il n'y aurait pas de migration pigmentaire. (Obs. 25 - Fig. 46).

**a<sup>4</sup> - Dégénérescence atrophique et pigmentée de la macula et du pôle postérieur** : au dernier stade, c'est une image fluorographique de destruction totale de l'épithélium pigmentaire sur tout le foyer maculaire au sein duquel apparaissent de gros amas pigmentaires avec parfois destruction de la chorio-capillaire (Obs. 24 - Fig. 30). Lorsque la dégénérescence débordé la macula, le pôle postérieur apparaît imprégné de colorant dans son ensemble, la lésion perd ses limites nettes et prend un aspect inhomogène mité. Sa taille peut atteindre un diamètre de 3 à 4 papilles ou plus et l'on distingue sur toute sa surface de gros amas pigmentaires de formes variables (Obs. 2 - Fig. 47 - 48).



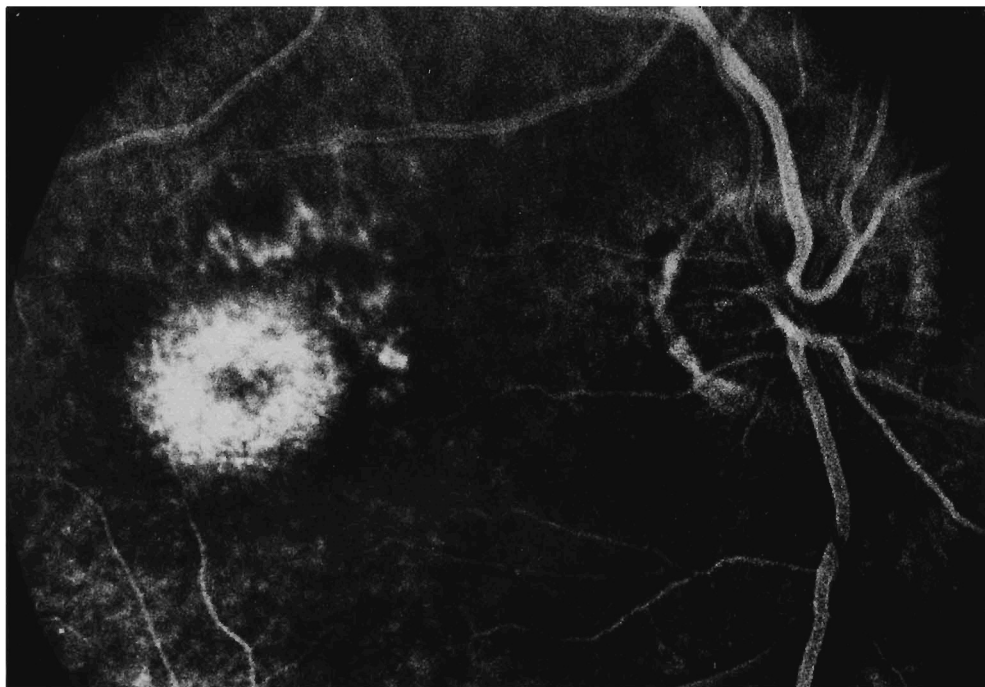
**Fig. 41 - Obs. 30 - O.G.**  
**STARGARDT avec lésions périmaculaires en anneau**



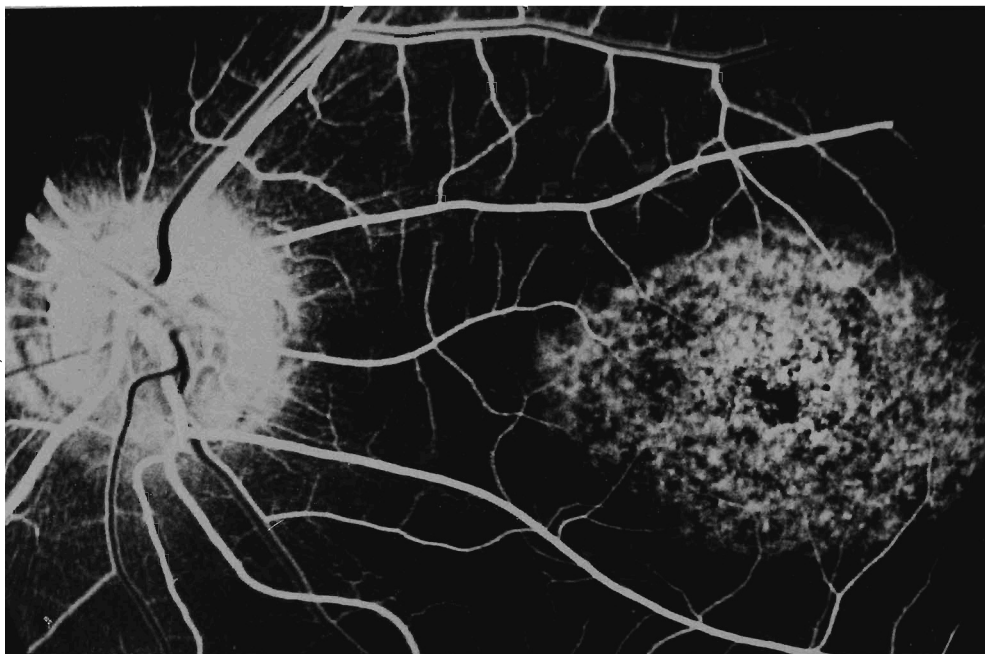
**Fig. 42 - Obs. 10 - Fluorographie**  
**«œil de plume de queue de paon»**



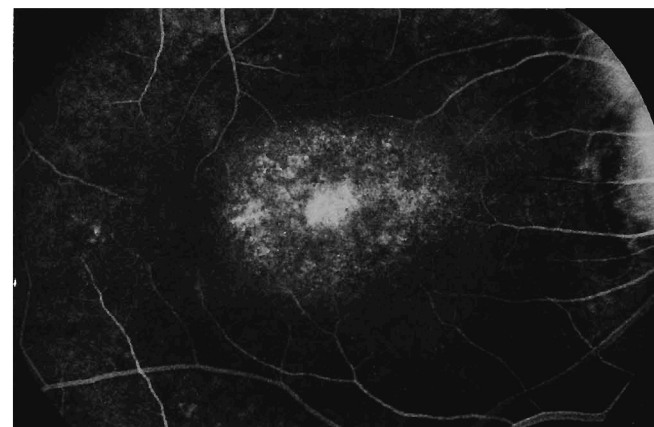
**Fig. 43 - Obs. 30 - O.D. Fluorographie**  
**«œil de plume de queue de paon»**



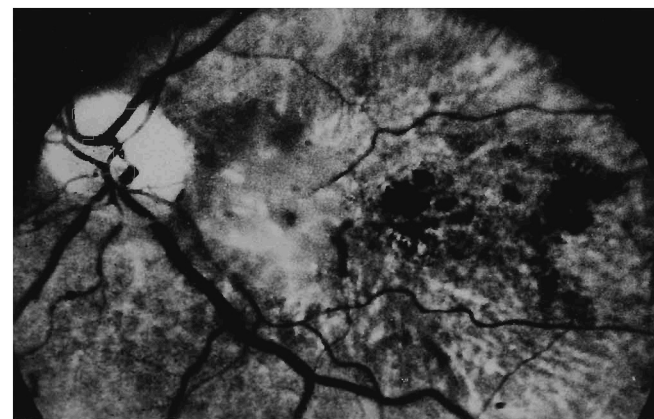
**Fig. 44 - Obs. 28 - Fluorographie**  
**Petit «œil de bœuf»**



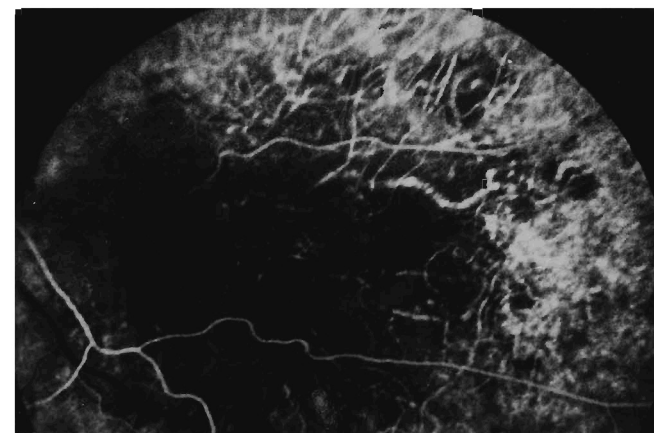
**Fig. 45 - Obs. 32 - Fluorographie**  
**«œil de bœuf»**



**Fig. 46 - Obs. 25 - Fluorographie**  
**«œil de bœuf» et Fovéola fluorescente**



**Fig. 47 - Obs. 2**  
**Pigments en gros amas**



**Fig. 48 - Obs. 2 - Fluorographie**  
**Chorio-capillaire détruite**



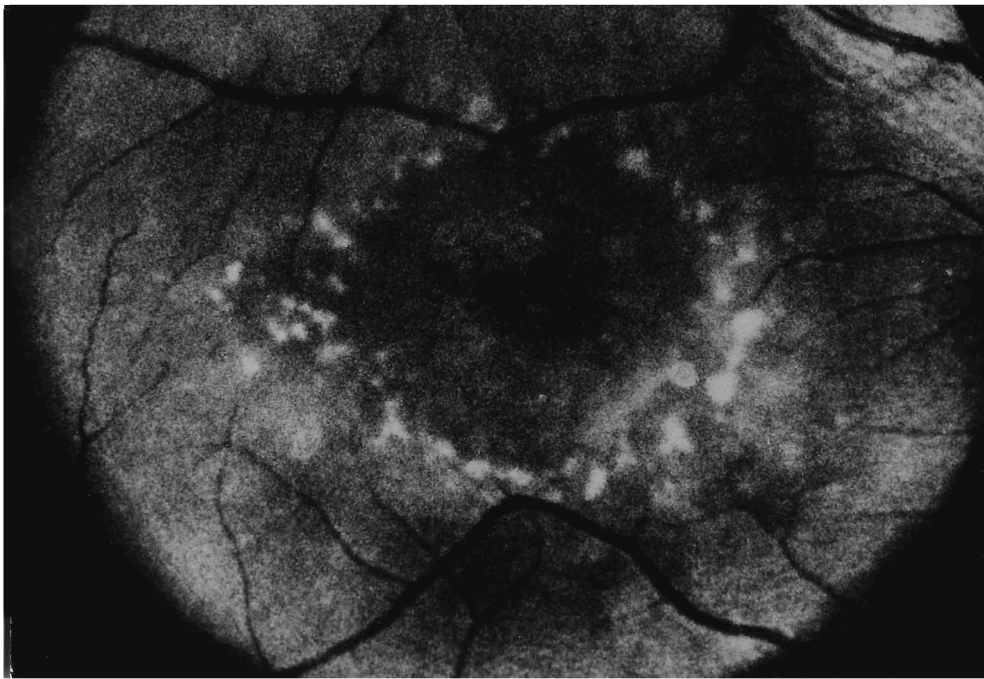


Fig. 49 - Obs. 35  
Lésions périmaculaires

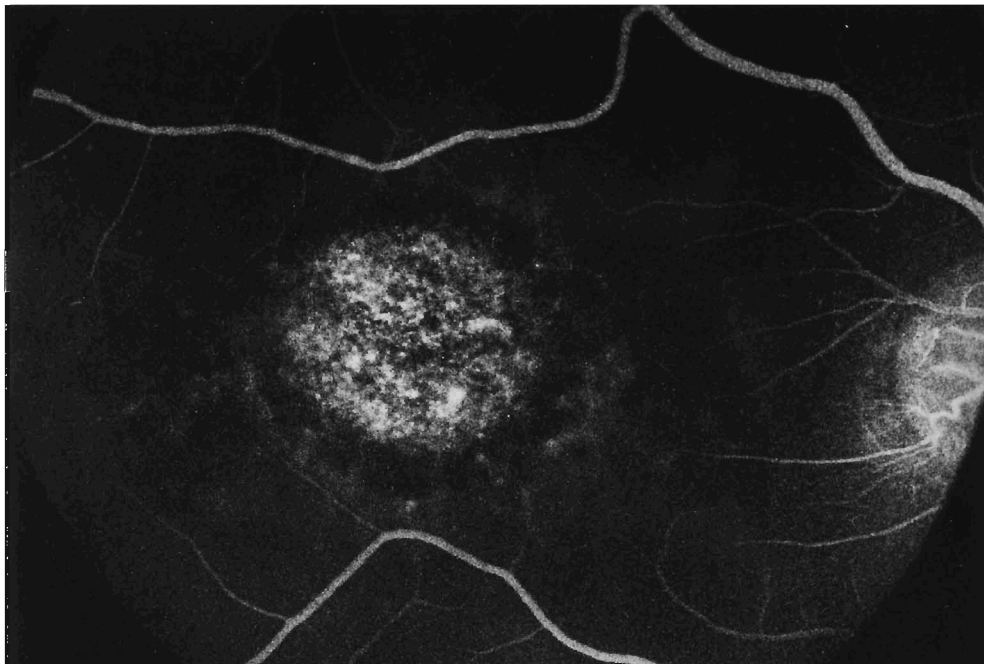


Fig. 50 - Obs. 35  
Lésions fluorographiques et ophtalmologiques  
non congruentes

#### b) Lésions fluorographiques périmaculaires

L'anneau de petites taches jaunâtres périmaculaires, visible en ophtalmoscopie, a son homologue en fluorographie. Cependant, dans certains cas (Obs. 27 - Fig. 33 - 34), les lésions ophtalmoscopiques ne sont pas visibles en fluorographie. Elles sont en fait très peu fluorescentes et apparaissent mieux dans d'autres cas, si l'on compare les clichés simples et fluorographiques (Obs. 35 - Fig. 49 - 50). Les lésions fluorescentes de l'épithélium pigmentaire ne correspondent pas exactement aux lésions ophtalmoscopiques et les points les plus fluorescents apparaissent parfois sur les photographies simples comme des zones sombres. Il faut donc conclure à l'existence de dépôts profonds très proches de l'épithélium pigmentaire, probablement analogues à ceux des lésions flavimaculées. En regard des lésions fluorescentes de l'épithélium pigmentaire, existe donc un dépôt qui, lorsqu'il atteint une épaisseur suffisante, joue un rôle d'écran comme l'épithélium pigmentaire normal vis à vis de la fluorescence choroïdienne. Les lésions fluorescentes visibles correspondent aux lésions de l'épithélium pigmentaire insuffisamment recouvertes de dépôts hyalins.

#### c) Silence choroïdien

Pour nos STARGARDT, une fois sur deux, nous avons constaté, en dehors des lésions fluorescentes, un silence choroïdien, c'est-à-dire l'absence de fond, ou pommelé choroïdien, normalement visible sur toute l'étendue de la rétine en dehors de la macula. Ce silence choroïdien accentue le contraste des lésions observées. Décrit par BONNIN, en 1971, il serait dû à une altération de la chorio-capillaire sous-jacente à l'épithélium pigmentaire ou à l'épaississement de ce dernier.

C'est la deuxième hypothèse qui nous paraît la plus vraisemblable. Ce symptôme fluorographique présente un intérêt particulier, car il est retrouvé dans la maladie de STARGARDT pure comme dans le Fundus Flavimaculatus et il implique une altération ou souffrance globale de l'épithélium pigmentaire.

#### d) Forme sans lésion fluorescente

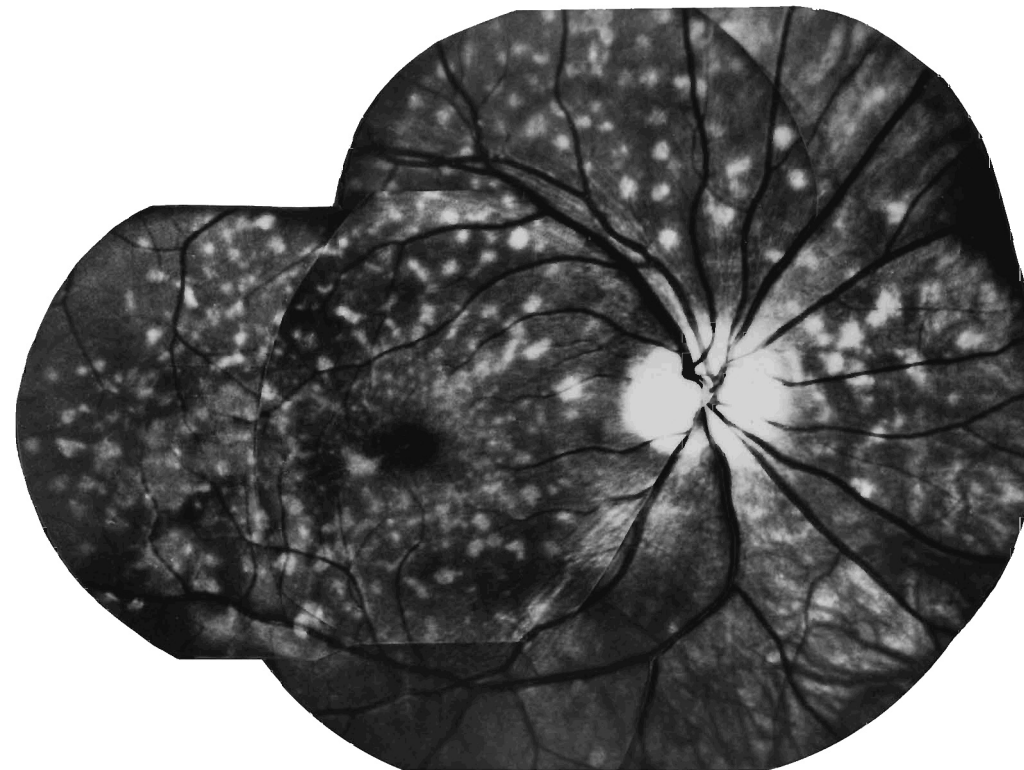
Nous n'avons observé qu'un cas de STARGARDT (Obs. 37 - Fig. 51 - 52), avec fluorographie maculaire normale. Il peut être rapproché de ceux décrits par FRANCOIS J. 1970 & 1971. Ces cas sont exceptionnels et ne doivent pas être pris en exemple dans la maladie de STARGARDT. Nous en discuterons ultérieurement la valeur pathologique.



**Fig. 51 - Obs. 37**  
**Lésions para et périmaculaires**



**Fig. 52 - Obs. 37**  
**Fluorographie sans lésions**



**Fig. 53 Photomontage II Obs. 41**  
**Fundus Flavimaculatus**



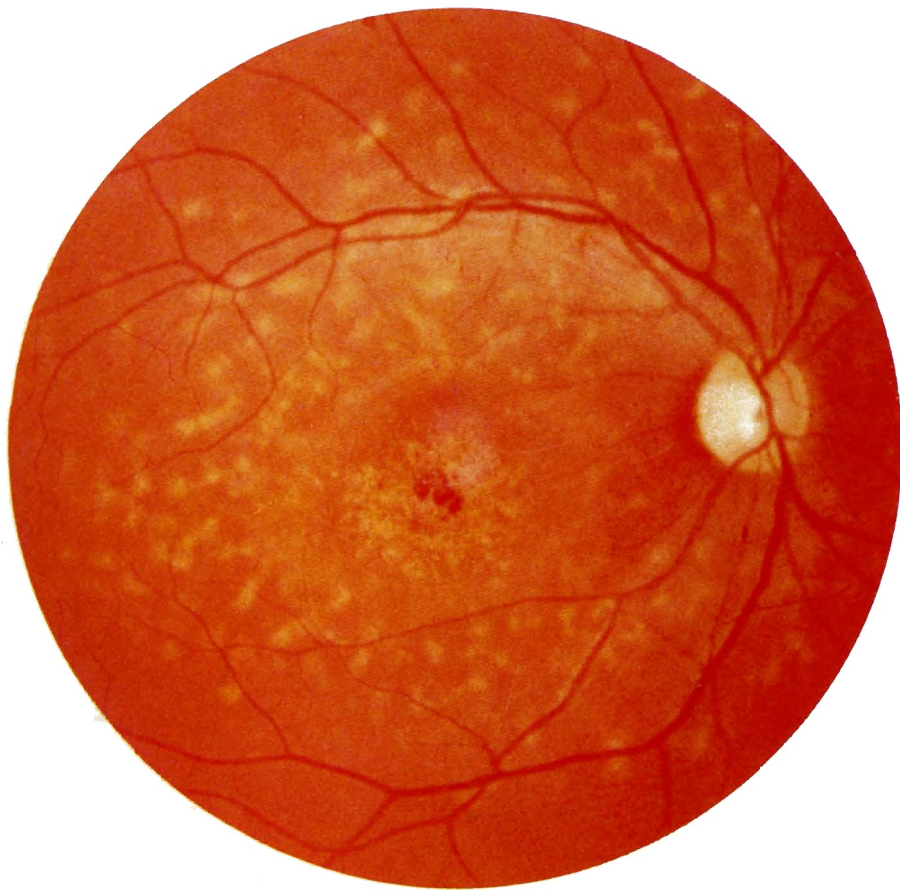


Fig. 54 - Obs. 42  
(Photo couleur recto couverture)  
Fundus Flavimaculatus - Dégénérescence maculaire  
Couronne flavimaculée et taches flavimaculées périphériques



Fig. 55 - Obs. 43  
F.O. normal

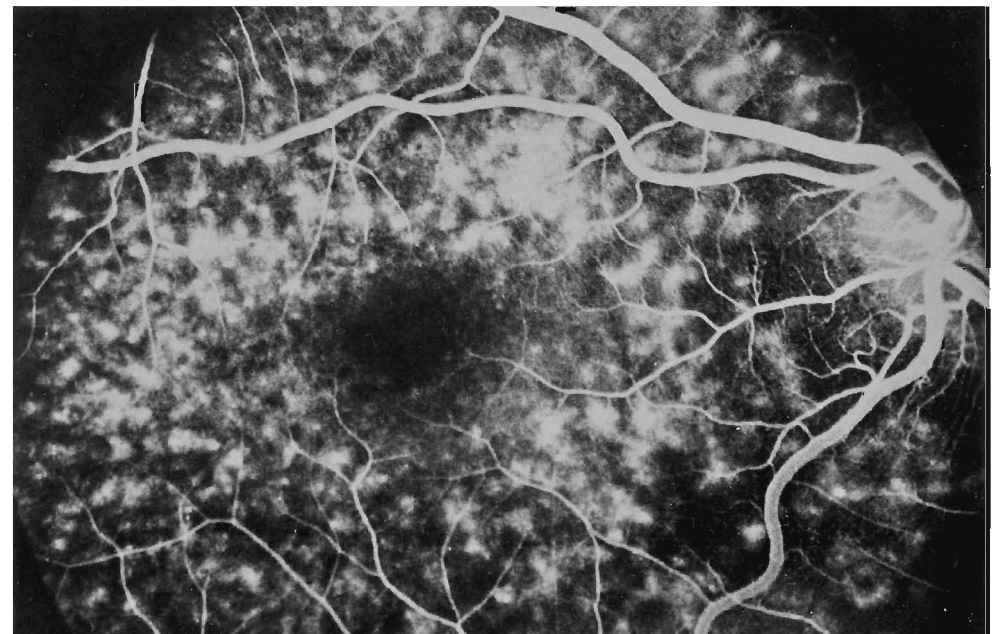


Fig. 56 - Obs. 43 - Fluorographie  
Fundus Flavimaculatus avec respect maculaire

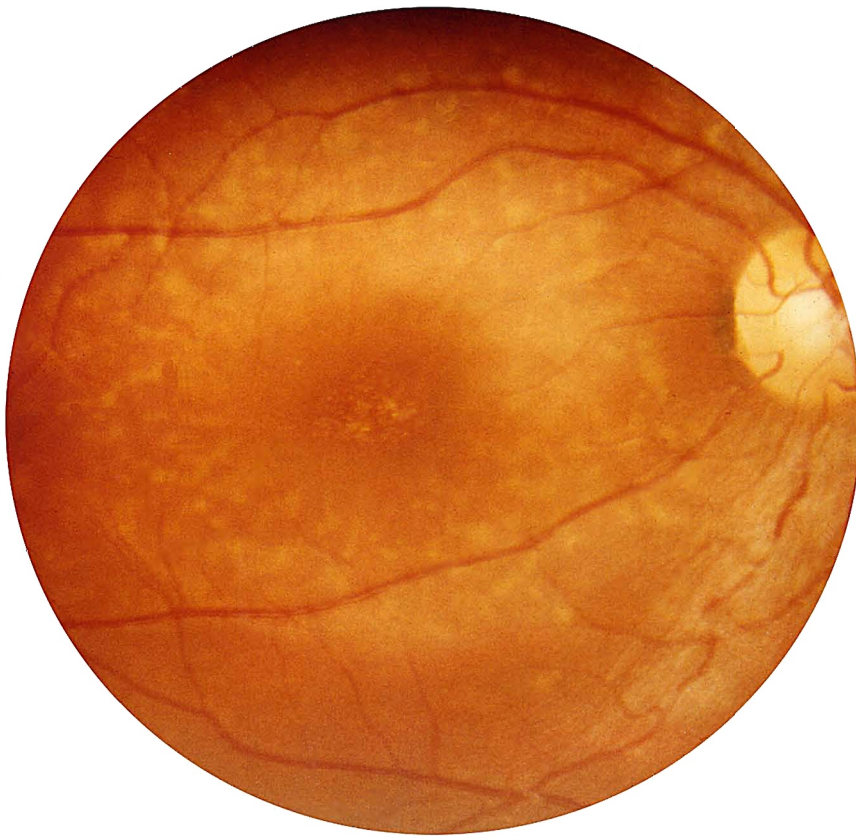


Fig. 57 - Obs. 52  
Fundus Flavimaculatus  
Couronne flavimaculée et Dégénérescence maculaire

## 2) FUNDUS FLAVIMACULATUS

### A - ASPECTS OPHTALMOSCOPIQUES ET BIOMICROSCOPIQUES

Les caractères généraux des lésions maculaires du Fundus Flavimaculatus sont absolument identiques à ceux de la maladie de STARGARDT. Les lésions peuvent varier d'un individu à l'autre, elles sont symétriques le plus souvent et s'aggravent avec le temps.

Il existe des formes précoces, sans lésion maculaire apparente, avec chute importante de l'acuité visuelle ; il existe également des formes très évoluées où le pôle postérieur est le siège d'un large foyer atrophique chorio-rétinien.

Associées à ces lésions maculaires, les lésions périmaculaires et flavimaculées sur toute l'étendue de la rétine vont donner au fond d'œil son aspect typique de Fundus Flavimaculatus.

#### a) Altérations maculaires

Nous retrouvons les quatre stades évoqués précédemment :

**a<sup>1</sup> - Stade précoce** : sans lésion visible ophtalmoscopique (Obs. 43 - Fig. 55 - 56), avec disparition des reflets fovéolaires et périmaculaires.

On peut faire les mêmes remarques que pour le STARGARDT pur ; à ce stade la vision peut être très altérée, mais en général, elle est encore supérieure à 4/10.

**a<sup>2</sup> - Stade de début** : avec apparence granitée, reflets en « bave d'escargot », plages pigmentées et dépigmentées, petites taches blanc-jaunâtres périfovéolaires et maculaires.

**a<sup>3</sup> - Stade d'état** : avec de gros amas pigmentaires maculaires et remaniements maculaires importants (Obs. 53 - Fig. 63 - 64).

**a<sup>4</sup> - Stade terminal** : avec destruction maculaire et même chorio-rétinienne (Obs. 47 - Fig. 59 - 60). On observe également ici, des formes centro-périphériques avec lésions débordant largement la macula (Obs. 51 - Fig. 61 - 62).

#### b) Lésions flavimaculées

**b<sup>1</sup> - Lésions para et périmaculaires** : (Obs. 52 - Fig. 57). Elles s'identifient à celles du STARGARDT pur.

**b<sup>2</sup> - Lésions flavimaculées** :

- *couronne* de taches flavimaculées ovalaires à grand axe horizontal, située à un diamètre papillaire des berges de la macula (Obs. 53 - Fig. 63 - 64). Ces taches flavimaculées sont identiques aux autres taches plus périphériques. Elles sont beaucoup plus larges que les taches péri-





**Fig. 58 - Obs. 40 - O.D.**  
**Lésions périphériques flavimaculées**



**Fig. 59 - Obs. 47**  
**Destruction chorio-rétinienne maculaire**  
**Aspect identique à Henri N. Fig. 2**



**Fig. 60 - Obs. 47**  
**Fluorographie**



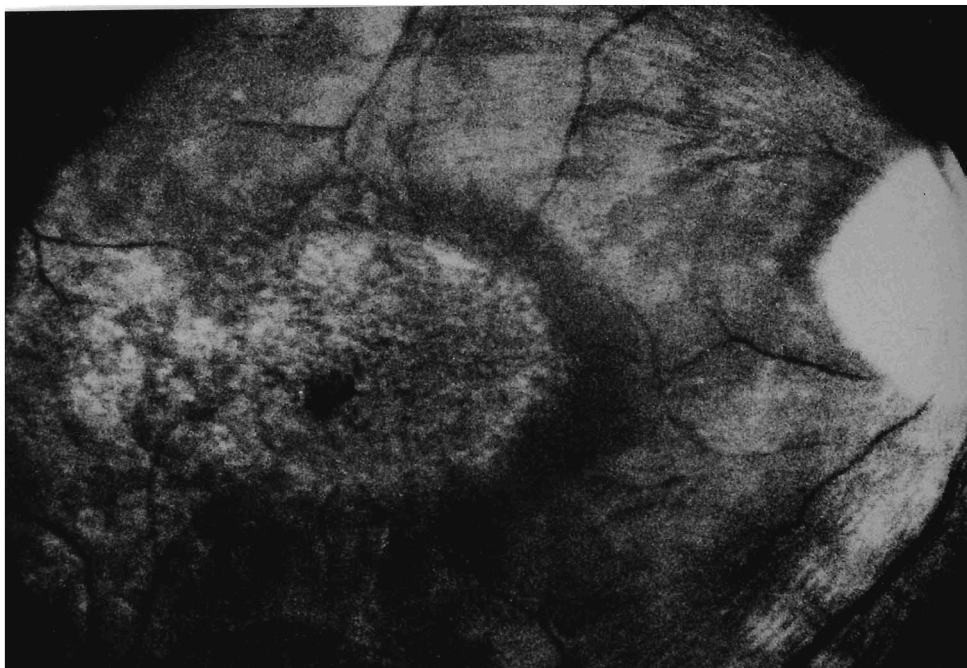


Fig. 61 - Obs. 51

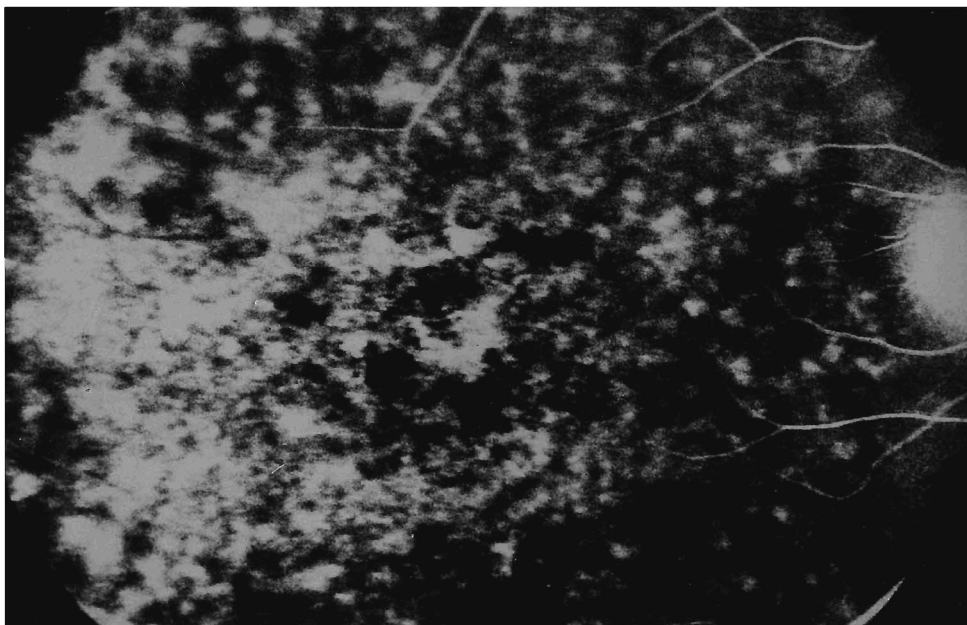


Fig. 62 - Obs. 51 - Fluorographie  
Dégénérescence centro-périphérique

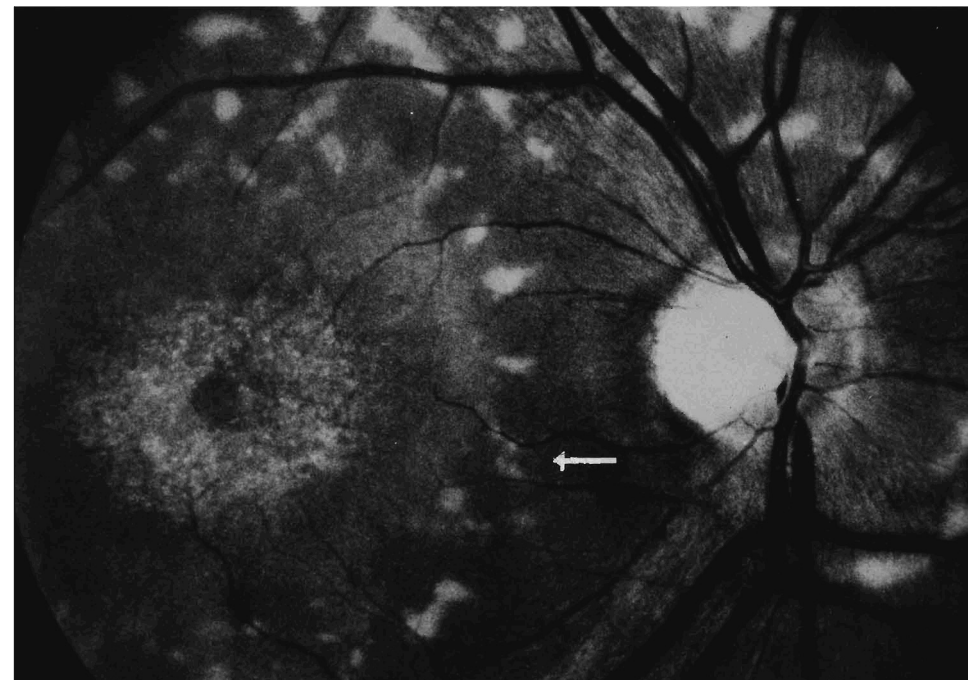


Fig. 63 - Obs. 53  
Lésions ophtalmoscopiques  
cf. Fluorographie Fig. 64

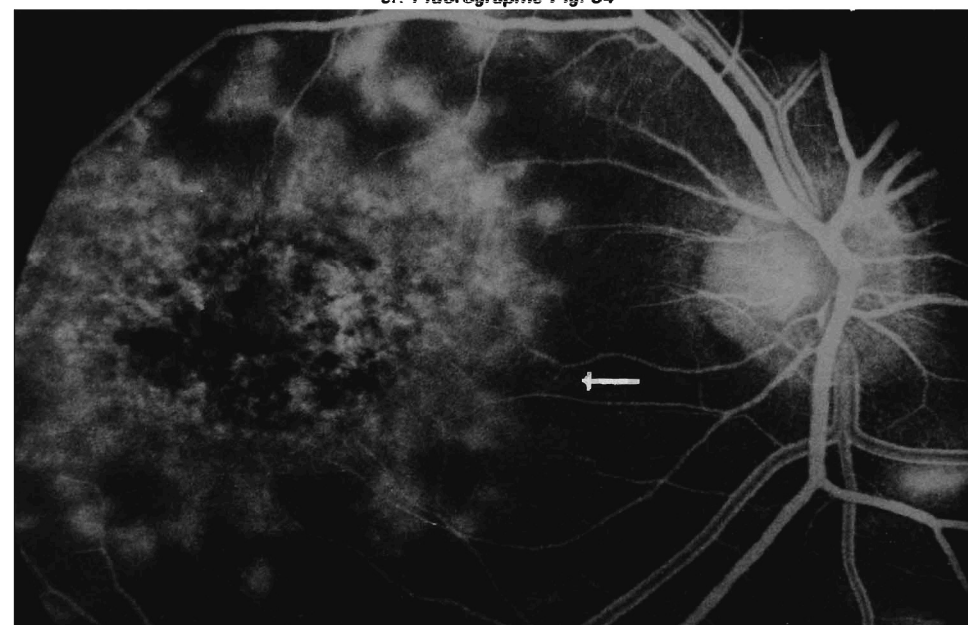


Fig. 64 - Obs. 53  
Lésions fluorographiques plus importantes  
et parfois non congruentes

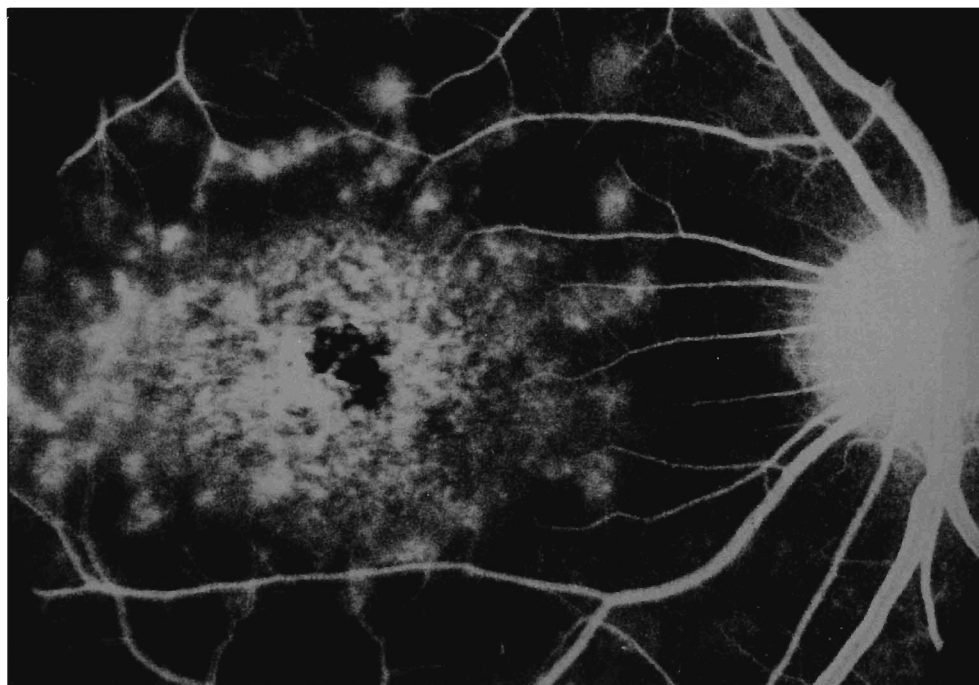


Fig. 65 - Obs. 42 - Fluorographie 1971

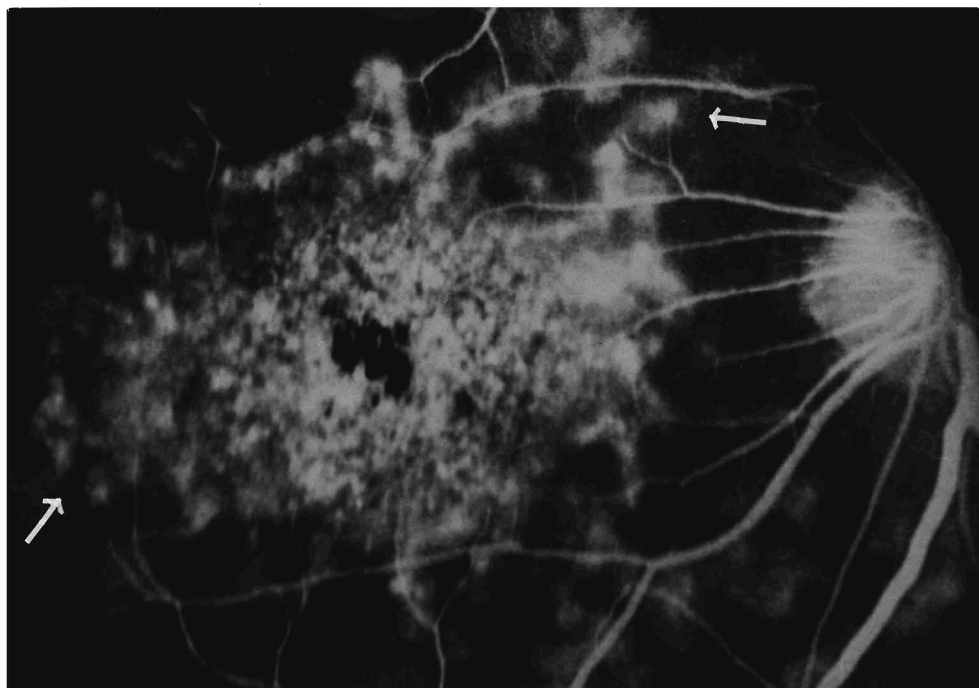


Fig. 66 - Obs. 42 - Fluorographie 1974  
Augmentation des taches flavimaculées  
certaines sont cependant moins visibles

maculaires et prennent volontiers l'aspect pisciforme ou en queue de poisson, contrairement aux taches périmaculaires qui sont plutôt arrondies.

Cette couronne disparaît, souvent noyée dans les taches multiples de Fundus Flavimaculatus. Comme les taches multiples dans les formes étendues du Fundus Flavimaculatus, elles sont jaunâtres, vitreuses, situées au-dessous des vaisseaux, leurs contours sont flous, elles peuvent être confluentes selon leur nombre, leur taille varie de 240 à 800 microns (KLIEN & KRILL-1967). Elles augmentent en nombre dans le temps (Obs. 42 - Fig. 65, 26-5-1971 ; Fig. 66, 2-2-1974).

En biomicroscopie, elles n'entraînent aucun soulèvement des lignes de profil et sont situées au niveau de l'épithélium pigmentaire.

- *lésions flavimaculées étendues* : associées à cette couronne en nombre plus ou moins important, on trouve les mêmes taches flavimaculées sur toute la rétine ; elles s'étendent jusqu'en périphérie ; leur forme et leur taille sont semblables aux taches flavimaculées de la couronne. Elles peuvent prendre une disposition en guirlande, un peu concentrique par rapport au pôle postérieur. Ceci est particulièrement visible sur les photomontages publiés par HOLLWICH-1962 & DEUTMAN-1971.

N.B. On peut, comme dans le STARGARDT pur, rencontrer parfois en périphérie de petits amas de pigments

#### c) Papilles et vaisseaux

Ils sont normaux au début. Lorsque la dégénérescence maculaire est importante, le secteur temporal de la papille se décolore.

### B - ASPECTS FLUOROGRAPHIQUES

L'angiographie fluorescéinique apparaît aussi importante dans le diagnostic de Fundus Flavimaculatus qu'elle ne l'était dans la maladie de STARGARDT. Elle permet le diagnostic alors même que les lésions ophtalmoscopiques sont à peine visibles (Obs. 43 - Fig. 55 - 56).

#### a) Lésions maculaires

Elles sont identiques à celles du STARGARDT pur : ocelle (Obs. 50 - Fig. 67), œil de plume de queue de paon (Obs. 52 - Fig. 68), petit œil de bœuf et œil de bœuf (Obs. 42 - Fig. 66).

L'anneau périmaculaire est peu visible, noyé parmi les lésions flavimaculées. La taille des taches périmaculaires peut parfois le rappeler (Obs. 41 - Fig. 69 - 70).

LÉSIONS EXTRA-MACULAIRES DU FUNDUS  
FLAVIMACULATUS EN ANGIOGRAPHIE FLUORESCÉINIQUE

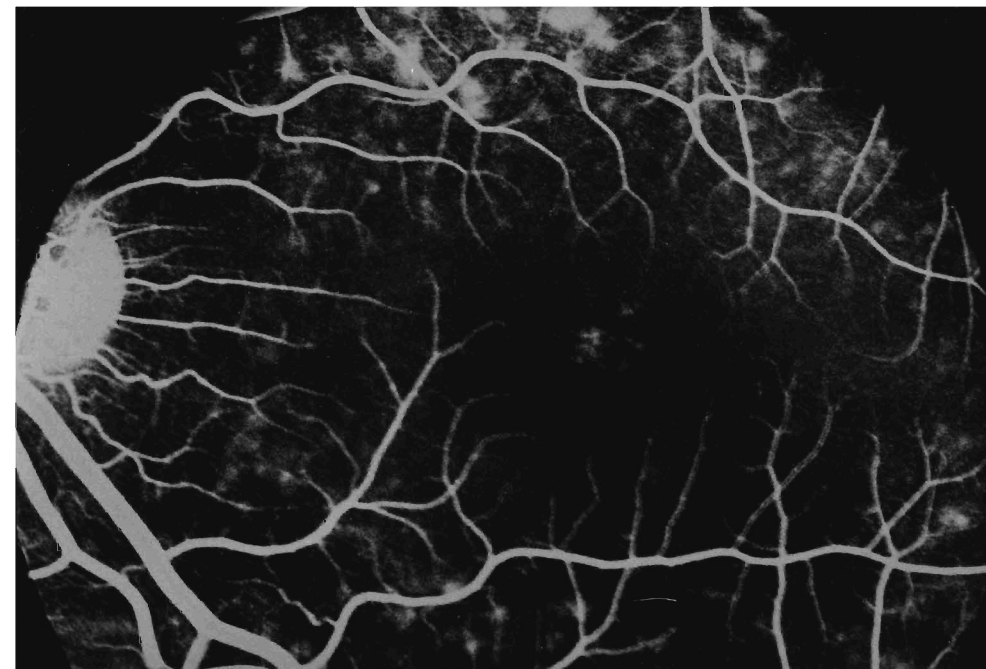
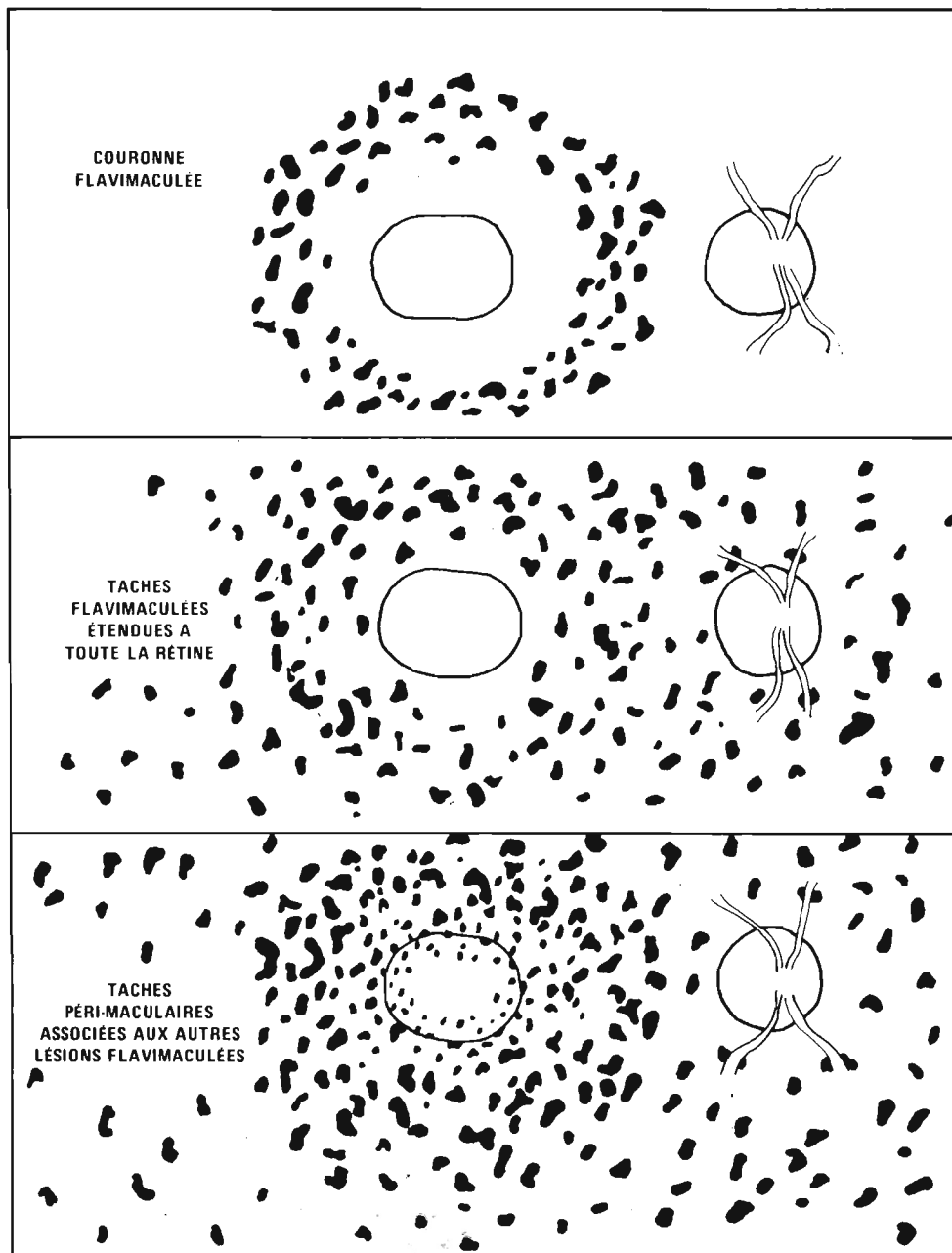


Fig. 67 - Obs. 50 - Fluorographie  
Fundus Flavimaculatus et Ocelle

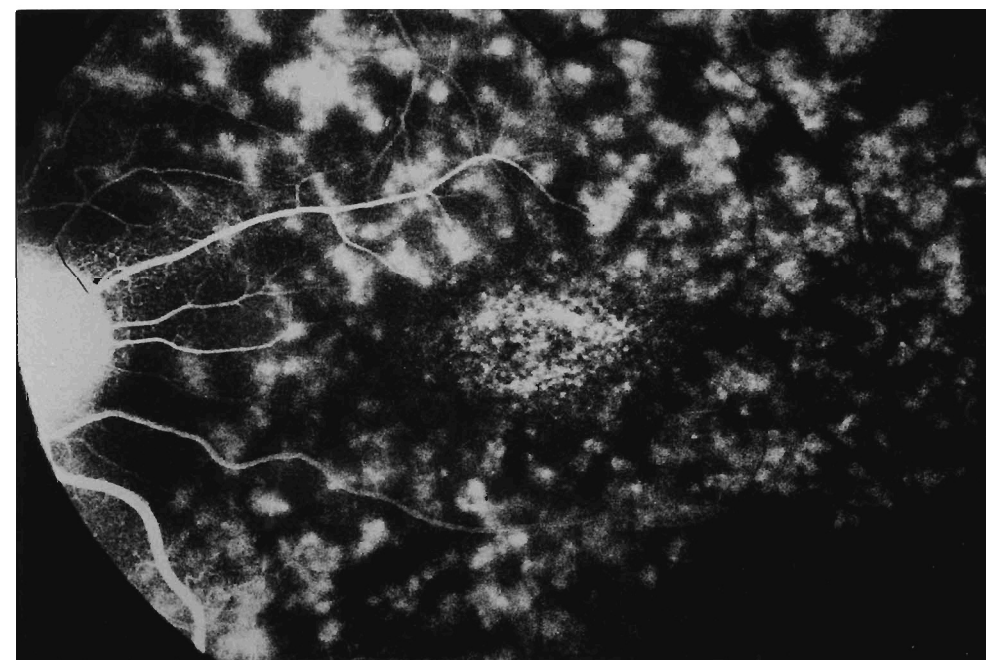


Fig. 68 - Obs. 52 - Fluorographie  
Fundus Flavimaculatus et «œil de bœuf»

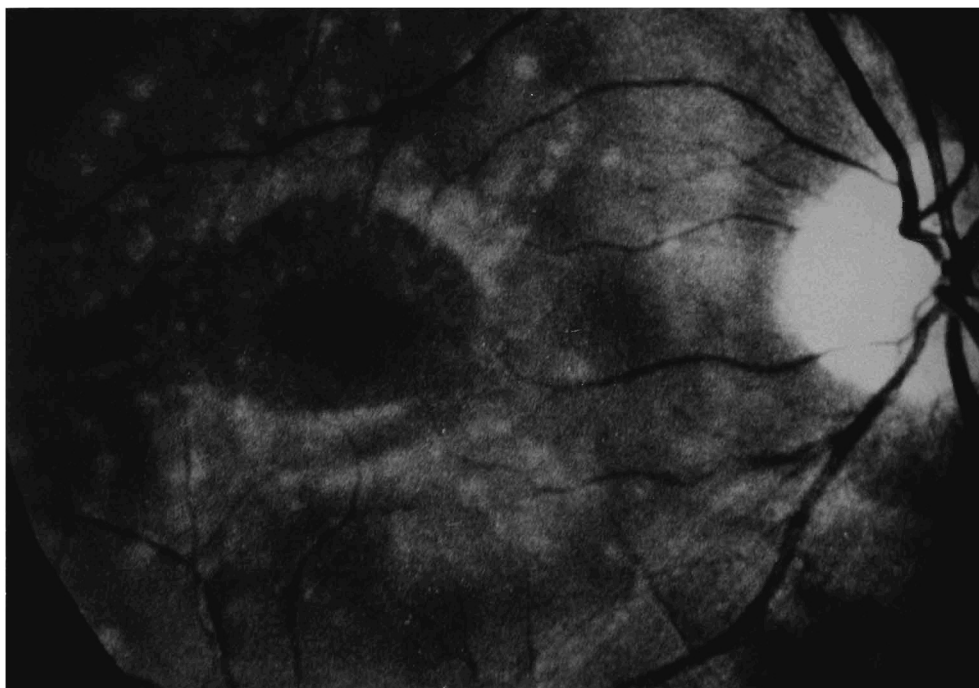


Fig. 69 - Obs. 41  
Voir Photomontage II

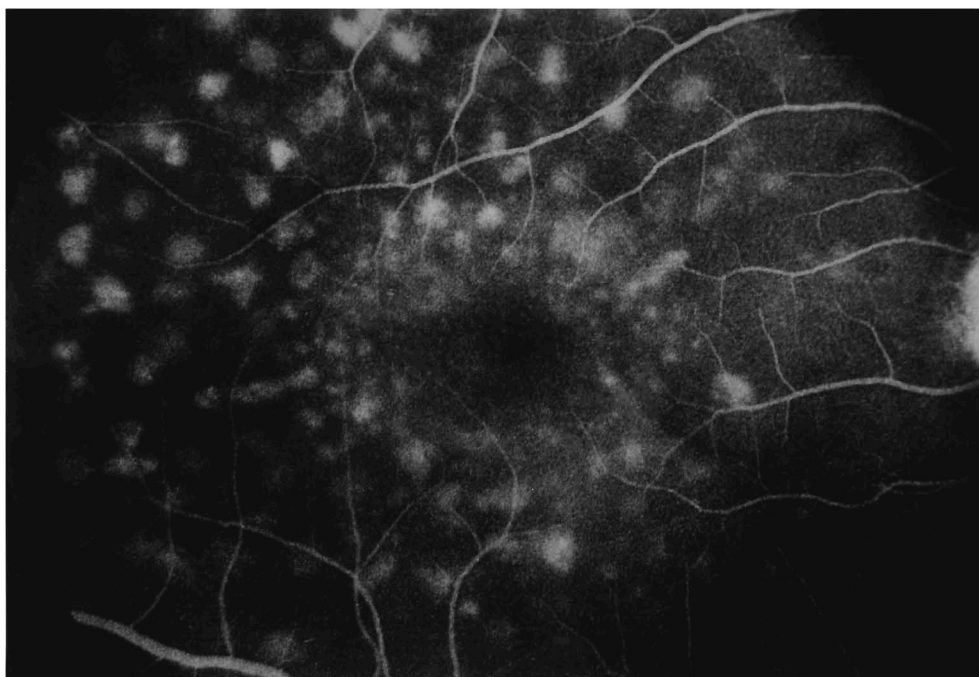


Fig. 70 - Obs. 41 - Fluorographie  
Lésions para et périmaculaires et  
Fundus Flavimaculatus

#### b) Lésions flavimaculées

Elles apparaissent comme des taches fluorescentes très visibles, dès le temps artériel, n'augmentant pas et ne diffusant pas le colorant. Elles sont les homologues des lésions ophtalmoscopiques à ceci près qu'elles sont souvent plus étendues et visibles que les lésions ophtalmoscopiques (Fig. 55 - 56). Leur forme est analogue à celle vue à l'ophtalmoscopie. Il en est de même pour leur disposition en couronne, ou éparse jusqu'à la périphérie.

Il n'y a pas de correspondance absolue entre la lésion jaunâtre flavimaculée, visible ophtalmoscopiquement, et la lésion fluorographique observée (Obs. 53 - Fig. 63 - 64). Cette remarque a déjà été faite par différents auteurs (KLIEN & KRILL-1967, AMALRIC & Coll.-1968). Ces faits rejoignent ceux observés en fluorographie pour les lésions périmaculaires et l'explication pathogénique reste pour nous la même.

#### c) Silence choroïdien

Il existe aussi, comme dans le STARGARDT pur, un silence choroïdien une fois sur deux. Il renforce le contraste entre le fond noir et les lésions flavimaculées.

#### d) Fundus Flavimaculatus avec macula normale en fluorographie

Il a été observé une fois (Obs. 34 - Fig. 55 - 56). Nous reviendrons ultérieurement sur ce tableau.

#### EN CONCLUSION

*Il nous apparaît que les lésions ophtalmoscopiques et fluorographiques de FUNDUS FLAVIMACULATUS sont concentriques à la foveola et à la macula, et qu'il existe une similitude parfaite des lésions maculaires et périmaculaires de la maladie de STARGARDT et du FUNDUS FLAVIMACULATUS.*

# 3- ACUITE VISUELLE

Le début des deux affections, STARGARDT et FUNDUS FLAVIMACULATUS, étant progressif et survenant dans le jeune âge, il est exceptionnel d'observer des sujets dont l'acuité visuelle soit parfaitement normale.

La vision, après les premiers troubles visuels ressentis, met quelques années pour tomber à 1/10 et parfois moins. A l'interrogatoire, quelques patients se plaignent d'une altération brutale récente. Ces à-coups n'ont pas été confirmés chez les sujets que nous avons suivis plusieurs années, au contraire, il arrive que l'acuité visuelle se stabilise quelques années (Obs. 3 - 21 - 30 - 53).

Avec l'extension des lésions au pôle postérieur, le scotome central s'élargit et l'acuité visuelle continue à baisser, mais il est exceptionnel d'observer une cécité totale. La plus mauvaise acuité visuelle était chez un de nos patients de 1/50, tous les autres avaient une vision supérieure ou égale à 1/20.

Nous envisagerons l'acuité visuelle :

- lors de la découverte de la maladie
- au stade évolué
- en fonction des lésions fluorographiques
- en fonction de l'âge des sujets.

## A - ACUITÉ VISUELLE LORS DE LA DÉCOUVERTE DE LA MALADIE

Nous avons noté au premier examen :

### a) POUR LES STARGARDT

- 10/10 d'un œil (Obs. 26 - 29)
- 8/10 du meilleur œil (Obs. 4 - 8 - 10 - 14)
- 6 à 7/10 du meilleur œil (Obs. 6 - 11 - 21 - 23 - 31 - 37).

Un tiers des cas ont donc une vision de 6 à 10/10 du meilleur œil au premier examen.

### b) POUR LES FUNDUS FLAVIMACULATUS

- 8/10 du meilleur œil (Obs. 53)
- 5/10 du meilleur œil (Obs. 58)
- 4/10 du meilleur œil (Obs. 43)

Tous les autres cas avaient entre 1 et 2/10 d'acuité visuelle. Il ressort donc de cette étude que le FUNDUS FLAVIMACULATUS se présente avec une altération visuelle plus marquée dès le premier examen.

Tableau 6

| Acuité visuelle en dixièmes - 120 yeux | < | 1 | 1  | 2  | 3 | 4 | 5 | 6 | 7 | 8 | 9 | 10 |
|----------------------------------------|---|---|----|----|---|---|---|---|---|---|---|----|
| STARGARDT 76 yeux                      | < | 7 | 25 | 11 | 3 | 9 | 4 | 7 | 3 | 4 | 1 | 2  |
| Fundus Flavimaculatus 44 yeux          | < | 9 | 23 | 8  |   | 1 | 1 |   | 1 | 1 |   |    |

## B - ACUITÉ VISUELLE AU STADE ÉVOLUÉ

Il est classique de dire que le malade de STARGARDT ne devient jamais totalement aveugle. L'acuité visuelle est rarement inférieure à 1/20, elle se situe en général entre 1/20 et 1/10, la vision de près reste à PARINAUD 6 ou PARINAUD 8. Les sujets conservent donc une acuité visuelle de près longtemps utile.

## C - ACUITÉ VISUELLE EN FONCTION DE L'ASPECT FLUOROGRAPHIQUE

Nous présentons, sur plusieurs tableaux, en fonction des lésions fluorographiques, l'acuité visuelle et l'âge de la maladie. (Tableaux 7 et 8 - 9 et 10).

Cette étude confirme les idées de STARGARDT et de nombreux auteurs sur l'évolution de l'affection :

- Les formes les plus récentes sont celles localisées à la périfovéola (*type ocelle*), elles ont un âge présumé d'évolution de trois ans, en moyenne, au premier examen. Après six ans d'évolution, elles conservent une acuité visuelle de 3/10 à 4/10.

- L'œil de bœuf vient ensuite, il correspond au premier examen à environ neuf ans d'évolution. La vision restante, après 13 ans d'évolution, aux environs de 1,2/10, reste cependant supérieure au dixième.

Tableaux 7 et 8

## ACUITÉ, ASPECT FLUOROGRAPHIQUE ÉVOLUTION

| OBSERVATION   | ACUITÉ VISUELLE<br>AU PREMIER<br>EXAMEN | ACUITÉ VISUELLE<br>AU DERNIER<br>EXAMEN | DURÉE<br>D'OBSERVATION | AGE DE<br>L'AFFECTION<br>AU DERNIER<br>EXAMEN |
|---------------|-----------------------------------------|-----------------------------------------|------------------------|-----------------------------------------------|
| OCELLE        |                                         |                                         |                        |                                               |
| 1             | 2/10 2/10                               | 2/10 2/10                               | 1 an                   | 5 ans                                         |
| 3             | 5/10 2/10                               | 5/10 1,4/10                             | 5 ans                  | 6 ans                                         |
| 8             | 8/10 9/10                               | 5/10 5/10                               | 2 ans                  | 8 ans                                         |
| 9             | 4/10 4/10                               | 4/10 2/10                               | 2 ans                  | 12 ans                                        |
| 10            | 8/10 5/10                               | 7/10 6/10                               | 2 ans                  | 3 ans                                         |
| 11            | 6/10 7/10                               | 2/10 2/10                               | 4 ans                  | 6 ans                                         |
| 14            | 7/10 8/10                               | 7/10 8/10                               | 1 an                   | 1 an                                          |
| 18            | 4/10 1/10                               | 4/10 1/10                               | 1 an                   | 20 ans                                        |
| 20            | 2/10 1/10                               | 1/10 1/10                               | 3 ans                  | 5 ans                                         |
| 21            | 7/10 5/10                               | 7/10 5/10                               | 6 ans                  | 6 ans                                         |
| 23            | 6/10 3/10                               | 6/10 3/10                               | 1 an                   | 2 ans                                         |
| 30            | 2/10 5/10                               | 2/10 5/10                               | 4 ans                  | 4 ans                                         |
| MOYENNE       | 4,7/10                                  | 3,8/10                                  | 3 ans                  | 6 ans                                         |
| OEIL DE BOEUF |                                         |                                         |                        |                                               |
| 2             | 1/10 1/50                               | ≤1/50 ≤1/50                             | 10 ans                 | 31 ans                                        |
| 4             | 6/10 8/10                               | 6/10 8/10                               | 1 an                   | 1 an                                          |
| 5             | 1/10 1/10                               | 1/10 1/10                               | 1 an                   | 7 ans                                         |
| 16            | <1/10 2/10                              | <1/20 1/20                              | 2 ans                  | 32 ans                                        |
| 17            | 3/10 4/10                               | 1/10 1/10                               | 10 ans                 | 13 ans                                        |
| 22            | 2/10 1/10                               | 2/10 1/10                               | 1 an                   | 1 an                                          |
| 24            | ≤1/50 ≤1/50                             | ≤1/50 ≤1/50                             | 2 ans                  | 35 ans                                        |
| 25            | 5/10 3/10                               | 1/15 1/10                               | 10 ans                 | 10 ans                                        |
| 27            | 1/10 1/10                               | 1/10 1/10                               | 1 an                   | 1 an                                          |
| 28            | ≤1/50 1,5/10                            | ≤1/50 1,5/10                            | 9 ans                  | 21 ans                                        |
| 32            | 1/10 1/10                               | 1/10 1/10                               | 1 an                   | 2 ans                                         |
| 35            | 1/20 1/10                               | 1/20 1/10                               | 2 ans                  | 18 ans                                        |
| 36            | 1/10 1/10                               | 1/10 1/10                               | 1 an                   | 1 an                                          |
| 38            | 4/10 4/10                               | 1/10 1/10                               | 6 ans                  | 6 ans                                         |
| 39            | 1/10 1/10                               | 1/10 1/10                               | 1 an                   | 4 ans                                         |
| MOYENNE       | 2/10                                    | 1,2/10                                  | 4 ans                  | 13 ans                                        |

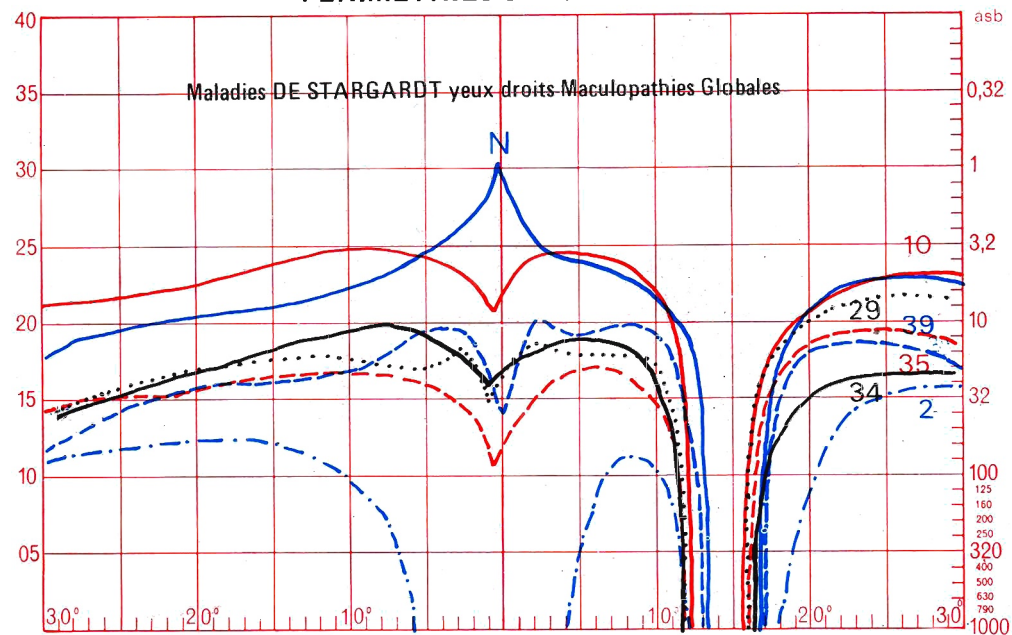
Tableaux 9 et 10

## ACUITÉ, ASPECT FLUOROGRAPHIQUE, ÉVOLUTION

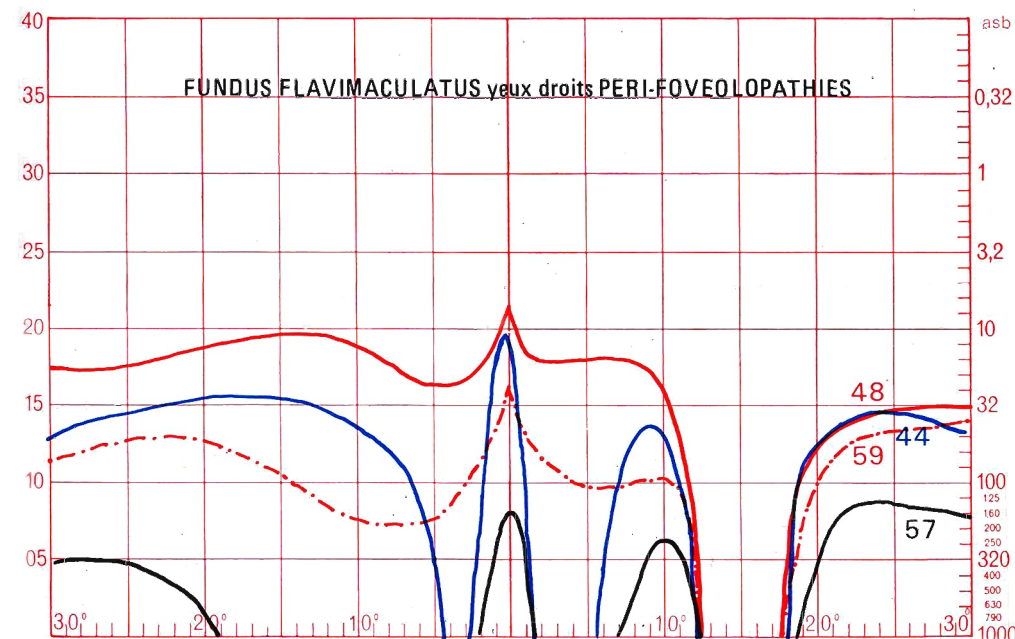
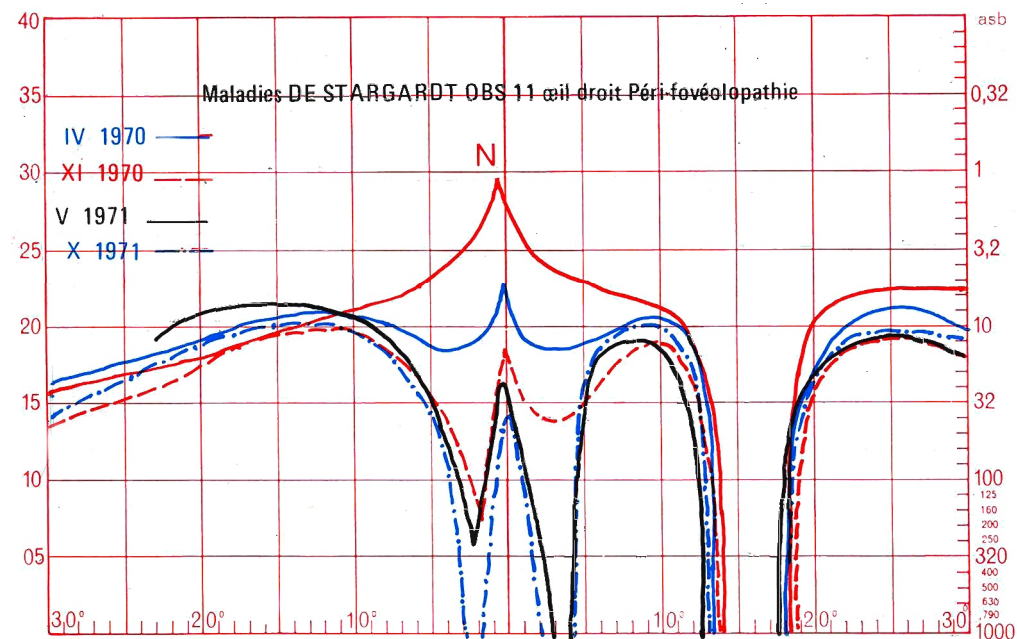
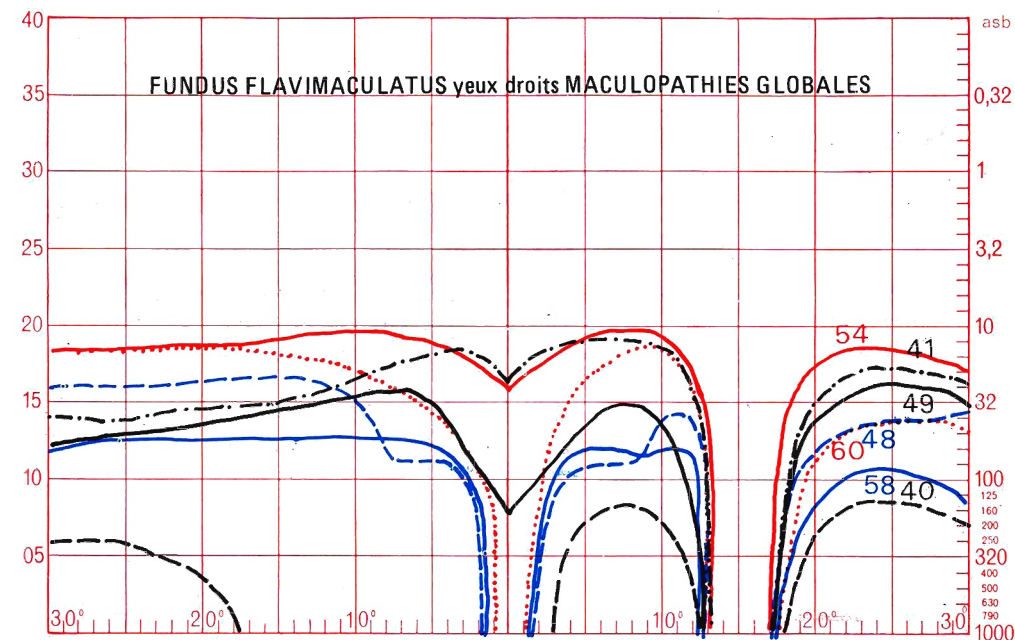
| OBSERVATION                                                                                                   | ACUITÉ VISUELLE<br>AU PREMIER<br>EXAMEN | ACUITÉ VISUELLE<br>AU DERNIER<br>EXAMEN | DURÉE<br>D'OBSERVATION | AGE DE<br>L'AFFECTION<br>AU DERNIER<br>EXAMEN |
|---------------------------------------------------------------------------------------------------------------|-----------------------------------------|-----------------------------------------|------------------------|-----------------------------------------------|
| DÉGÉNÉRESCENCE CENTRO-PÉRIPHÉRIQUE<br>FORME AVEC DÉGÉNÉRESCENCE ATROPHIQUE DE LA MACULA ET DU POLE POSTÉRIEUR |                                         |                                         |                        |                                               |
| 26                                                                                                            | 10/10 1/50                              | 1/10 1/50                               | 8 ans                  | + 8 ans                                       |
| 33                                                                                                            | 2/10 1/10                               | 1/20 1/30                               | 14 ans                 | 25 ans                                        |
| MOYENNE                                                                                                       | 3/10                                    | 1/20                                    | 11 ans                 | 16 ans                                        |
| FUNDUS FLAVIMACULATUS                                                                                         |                                         |                                         |                        |                                               |
| 40                                                                                                            | 1/10 1/10                               | 1/10 1/10                               | 13 ans                 | 13 ans                                        |
| 41                                                                                                            | 2/10 2/10                               | 2/10 2/10                               | 1 an                   | 1 an                                          |
| 42                                                                                                            | 1/10 1/10                               | 1/10 1/10                               | 7 ans                  | 18 ans                                        |
| 43                                                                                                            | 1/10 4/10                               | 1/10 3/10                               | 1 an                   | 2 ans                                         |
| 44                                                                                                            | 1/10 1/10                               | 1/15 1/10                               | 5 ans                  | 5 ans                                         |
| 45                                                                                                            | 1/50 1/10                               | 1/50 1/10                               | 1 an                   | 20 ans                                        |
| 46                                                                                                            | 1/10 1/10                               | 1/10 1/10                               | 1 an                   | 5 ans                                         |
| 47                                                                                                            | 1/10 1/15                               | 1/20 1/15                               | 6 ans                  | 29 ans                                        |
| 48                                                                                                            | 1/20 1/15                               | 1/20 1/15                               | 1 an                   | 15 ans                                        |
| 49                                                                                                            | 1/30 1/20                               | 1/30 1/20                               | 1 an                   | 1 an                                          |
| 50                                                                                                            | 2/10 2/10                               | 2/10 2/10                               | 1 an                   | 1 an                                          |
| 51                                                                                                            | 1/10 2/10                               | 1/10 1/10                               | 3 ans                  | 14 ans                                        |
| 52                                                                                                            | 1/10 1/15                               | 1/10 1/25                               | 5 ans                  | 6 ans                                         |
| 53                                                                                                            | 8/10 7/10                               | 7/10 6/10                               | 6 ans                  | 6 ans                                         |
| 54                                                                                                            | 1/10 1/10                               | 1/15 1/12                               | 8 ans                  | 9 ans                                         |
| 55                                                                                                            | 2/10 2/10                               | 2/10 2/10                               | 1 an                   | 4 ans                                         |
| 56                                                                                                            | 1/15 2/10                               | 1/40 1/15                               | 2 ans                  | 2 ans                                         |
| 57                                                                                                            | 1/10 1/10                               | 1/10 1/10                               | 4 ans                  | 4 ans                                         |
| 58                                                                                                            | 1/10 7/10                               | 1/10 5/10                               | 2 ans                  | 10 ans                                        |
| 59                                                                                                            | 1/10 1/10                               | 1/10 1/10                               | 8 ans                  | 8 ans                                         |
| 60                                                                                                            | 1/10 1/10                               | 1/10 1/10                               | 1 an                   | 13 ans                                        |
| 61                                                                                                            | 1/10 1/15                               | 1/10 1/15                               | 1 an                   | 1 an                                          |
| MOYENNE                                                                                                       | 1,5/10                                  | 1,3/10                                  | 3,5 ans                | 8,5 ans                                       |



# PERIMETRIES STATIQUES



# PERIMETRIES STATIQUES



- La **dégénérescence atrophique du pôle postérieur**, ou centro-périphérique, est un stade ultime qui correspond à 16 ans ou plus d'évolution, la vision résiduelle, égale ou inférieure à 1/20, est très altérée.

- Le **Fundus Flavimaculatus**, avec un âge moyen de cinq années, ne présente une vision restante que de 1,3/10 en 9 ans d'évolution. Il se situe au niveau des STARGARDT purs avec *œil de bœuf*, ce qui doit être considéré comme un stade déjà sévère.

Ces examens comparatifs permettent de conclure :

- que le STARGARDT est une affection lentement progressive, mais dont l'évolution semble plus lente que ce qui est admis classiquement
- que le début réel précède toujours le moment où l'affection est diagnostiquée de quelques mois ou années
- que les formes flavimaculées présentent une évolution plus rapide et plus sévère que les formes pures de STARGARDT.

D - ACUITÉ VISUELLE EN FONCTION DE L'ÂGE DU MALADE

Tableau 11

| MALADIE DE STARGARDT  |                               |                                   |               |
|-----------------------|-------------------------------|-----------------------------------|---------------|
| AGE AU<br>1er EXAMEN  | ACUITÉ VISUELLE<br>1er EXAMEN | ACUITÉ VISUELLE<br>DERNIER EXAMEN | NOMBRE D'YEUX |
| avant 10 ans          | 1,25/10                       | 1/10                              | 4             |
| 10 à 20               | 3,4/10                        | 1,7/10                            | 24            |
| 20 à 30               | 3,1/10                        | 2,3/10                            | 24            |
| 30 à 40               | 3,5/10                        | 3,5/10                            | 12            |
| 40 et +               | 2,1/10                        | 1,2/10                            | 12            |
| FUNDUS FLAVIMACULATUS |                               |                                   |               |
| AGE AU<br>1er EXAMEN  | ACUITÉ VISUELLE<br>1er EXAMEN | ACUITÉ VISUELLE<br>DERNIER EXAMEN | NOMBRE D'YEUX |
| avant 10 ans          |                               |                                   |               |
| 10 à 20               | 1,2/10                        | 0,9/10                            | 20            |
| 20 à 30               | 1,2/10                        | 0,9/10                            | 10            |
| 30 à 40               | 4/10                          | 3,7/10                            | 4             |
| 40 et +               | 1,7/10                        | 1,1/10                            | 8             |

Pour la **MALADIE DE STARGARDT**, les formes de l'adulte jeune et les formes tardives peuvent être opposées aux formes juvéniles, ces dernières ayant une acuité visuelle beaucoup plus altérée au premier examen.

Pour les **FUNDUS FLAVIMACULATUS**, l'acuité visuelle du premier examen est déjà très altérée et ne varie que peu au cours de notre période d'observation (excepté la tranche d'âge de 30 à 40 ans, qui n'est représentée que par deux sujets dont l'un possède une acuité visuelle très stable (Obs. 53), malgré les lésions fluorographiques très importantes (Fig. 63 - 64).

E - ACUITÉ VISUELLE DYNAMIQUE

Pour BESSIERE & Coll, en 1969, qui ont utilisé le procédé de l'acuité visuelle dynamique chez des malades présumés de STARGARDT, cet examen serait très précocement perturbé. L'altération des cônes maculaires commencerait bien avant la chute d'acuité visuelle et l'exploration dynamique des cônes présenterait un intérêt particulier pour le diagnostic précoce de l'affection dans les cas douteux. Pour DELPEUCH D., cet examen aurait permis le diagnostic chez douze malades, avec acuité visuelle parfaitement conservée en photopique. Cet auteur a même trouvé une famille où le père de 54 ans et deux de ses fils de 12 et 17 ans auraient été porteurs de la maladie de STARGARDT, bien que l'acuité visuelle en photopique ait été strictement normale pour tous.

N'ayant pu pratiquer cet examen, nous laissons à leurs auteurs la responsabilité de leurs affirmations.



## 4 CHAMP VISUEL

La sensibilité différentielle a été étudiée par les méthodes classiques et en périmétrie statique.

### A - L'EXPLORATION PAR LES MÉTHODES DE BJERRUM, GOLDMAN & FRIEDMAN

Ces méthodes n'apportent que des renseignements peu exploitables sur le déficit central. On constate cependant que :

1 - Les isoptères périphériques conservent des limites normales dans le STARGARDT, mais aussi dans le FUNDUS FLAVIMACULATUS.

2 - L'exploration du champ central montre un scotome central arrondi ou ovalaire, parfois relatif, parfois absolu. Il faut, cependant, ne pas attacher trop de valeur à cette recherche car les techniques sont entachées d'erreurs ou difficiles à réaliser du fait de l'existence d'un scotome central souvent très petit, au maximum de 6 à 10°, ou parfois annulaire avec la persistance d'un petit îlot visuel central de 1 à 2°.

Ce scotome est enfin plus marqué au rouge (STARGARDT-1909-1913-1916-1917-, BEHR-1920, MORELLI-1924 ...).

### B - PÉRIMÉTRIE STATIQUE (HARMS)

Elle permet d'étudier et de mesurer la sensibilité lumineuse différentielle liminaire rétinienne de tout point rétinien. Elle apparaît comme la meilleure méthode d'exploration sensorielle centrale. Elle est pratiquée sur le méridien 0-180° passant par la tache aveugle et le point de fixation ; l'exploration s'étend sur les 30° de part et d'autre du point de fixation. Le test lumineux de dix minutes de diamètre est projeté pendant une seconde sur la coupole dont la luminance est de 10 apostilbs. La luminance du test est accrue progressivement jusqu'à ce que le test soit distingué. La variation de la luminance du test se fait selon une échelle logarithmique.

En vision photopique, la sensibilité lumineuse de la rétine décroît de la fovéola à la périphérie. (Courbe de type normal N). Elle diminue rapidement jusqu'à 5° de part et d'autre du point de fixation puis beaucoup plus lentement. Le scotome absolu entre 12° et 18° correspond à la tache aveugle.

La majorité des maladies de STARGARDT et de FUNDUS FLAVIMACULATUS étant examinées à un stade tardif (1/10 de vision), le déficit central est difficilement analysable. Seules les formes de début permettent de se rendre compte de l'évolution réelle du déficit sensoriel central.

Les altérations observées sont identiques pour les STARGARDT et pour les FUNDUS FLAVIMACULATUS. Nous avons dégagé de cette étude deux types de courbes :

- les atteintes maculaires globales
- les atteintes périfovéolaires.

Nous les envisageons en fonction de l'aspect évolutif de l'affection d'abord dans les formes dites de début avec une vision supérieure à 4/10 (17 cas), ensuite dans les formes plus évoluées.

#### a) Formes de début

a<sup>1</sup> - Formes avec atteinte maculaire globale : la diminution de la sensibilité est répartie sur toute la région maculaire, la périmétrie de profil confirme d'abord l'altération maculaire plus ou moins symétrique par rapport au point de fixation et sur chaque œil, de plus elle permet de juger de la gravité de ce scotome lorsque la sensibilité est faiblement, moyennement ou gravement diminuée.

a<sup>2</sup> - Formes avec atteinte périfovéolaire : il persiste un pic fovéolaire un peu abaissé : de chaque côté du pic se creuse un déficit relatif qui va s'approfondir progressivement ; ce déficit correspond à un scotome annulaire à 3° de chaque côté du point de fixation.

Les formes de début, sans lésion fluorographique maculaire, (Obs. 37 et 43) présentent une altération de ce type.

Nous reproduisons, superposées sur un seul graphique, quatre périmétries de l'Obs. 11, échelonnées sur un an et demi. Sur ce graphique, le déficit périfovéolaire évolutif est particulièrement net. Ce sujet a d'ailleurs fait l'objet d'une publication avec son frère (Obs. 11) et sa sœur (Obs. 42) (FRANCOIS P. & Coll. 1973). (1)

#### b) Formes évoluées

Les déficits se confirment et le scotome central relatif s'approfondit et s'élargit pour devenir parfois absolu et s'étendre en largeur jusqu'à 15° dans les formes les plus sévères.

(1) PASSMORE & ROBERTSON-1975 pensent être les premiers à décrire dans le FUNDUS FLAVIMACULATUS l'existence d'un scotome annulaire. Nous mentionnons ici, en 1975, l'existence de ce scotome plus d'une fois sur deux chez nos malades (Tableau 14). Ce scotome annulaire et le FUNDUS FLAVIMACULATUS ont été décrits à Lille depuis 1972. (Note de l'auteur, 1976).

Tableau 12

TYPE DU SCOTOME ET AFFECTION

|                       | PÉRI-FOVÉOLOPATHIE<br>ET SCOTOME CENTRAL<br>RELATIF | SCOTOME CENTRAL<br>RELATIF | SCOTOME CENTRAL<br>ABSOLU |
|-----------------------|-----------------------------------------------------|----------------------------|---------------------------|
| MALADIE DE STARGARDT  | 24                                                  | 23                         | 2                         |
| FUNDUS FLAVIMACULATUS | 10                                                  | 8                          | 8                         |

Pour BESSIERE & Coll., la périmétrie statique montrerait fréquemment des encoches plus ou moins irrégulières sur la pente inter-papillo-maculaire ; ces altérations associées à d'autres (aspect «optique» de l'acuité visuelle dynamique, électro-encéphalogramme perturbé, dyschromatopsie vert-rouge de type 1) leur ont permis de conclure à un processus neuro-rétinien.

Nous n'avons pas retrouvé ces encoches et, au contraire, nos périmétries montrent l'atteinte rétinienne centrale et le respect de la sensibilité inter-papillo-maculaire.

c) Variations en fonction de l'acuité visuelle et des lésions fluorographiques

Il est intéressant de comparer deux types de déficit observés (Tableaux 13 et 14) :

- avec le taux de l'acuité visuelle
- avec l'aspect fluorographique.

1) Déficit en comparaison avec l'acuité visuelle : il est normal que l'acuité visuelle soit meilleure dans les scotomes périphériques ; de même lorsque la sensibilité centrale diminue et que le scotome augmente en taille et en intensité, il est normal que la vision s'aggrave.

2) Déficit en comparaison de l'aspect fluorographique : bien que le scotome annulaire périphérique apparaisse comme une forme de début de l'affection, puisque nous le rencontrons dans les formes sans traduction fluorographique et dans les formes à acuité visuelle assez bien conservée, pour l'ensemble de nos cas, l'étude statistique ne fait pas ressortir une correspondance absolue entre l'altération fluorographique et le déficit périmétrique. (Tableau 14).

Tableau 13

TYPE DU SCOTOME ET ACUITÉ

| NOMBRE D'YEUX<br>EXAMINÉS | TYPE DE<br>SCOTOME                                      | ACUITÉ VISUELLE<br>MOYENNE |
|---------------------------|---------------------------------------------------------|----------------------------|
| 34                        | Scotome central<br>relatif et scotome<br>périfovéolaire | 3,7/10                     |
| 31                        | Scotome central<br>relatif                              | 1,5/10                     |
| 10                        | Scotome central<br>absolu                               | 1 /10                      |
| 4                         | Ininterprétables                                        |                            |

EN CONCLUSION

La périmétrie statique apparaît comme la méthode de choix dans l'exploration du déficit sensoriel des STARGARDT. Elle permet de localiser le déficit initial, de suivre son évolution, enfin de différencier le STARGARDT d'une atteinte névritique éventuelle.

Tableau 14

TYPE DU SCOTOME ET LÉSIONS FLUOROGRAPHIQUES

| TYPE DE SCOTOME                                                              | OCELLE | OEIL DE<br>BOEUF | LÉSIONS FLUOROGRAPHIQUES<br>ÉTENDUES | FUNDUS<br>FLAVIMACULATUS |
|------------------------------------------------------------------------------|--------|------------------|--------------------------------------|--------------------------|
| 10 scotomes<br>centraux absolus                                              |        | 4                | 6                                    | dont 4                   |
| 31 scotomes<br>centraux relatifs<br>(2 cas sans fluo)                        | 12     | 11               | 6                                    | dont 6                   |
| 34 scotomes<br>péri-fovéolaires<br>(4 cas sans lésion à<br>la fluorographie) | 16     | 12               | 2                                    | dont 12                  |

# 5 VISION CHROMATIQUE

La vision des couleurs est altérée très précocement (STARGARDT-1909, LANDOLT-1953, GUETZNER-1961, VERRIEST-1964 . . . ) il s'agit au tout début d'un très petit scotome central au rouge précédant même le scotome blanc ; la vision des couleurs périphériques restant parfaitement normale (STARGARDT-1909-1913-1916-1917, BEHR-1920, MORELLI-1924. . . ). L'étude du champ visuel coloré étant diversement appréciée quant à sa valeur sémiologique, nous ne l'avons pas pratiquée et ne pouvons confirmer ces constatations.

Nous avons étudié le sens chromatique à l'aide des tests de FARNWORTH 15 & 100 HUE, ROTH 28 HUE et à l'anomaloscope de NAGEL (choix des tests selon l'acuité visuelle restante).

Nos résultats confirment les notions déjà connues sur la Maladie de STARGARDT et le Fundus Flavimaculatus avec altération maculaire. Il existe le plus souvent une dyschromatopsie acquise d'axe rouge-vert de Type I (selon la classification des dyschromatopsies acquises de VERRIEST) qui correspond à une atteinte élective du système photopique. Lorsque la dégénérescence maculaire est très évoluée, le déficit chromatique s'aggrave et peut aller jusqu'à l'achromatopsie. Plus rarement, dans les formes centropériphériques, il peut exister une dyschromatopsie de type bleu-jaune (DEUTMAN-1971). Nous présentons nos résultats sur le tableau 15 avec de sérieuses réserves pour les cas où la vision est dite «normale» : les seuls tests utilisés dans ces cas (15, 28, 100 HUE) n'ayant probablement pas été assez fins pour détecter le déficit central très localisé.

Tableau 15

VISION DES COULEURS

| NOMBRE D'YEUX                                      | STARGARDT | FUNDUS FLAVIMACULATUS |
|----------------------------------------------------|-----------|-----------------------|
| Normale                                            | 14        | 10                    |
| Sans axe légèrement altérée                        | 4         | 2                     |
| Sans axe moyennement altérée                       | 4         | 2                     |
| Sans axe sévèrement altérée                        | 2         | 2                     |
| Axe rouge-vert - légèrement et moyennement altérée | 22        | 16                    |
| Axe rouge-vert sévèrement altérée                  | 14        | 2                     |
| Axe bleu-jaune                                     | 4         | 4                     |

# 6 L'ADAPTATION à L'OBSCURITE

Classiquement, elle est entièrement normale dans la maladie de STARGARDT, lorsque la dégénérescence est limitée à la macula. Nous l'avons pratiquée pour notre observation 31 où elle s'est révélée normale. Dans les formes centro-périphériques, un léger retard peut être observé pour les portions photopiques et scotopiques de la courbe (DEUTMAN-1971).

Les Fundus Flavimaculatus de nos observations 54 et 56 ont des courbes également normales. Pour la littérature, celles-ci sont tantôt normales, tantôt légèrement perturbées. KLIEN & KRILL, en 1967, ont trouvé sur 22 de leurs 23 sujets une légère perturbation (retard du point  $\alpha$  surtout).

# 7 ELECTROLOGIE

## A - ÉLECTRORÉTINOGRAPHIE

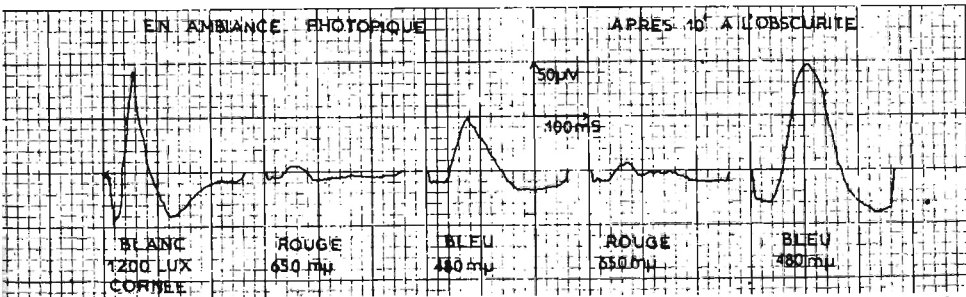
### a) La Technique

La technique utilisée est classique : le photostimulateur à flash électronique (lampe à décharge au Xénon) est placé à 20 cm du sujet non dilaté. En photopique, l'intensité du stimulus au blanc est de 1 200 LUX d'éclairement sur la cornée. Pour le rouge, nous utilisons un filtre monochromatique de 650 m $\mu$  ; pour le bleu 480 m $\mu$ .

On étudie l'électrorétinogramme scotopique après 11 minutes d'adaptation à l'obscurité, avec stimulus rouge et bleu monochromatiques.

La mémorisation et l'analyse par sommation a été effectuée sur calculateur (PDP 12 DIGITAL EQUIPMENT CORPORATION).

L'électrorétinogramme d'un sujet normal nous donne les types de courbes représentées ci-dessous :



## b) Résultats

Nous n'avons reporté aux tableaux 16 et 17 que les réponses en photopique aux stimulus blanc et rouge, l'électrorétinogramme scotopique s'étant révélé quasiment normal chez tous nos malades, nous n'avons pas jugé utile d'y incorporer les résultats.

Les résultats de l'électro-oculogramme sont joints à ceux de l'électrorétinogramme et seront analysés ensuite.

Les valeurs normales en photopique sous stimulation blanche pour l'onde a se situent entre 40 et 60  $\mu V$  avec une latence de 18 à 19 millisecondes ; pour l'onde b<sub>1</sub> se situent entre 80 et 150  $\mu V$  avec une latence de moins de 40 millisecondes.

45 de nos sujets ont eu un électrorétinogramme, seuls les plus récents électrorétinogrammes (36) ont été étudiés quantitativement sur calculateur. Nous avons groupé les sujets selon l'aspect fluorographique de leurs lésions : ocelle, œil de bœuf, atteinte centro-périphérique, Fundus Flavimaculatus.

Les composantes de l'électrorétinogramme photopique au blanc sont, pour tous nos cas, une fois sur deux entièrement normales. Lorsqu'elles sont altérées, il s'agit d'altérations le plus souvent légères, touchant indifféremment les ondes a ou b<sub>1</sub>. Ces altérations touchent d'une manière à peu près identique tous nos groupes, sauf pour les formes centro-périphériques où elles sont associées à des altérations scotopiques.

L'électrorétinogramme photopique en stimulation à la lumière rouge est cependant plus souvent altéré que pour les stimulations en lumière blanche ; il semble, dans ces cas, y avoir une relation avec l'importance des lésions fluorographiques.

### Altérations de l'électrorétinogramme photopique au rouge :

- ocelle : une fois sur trois
- œil de bœuf : trois fois sur quatre
- dégénérescence centro-périphérique : constamment
- Fundus Flavimaculatus : quatre fois sur cinq.

Il existe une augmentation du temps de latence des réponses pour sept cas, donc une fois sur cinq, et ceci plus fréquemment pour les Fundus Flavimaculatus.

On peut conclure que nos examens donnent des résultats normaux électrorétinographiques lorsque les lésions sont localisées à la périfovéola ou à une faible portion de la macula. L'électrorétinogramme devient pathologique avec l'augmentation des lésions visibles en fluorographie, d'abord dans ses composantes photopiques en stimulation au rouge, puis dans ses composantes photopiques en stimulation au blanc (onde a et b<sub>1</sub>). Enfin dans les formes plus évoluées, l'électrorétinogramme s'altère globalement.

Tableau 16

| STARGARDT                                          |                                                                          |    |                                                        |     |                                   |       |                        |        |        |      |     |           |
|----------------------------------------------------|--------------------------------------------------------------------------|----|--------------------------------------------------------|-----|-----------------------------------|-------|------------------------|--------|--------|------|-----|-----------|
| ERG                                                |                                                                          |    |                                                        |     |                                   |       |                        | EOG    |        |      |     |           |
| Observation                                        | Photopique<br>Blanc 1200 lux<br>ONDE a<br>chiffres normaux<br>40 à 60 μV |    | Photopique<br>Blanc 1200 lux<br>ONDE b1<br>80 à 150 μV |     | Latence<br>a b1<br>18 à 19mS<40mS |       | Photopique<br>au rouge | >800μV | >440μV | 1,85 |     |           |
| OCELLE                                             |                                                                          |    |                                                        |     |                                   |       |                        |        |        |      |     |           |
| 1                                                  | 60                                                                       | 50 | 100                                                    | 80  | N                                 | N     | N                      | 575    | 520    | 300  | 350 | 1,9 1,5   |
| 8                                                  | 60                                                                       | 54 | 120                                                    | 125 | N                                 | N     | N                      | 450    | 600    | 300  | 425 | 1,5 1,42  |
| 9                                                  | très légèrement altérés                                                  |    |                                                        |     |                                   |       | LA                     | 625    | 675    | 400  | 450 | 1,55 1,50 |
| 10                                                 | 80                                                                       | 80 | 190                                                    | 190 | N                                 | N     | N                      | 780    | 980    | 360  | 420 | 2,2 2,4   |
| 11                                                 | 80                                                                       | 60 | 100                                                    | 105 | N                                 | N     | N                      | 450    | 450    | 250  | 250 | 1,8 1,8   |
| 14                                                 | 22                                                                       | 24 | 76                                                     | 60  | N                                 | N     | N                      |        |        |      |     |           |
| 15                                                 |                                                                          |    |                                                        |     |                                   |       | LA                     | 600    | 700    | 270  | 350 | 2,2 2     |
| 18                                                 | 36                                                                       | 26 | 40                                                     | 45  | 25 25                             | 47 51 | TA                     |        |        |      |     |           |
| 20                                                 | 85                                                                       | 90 | 200                                                    | 130 | N                                 | N     | N                      |        |        |      |     |           |
| 23                                                 | 45                                                                       | 44 | 75                                                     | 54  | N                                 | N     | LA                     |        |        |      |     |           |
| 30                                                 | 70                                                                       | 70 | 240                                                    | 240 | N                                 | N     | N                      | 500    | 750    | 310  | 360 | 1,68 2    |
| OEIL DE BOEUF                                      |                                                                          |    |                                                        |     |                                   |       |                        |        |        |      |     |           |
| 2                                                  | 40                                                                       | 35 | 50                                                     | 80  | 10 10                             | 45 80 | A                      | 400    | 400    | 250  | 220 | 1,6 1,82  |
| 4                                                  |                                                                          |    | légèrement altérés                                     |     |                                   |       | A                      | 360    | 380    | 240  | 240 | 1,5 1,6   |
| 5                                                  | 15                                                                       | 25 | 60                                                     | 50  | N                                 | N     | A                      |        |        |      |     |           |
| 16                                                 | 42                                                                       | 40 | 120                                                    | 100 | N                                 | N     | N                      | 600    | 500    | 450  | 350 | 1,35 1,40 |
| 17                                                 | 70                                                                       | 60 | 150                                                    | 170 | N                                 | N     | A                      |        |        |      |     |           |
| 24                                                 | 41                                                                       | 29 | 73                                                     | 70  | 35 68                             | 37 70 | TA                     |        |        |      |     |           |
| 25                                                 | 55                                                                       | 48 | 100                                                    | 95  | N                                 | N     | A                      |        |        |      |     |           |
| 28                                                 | 80                                                                       | 70 | 80                                                     | 80  | N                                 | N     | N                      | 450    | 500    | 300  | 250 | 1,5 2     |
| 32                                                 | 60                                                                       | 40 | 120                                                    | 140 | N                                 | N     | A                      | 700    | 650    | 350  | 350 | 2 1,8     |
| 35                                                 | 40                                                                       | 40 | 60                                                     | 60  | N                                 | N     | TA                     | 400    | 500    | 225  | 300 | 1,77 1,68 |
| 38                                                 | 30                                                                       | 54 | 120                                                    | 170 | N                                 | N     | TA                     |        |        |      |     |           |
| DÉGÉNÉRESCENCE CENTRO-PÉRIPHÉRIQUE                 |                                                                          |    |                                                        |     |                                   |       |                        |        |        |      |     |           |
| 26                                                 | 40                                                                       | 35 | 75                                                     | 75  | N                                 | N     | A                      | 700    | 750    | 400  | 350 | 1,75 2,10 |
| 33                                                 | 40                                                                       | 40 | 60                                                     | 75  | N                                 | N     | A                      | 500    | 750    | 310  | 360 | 1,68 2,05 |
| N = NORMAL LA = LÉGEREMENT ALTÉRÉ TA = TRES ALTÉRÉ |                                                                          |    |                                                        |     |                                   |       |                        |        |        |      |     |           |

Tableau 17

| FUNDUS FLAVIMACULATUS |                                        |    |                                         |     |                 |                        |               |           |               |      |  |
|-----------------------|----------------------------------------|----|-----------------------------------------|-----|-----------------|------------------------|---------------|-----------|---------------|------|--|
| ERG                   |                                        |    |                                         |     |                 | EOG                    |               |           |               |      |  |
| Observation           | Photopique<br>Blanc 1200 lux<br>ONDE a |    | Photopique<br>Blanc 1200 lux<br>ONDE b1 |     | Latence<br>a b1 | Photopique<br>au rouge | Eblouissement | Obscurité | Rapport Arden |      |  |
|                       | chiffres normaux<br>40 à 60 µV         |    | 80 à 150 µV                             |     | 18 à 19 mS<40mS |                        | >800µV        | >440µV    | 145 à 185     |      |  |
| 40                    | 80                                     | 80 | 140                                     | 150 | N N             | LA                     | 700 550       | 350 275   | 2,15          | 2    |  |
| 41                    | 50                                     | 48 | 22                                      | 24  | 26 26 43 45     | A                      |               |           | 16            | 16   |  |
| 42                    | 70                                     | 70 | 140                                     | 100 | 33 28 51 49     | A                      |               |           |               |      |  |
| 43                    | 48                                     | 56 | 104                                     | 85  | N N             | A                      |               |           |               |      |  |
| 49                    | 29                                     | 27 | 60                                      | 75  | N N             | A                      |               |           |               |      |  |
| 50                    | 25                                     | 34 | 112                                     | 72  | N N             | N                      | 700 500       | 500 350   | 1,4           | 1,43 |  |
| 53                    | 50                                     | 70 | 190                                     | 160 | N N             | N                      |               |           |               |      |  |
| 54                    | 50                                     | 50 | 90                                      | 100 | N N             | A                      | 550 550       | 410 400   | 1,35          | 1,40 |  |
| 56                    | 50                                     | 80 | 200                                     | 170 | N N             | TA                     |               |           |               |      |  |
| 57                    | 40                                     | 40 | 90                                      | 90  | N N             | A                      |               |           | 1,6           | 1,6  |  |
| 58                    | 17                                     | 18 | 80                                      | 95  | 22 21 44 44     | A                      | 635 665       | 400 300   | 1,33          | 1,55 |  |
| 59                    | 34                                     | 40 | 110                                     | 150 | 25 25 47 47     | TA                     |               |           |               |      |  |
| 60                    | 25                                     | 20 | 120                                     | 100 | / /             | TA                     |               |           |               |      |  |
| 61                    | 40                                     | 50 | 90                                      | 90  | N N             | A                      |               |           |               |      |  |

c) Comparaison avec la littérature

Les plus récentes publications sur le STARGARDT insistent sur l'altération fréquente de l'électrorétinogramme : NIEMEYER, en 1969, sur 65 cas, ne trouve que trois fois un électrorétinogramme normal ; PINKERS, en 1971, sur 32 cas, ne trouve que deux fois un électrorétinogramme normal ; STANGOS, en 1972, trouve un électrorétinogramme altéré 8 fois sur 10.

Sur nos 24 électrorétinogrammes de STARGARDT, nous n'avons que 7 électrorétinogrammes normaux. Si, comme PINKERS, en 1971, nous incluons à nos STARGARDT les formes flavimaculées, sur les 39 électrorétinogrammes, trois seulement sont entièrement normaux.

B - ÉLECTRO-OCULOGRAPHIE

a) La Technique

L'électro-oculogramme étudie le potentiel de repos cornéo-rétinien, il est considéré comme le reflet du fonctionnement «jonction épithélium pigmentaire – rétine».

Le protocole utilisé est celui de la plupart des auteurs. Le sujet est placé 12 minutes dans l'obscurité, puis 12 minutes à l'éblouissement au blanc. On demande au patient de regarder des sources lumineuses à 30° de part et d'autre, qui s'allument alternativement, soit une déflexion totale à chaque mouvement oculaire de 60°.

Les potentiels sont enregistrés à partir d'électrodes placées horizontalement aux canthus externe et interne de chaque œil. Les potentiels obtenus à chaque déflexion sont analysés pendant 20 secondes à chaque minute de l'examen. Une moyenne des différents potentiels pour chaque minute est calculée.

On détermine le rapport de ARDEN de la façon suivante : le plus fort potentiel obtenu lors de l'éblouissement (6ème ou 7ème minute en général) divisé par le plus faible potentiel obtenu à l'obscurité (en général la 10ème minute d'obscurité).

b) Résultats

L'électro-oculogramme effectué sur 22 sujets (16 STARGARDT et 6 Fundus Flavimaculatus) nous a permis de constater que les altérations étaient identiques pour les deux affections.

a<sup>1</sup> - Rapport de ARDEN : nous considérons que le rapport de ARDEN est :

- normal au-dessus de 1,70
- subnormal entre 1,50 et 1,70
- pathologique au-dessous de 1,50.

Nos résultats se répartissent selon le tableau 18 :

Tableau 18

|                  |                           |                    |                      |
|------------------|---------------------------|--------------------|----------------------|
| RAPPORT DE ARDEN | 2,4 2,3 2,2 2,1 2 1,9 1,8 | 1,7 1,6 1,5        | 1,4 1,3              |
| NOMBRE D'YEUX    | 1 2 2 8 1 5               | 4 6 8              | 5 2                  |
|                  | 19 yeux normaux           | 18 yeux subnormaux | 7 yeux pathologiques |

Il est donc difficile de tirer une conclusion ferme. Selon les opinions, les résultats subnormaux peuvent être rapprochés soit des résultats normaux, soit des résultats pathologiques.

a<sup>2</sup> - Amplitude des potentiels de base : si l'on étudie l'amplitude des potentiels de base, on constate que ceux-ci sont anormalement bas.

Ils doivent être normalement supérieurs à 800 µV pour l'éblouissement et supérieurs à 400 µV pour l'obscurité.

Pour les potentiels de base à l'éblouissement, nous n'avons que deux cas supérieurs à 800 µV, pour les potentiels de base à l'obscurité nous n'avons que 3 yeux avec un potentiel supérieur à 440 µV.

Pour nos électro-oculogrammes, les potentiels de base ne sont donc normaux qu'une fois sur vingt.

a<sup>3</sup> - Comparaison avec la littérature : pour le Fundus Flavimaculatus, l'électro-oculogramme est subnormal ou anormal ; pour le STARGARDT, on considère globalement l'électro-oculogramme normal dans les formes localisées à la macula et l'électro-oculogramme anormal lorsque les lésions s'étendent vers la périphérie. Cependant, dans les publications les plus récentes, les formes uniquement maculaires ont fréquemment un rapport subnormal. (DEUTMAN-1971, PINKERS-1971, DORNE & ESPIARD-1971, STANGOS & Coll.-1972).

PINKERS (1971) a comparé les électro-oculogrammes avec l'acuité visuelle restante : pour un électro-oculogramme normal, l'acuité visuelle était supérieure à 1/10 et pour un électro-oculogramme altéré, l'acuité visuelle était inférieure à 2/10. Pour nos cas, il existe aussi une corrélation rapport de ARDEN — acuité visuelle :

|                                 |              |
|---------------------------------|--------------|
|                                 | A.V. moyenne |
| - électro-oculogramme normal    | 2,8/10       |
| - électro-oculogramme subnormal | 2,4/10       |
| - électro-oculogramme anormal   | 1,5/10       |

De nombreux auteurs comparent également rapport de ARDEN et électrorétinogramme. La plupart (sauf STANGOS & Coll., en 1972) trouvent un électro-oculogramme plus fréquemment altéré ...

Les auteurs comparent électrorétinogramme et électro-oculogramme dans le but de déterminer quel est le plus sensible dans cette affection, mais aussi pour essayer de localiser le *primum movens* de l'affection. L'électrologie, dans ses techniques actuelles, ne permet pas de conclusions physiopathologiques valables pour nous : si l'on considère le rapport de ARDEN, l'électro-rétinogramme est plus souvent altéré (en photopique au rouge surtout) ; mais si l'on considère les potentiels de base de l'électro-oculogramme, nous rejoignons la plupart des auteurs et trouvons un électro-oculogramme plus fréquemment altéré que l'électrorétinogramme.

C - POTENTIELS OCCIPITAUX ÉVOQUÉS

— Résultats comparés

Normaux pour TASSY, en 1966, et JAYLE & TASSY, en 1967. Ils ont été pratiqués chez 11 de nos sujets. Les résultats sont résumés ci-après :

|                       | Normaux ou légèrement altérés | Altérés au rouge | Globalement altérés |
|-----------------------|-------------------------------|------------------|---------------------|
| MALADIE DE STARGARDT  | 3                             | 2                | 3                   |
| FUNDUS FLAVIMACULATUS | 1                             | 2                |                     |

Ils ne sont donc normaux ou légèrement anormaux qu'une fois sur deux. Lorsqu'ils sont globalement altérés (Obs. 18, 26, 33), on note toujours une pâleur du secteur temporal de la papille.

## 8-EXAMEN GENERAL et ASSOCIATIONS

Nos sujets examinés n'ont montré aucune anomalie ou tare spécifique associée à la maladie de STARGARDT, soit au Fundus Flavimaculatus, en particulier aucune manifestation neurologique.

Nous restons très réticents quant aux associations possibles et très nombreuses de la littérature. Si certaines semblent fortuites pour d'autres, il semble que le terme de MALADIE DE STARGARDT ou de FUNDUS FLAVIMACULATUS a été employé à mauvais escient.

Ces associations consistent pour la maladie de STARGARDT en affections neurologiques, endocriniennes, auditives, cutanées, oculaires (hétérochromie de FUCHS, dystrophie cornéenne, kératocone . . . ). Pour le Fundus Flavimaculatus, la principale association est la maladie de STARGARDT. Ceux qui s'intéresseraient éventuellement à ces publications trouveront les références dans l'ouvrage de DEUTMAN (1971).

GENETIQUE

Seuls, deux membres sur nos 61 cas n'ont pu faire l'objet d'une enquête génétique. Nous avons dressé les arbres généalogiques pour 51 de nos sujets examinés, ce qui correspond à 35 généalogies. L'examen des ascendants et collatéraux a été effectué chaque fois que cela a été possible. Nos investigations génétiques confirment les notions classiques.

## 1-FORME RECESSIVE

La maladie de STARGARDT et le Fundus Flavimaculatus sont des affections récessives autosomales dans la majorité des cas. Nous en retrouvons les caractères essentiels :

- plusieurs membres d'une fratrie peuvent être atteints
- parents indemnes
- nombre égal d'hommes et de femmes atteints
- un enfant sur quatre de parents hétérozygotes est atteint, comme nous le verrons plus loin.

## 2-FORME DOMINANTE

Nous avons trouvé pour la Maladie de STARGARDT, une transmission dominante pour 25 généalogies dressées ; pour le FUNDUS FLAVIMACULATUS, deux familles à transmission dominante sur 10 généalogies. La dominance dans la Maladie de STARGARDT est connue, elle a même fait considérer cette forme comme une entité, par contre le FUNDUS FLAVIMACULATUS n'a été qu'exceptionnellement trouvé dominant (DUKE-ELDER & DOBREE, KAREL-1968, MERIN & LANDAU-1970, KRILL & DEUTMAN-1972). (1)

(1) DUKE-ELDER & DOBREE, cités par KRILL & DEUTMAN, auraient constaté l'existence de cas dominants. La famille décrite par KAREL serait atteinte de druses dominantes (nous n'avons pu vérifier les illustrations). KRILL & DEUTMAN signalent l'existence de familles dominantes (pas de publication). MERIN & LANDAU, seuls, ont publié une famille probablement dominante sous l'appellation de Maladie de STARGARDT. Nos deux familles dominantes semblent donc exceptionnelles, aussi les avons nous publiées, en 1975, dans les B.S.O.F. (Note de l'auteur, 1976).



Tableau 19

| AFFECTION ET NOMBRE DE GÉNÉALOGIES DRESSÉES | MEMBRES ATTEINTS DANS CES DIFFÉRENTES GÉNÉALOGIES | TOTAL DES MEMBRES DANS LES FRATRIES ATTEINTES | MEMBRES ATTEINTS LEURS ENFANTS ET LEURS FRATRIES | TOTAL DES FRATRIES DONT LE MEMBRE ATTEINT A ÉTÉ EXAMINÉ | MEMBRES ATTEINTS EXAMINÉS ET AUTRES MEMBRES ATTEINTS DE LA FRATRIE |
|---------------------------------------------|---------------------------------------------------|-----------------------------------------------|--------------------------------------------------|---------------------------------------------------------|--------------------------------------------------------------------|
| 24<br>STARGARDT RÉCESSIFS                   | 34                                                | 87                                            |                                                  |                                                         |                                                                    |
| 1<br>STARGARDT DOMINANTS                    | 14                                                | 45                                            | 45                                               | 17                                                      | 7                                                                  |
| 8<br>FUNDUS FLAVI-MACULATUS RÉCESSIFS       | 10                                                | 19                                            |                                                  |                                                         |                                                                    |
| 2<br>FUNDUS FLAVI-MACULATUS DOMINANTS       | 16                                                | 33                                            | 59                                               | 29                                                      | 12                                                                 |

Tableau 20

| NOMBRES D'ENFANTS PAR FRATRIE | $\pi 0$<br>PROPORTIONS ET POURCENTAGES DE FRATRIES A ENFANTS NON ATTEINTS | $\pi 1$<br>UN ENFANT ATTEINT | $\pi 2$<br>DEUX ENFANTS ATTEINTS | $\pi 3$<br>TROIS ENFANTS ATTEINTS |
|-------------------------------|---------------------------------------------------------------------------|------------------------------|----------------------------------|-----------------------------------|
|                               |                                                                           |                              |                                  |                                   |
| 1                             | $P = 3/4 = 75 \%$                                                         | $q = 1/4 = 25 \%$            |                                  |                                   |
| 2                             | $P^2 = 9/16 = 56 \%$                                                      | $2pq = 6/16 = 38 \%$         | $q^2 = 1/16 = 6 \%$              |                                   |
| 3                             | $p^3 = 27/64 = 42 \%$                                                     | $3p^2q = 27/64 = 42 \%$      | $3pq^2 = 9/64 = 14 \%$           | $q^3 = 1/64 = 1,5 \%$             |

Tableau 21

| GRANDEUR DE LA FRATRIE | NOMBRE DE FRATRIES | NOMBRE D'ATTEINTS | VALEUR THÉORIQUE | VARIANCE |
|------------------------|--------------------|-------------------|------------------|----------|
| STARGARDT              |                    |                   |                  |          |
| 1                      | 3                  | 3                 | 3                | 0        |
| 2                      | 5                  | 7                 | 5,715            | 0,5      |
| 3                      | 9                  | 13                | 11,673           | 2,367    |
| 4                      | 1                  | 2                 | 1,463            | 0,42     |
| 5                      | 2                  | 2                 | 3,278            | 1,184    |
| 7                      | 2                  | 4                 | 4,04             | 1,94     |
| TOTAL                  | 22                 | 31                | 29,169           | 6,411    |
| FUNDUS FLAVIMACULATUS  |                    |                   |                  |          |
| 1                      | 3                  | 3                 | 3                | 0        |
| 2                      | 1                  | 1                 | 1,143            | 0,122    |
| 3                      | 3                  | 4                 | 3,891            | 0,789    |
| 5                      | 1                  | 2                 | 1,638            | 0,592    |
| TOTAL                  | 8                  | 10                | 9,673            | 1,503    |

### 3 PROPORTIONS THEORIQUES et PROPORTIONS OBSERVEES

#### A - HÉRÉDITÉ DOMINANTE

Pour prouver qu'une maladie est dominante, il faut montrer qu'un enfant sur deux est atteint, lorsque l'un des parents est touché. Si l'on ne tient pas compte des enfants sains de parents atteints, la proportion de sujets atteints trouvée doit être encore plus élevée.

Pour notre famille dominante de STARGARDT, nous ne trouvons qu'un membre sur trois. Si l'on ne considère que les fratries dont un sujet au moins a été examiné à l'hôpital ou par un ophtalmologiste, on trouve 7 sujets atteints pour une population de 17 membres. (Tableau 19).

Pour nos deux familles dominantes de Fundus Flavimaculatus, nous ne trouvons également qu'un membre sur quatre atteint. Si l'on ne considère que les fratries de membres examinés à l'hôpital ou par un ophtalmologiste, on trouve 12 sujets atteints sur une population de 29 membres. (Tableau 19).

Ces chiffres sont inférieurs à ceux que l'on devrait normalement trouver ; il faut donc admettre un «défaut de pénétrance».

#### B - HÉRÉDITÉ RÉCESSIVE

Pour prouver qu'une maladie est récessive, il faut montrer qu'un enfant sur quatre est atteint (homozygote) lorsque les parents sont hétérozygotes.

L'existence d'un couple d'hétérozygote dans une population n'est révélée que lorsqu'un de leurs enfants est atteint et il existe des unions où les parents, bien qu'hétérozygotes, ont la chance de n'avoir uniquement que des enfants normaux.

La probabilité théorique d'avoir tous les enfants d'une même fratrie indemnes varie selon le nombre d'enfants de la fratrie.

Par la méthode dite a priori «sélection complète», on admet que la proportion réelle des sujets atteints est  $q = 1/4$ , la proportion des sujets sains étant  $p = 1 - q = 3/4$ . La probabilité d'avoir  $\pi$  enfants atteints est donnée par le développement du binôme  $(p + q)^s$   $s$  étant le nombre d'enfants dans la fratrie. Le premier terme  $p^s$  étant la probabilité de n'avoir aucun enfant malade.

Pour une fratrie de deux enfants, on a :

$$(p + q)^2 = p^2 + 2 pq + q^2 \quad \text{donc}$$

$$\pi_0 = p^2 \quad \pi_1 = 2 pq \quad \pi_2 = q^2$$

Pour une fratrie de trois enfants, on a :

$$(p + q)^3 = p^3 + 3p^2q + 3pq^2 + q^3 \quad \text{donc}$$

$$\pi_0 = p^3 \quad \pi_1 = 3 p^2 q \quad \pi_2 = 3 pq^2 \quad \pi_3 = q^3$$

(voir Tableau 20)

A l'aide de tables déterminées à partir de ces probabilités où l'on trouve le nombre moyen de sujets atteints par fratrie, selon la dimension de la fratrie et les variances admises, nous avons étudié nos fratries récessives pour lesquelles un arbre généalogique était dressé (méthode de BERNSTEIN).

Nous trouvons une concordance parfaite avec les chiffres théoriques pour les STARGARDT récessifs comme pour les FUNDUS FLAVIMACULATUS récessifs. La pénétrance des formes récessives est donc ici normale (Tableau 21).

## ANATOMIE PATHOLOGIQUE

# RESUME des DIFFERENTES ETUDES

## A - MALADIE DE STARGARDT

Les études anatomo-pathologiques sont peu nombreuses et, comme nous allons le constater, elles n'ont été pratiquées que dans les formes évoluées de l'affection :

— les cas publiés par HARMS, en 1904, et BEHR en 1921, sont considérés comme n'étant pas certains (âge des malades 77 ans et 78 ans — examens anatomo-pathologiques après décès, sans illustration photographique).

— KLIEN, en 1950, a étudié un œil retiré lors d'une exentération pour épithélioma malpighien kératinisé infiltrant de l'orbite, chez un sujet âgé de 60 ans pour lequel les troubles visuels, dûs à la dégénérescence maculaire, avaient commencé à 57 ans.

— PAUFIQUE & HERVOUET, en 1962, ont eu l'occasion d'énucléer un œil, atteint de la maladie de STARGARDT, chez lequel un mélanosarcome s'était développé dans le secteur supéro-nasal, sans atteindre la macula. Ce malade, âgé de 35 ans, était connu comme malade de STARGARDT depuis l'âge de 15 ans.

— VAIL & SHOCH, en 1965, étudièrent les yeux d'une femme âgée de 78 ans, atteinte de dégénérescence maculaire progressive et dominante. Cependant, le prélèvement des yeux, aux fins d'études histologiques, a été effectué tardivement et l'état de conservation des pièces est assez mauvais.

— BRIHAYE-VAN GEERTRUYDEN, en 1962, ont étudié l'œil atteint de dégénérescence progressive maculaire d'un sujet décédé à l'âge de 31 ans, qui présentait une ataxie spino-cérébelleuse.

— BLODI, en 1966, a résumé les précédentes études histologiques de cette façon : *« l'estampille typique est une disparition complète des éléments visuels de l'aire maculaire. Les cônes maculaires ont disparu, de même les cônes et bâtonnets de la région périmaculaire. L'épithélium pigmentaire a aussi disparu de cette aire et seuls quelques noyaux dégénérés sont visibles entre la membrane de BRUCH et la limitante externe. »*

*A l'extérieur, vers la périphérie, une couche de tissu vascularisée anastomotique peut s'étendre entre la membrane de BRUCH et les couches atrophiques externes de la rétine.*

*L'extension de l'atrophie semble s'accroître avec l'âge ; ainsi, chez les sujets âgés, la surface s'étend d'autant plus que la macula s'altère et secondairement sur les berges apparaissent des altérations prolifératives ou dégénératives.*

*Les couches profondes de la rétine peuvent montrer une dégénérescence cystoïde et il peut exister des dépôts de calcium. Les altérations prolifératives apparaissent surtout au niveau de*

*l'épithélium pigmentaire. Elles sont habituellement tachetées, circonscrites de temps en temps, subtiles et légères, la membrane de BRUCH et la choroïde et notamment la chorio-capillaire ne montrent pas d'altérations pathologiques notables.»*

Il s'agit, comme nous l'avons déjà dit, d'études portant sur des STARGARDT aux stades ultimes et il est impossible d'en tirer des conclusions valables sur l'atteinte initiale de l'affection.

## B - FUNDUS FLAVIMACULATUS

KLIEN & KRILL, en 1967, ont étudié un œil chez un homme de 19 ans atteint de Fundus Flavimaculatus avec atteinte maculaire (comme l'indique la fluorographie de l'autre œil).

Cet œil avait dû être énucléé à la suite de plaies de cornée avec hernie de l'iris, cataracte traumatique et luxation du cristallin. Il existait deux ruptures choroïdiennes dont une s'étendant de la macula à la papille. Bien que cet œil n'ait été énucléé qu'après 8 mois, à la suite de complications hypertoniques, les résultats sont intéressants. Les auteurs ont observé des lésions siégeant uniquement au niveau de l'épithélium pigmentaire, la rétine sus-jacente étant normale. Il existait :

- 1 - Un déplacement du noyau de l'épithélium pigmentaire de la base vers le centre de la cellule.
- 2 - Une ligne particulière de condensation de granules pigmentaires au centre de la cellule ou près de la partie interne de la cellule.
- 3 - Une accumulation de substance pathologique principalement dans la moitié interne de la cellule en une zone circonscrite.
- 4 - De grandes variations de dimensions de la cellule — quelques unes beaucoup plus larges que la normale et d'autres plus petites —, sans granules pigmentaires ou noyaux visibles.

Les altérations de l'épithélium pigmentaire étaient diffuses et accompagnées d'une accumulation de substance pathologique surtout localisée dans les cellules. Cette substance fut identifiée comme un acide mucopolysaccharique (acide hyaluronique).

NEWELL, KRILL, FARKAS (1971) ont repris les préparations de cet œil pour les étudier en microscopie électronique.

Les altérations autolytiques importantes des coupes histologiques n'ont pas permis l'étude détaillée cellulaire.

Ces auteurs ont cependant constaté que les dépôts d'acide hyaluronique, situés vers l'apex de la cellule de l'épithélium pigmentaire, avaient une structure homogène en rayon de miel et que leurs contours internes, formés de multiples indentations, entouraient les articles externes des photorécepteurs. Bien que l'acide hyaluronique se situe au niveau des franges des cellules de l'épithélium pigmentaire, aucune altération des photorécepteurs n'est signalée dans cette étude.

# PHYSIOPATHOLOGIE

Si le rôle de l'hérédité dans la dégénérescence maculaire juvénile type STARGARDT est indiscutable, le mécanisme intime de l'abiotrophie tissulaire n'est pas encore connu.

On peut concevoir que le processus dégénératif dépende d'un défaut enzymatique non encore identifié, mais on ne connaît pas encore le point de départ exact de l'abiotrophie.

Les investigations anatomiques ne concernent que des cas très évolués et très tardifs et aucune conclusion ne peut être tirée de ces examens.

Il faut donc se baser sur l'évolution clinique de l'affection à ses débuts pour essayer de connaître le lieu initial de l'altération.

Il s'agit d'une atteinte rétinienne exclusive des cônes, avec cependant une participation de l'épithélium pigmentaire. Les fluorographies, nous l'avons vu, montrent, dans la majorité des cas, une atteinte précoce de cet épithélium pigmentaire. L'électro-oculogramme montre un abaissement des potentiels d'action.

Le point de départ siège-t-il dans le cône, dans l'épithélium pigmentaire, au niveau du couple ? Il nous est impossible de répondre actuellement à cette question, mais certains faits méritent d'être soulignés :

— Bien qu'exceptionnel, le respect de la région maculaire peut être observé aussi bien dans le STARGARDT que dans le FUNDUS FLAVIMACULATUS. Il existe des cas où la fluorographie montre une région maculaire intacte sur le plan pigmentaire (FRANCOIS J.-1970, FRANCOIS J. & Coll.-1971) (Obs. Personnelles 37 et 43 - Fig. 51 et 52 - 55 et 56).

— Lors de l'évolution de l'affection, les altérations de l'acuité visuelle correspondent au début à un scotome annulaire associé à une diminution de la sensibilité rétinienne centrale. On peut concevoir alors une altération globale de l'aire maculaire. La densité cellulaire extrême au niveau du bouquet de cônes centraux permet une fonction relativement suffisante et la persistance d'un pic maculaire en périmétrie statique. Il peut donc s'agir d'une atteinte primitive du cône.

— La participation de l'épithélium pigmentaire est cependant certaine : le scotome périfovéolaire correspond aux lésions observées en fluorographie (aspect en ocelle), il est observé précocement (Obs. 37 et 43), aussi bien dans les STARGARDT que dans les Fundus Flavimaculatus. Le silence choroïdien fluorographique peut être lui aussi considéré comme une anomalie de l'épithélium pigmentaire.

— L'association STARGARDT - lésion flavimaculée est un argument de plus en faveur de l'altération de l'épithélium pigmentaire. Il existe chez ces malades, ceci a été prouvé anatomiquement, (KLIEN & KRILL-1967), une surcharge cellulaire en mucopolysaccharides, qui, au début, ne correspond pas aux lésions fluorographiques, mais qui ensuite donne des lésions de l'épithélium pigmentaire créant alors l'effet «fenêtre».

— Il est cependant curieux de constater que, bien que ces dépôts et ces lésions de l'épithélium pigmentaire soient généralisés, il n'y ait aucune souffrance décelable sur le plan rétinien des bâtonnets (champ visuel périphérique, adaptométrie, électrorétinogramme scotopique normaux).

Il semblerait donc que ces lésions de l'épithélium pigmentaire soient induites par un trouble métabolique, celui-ci peut éventuellement ne retentir que sur le cône au début.

Nous ne pouvons, comme on le voit dans l'état de nos connaissances, aller plus loin dans le mécanisme intime de cette curieuse maladie héréditaire qui est, pour nous, une maladie du couple cône—épithélium pigmentaire.

## ETUDE NOSOLOGIQUE

Elle portera sur deux points :

- l'identité ou la différence entre STARGARDT et FUNDUS FLAVIMACULATUS
- l'identité ou les différences entre les dégénérescences juvéniles maculaires proches de la maladie de STARGARDT et la maladie de STARGARDT elle-même.

## 1-MALADIE de STARGARDT et FUNDUS FLAVIMACULATUS

Il ressort de notre étude personnelle et de l'analyse bibliographique que la maladie de Stargardt et le Fundus Flavimaculatus doivent actuellement être considérés comme une seule et même affection.

Nous avons vu que, sur le plan historique, STARGARDT, dans sa publication princeps, décrivait, chez certains malades, un aspect ophtalmoscopique identique à celui décrit ultérieurement par FRANCESCHETTI sous le nom de Fundus Flavimaculatus.

Nous avons vu l'identité absolue des deux maladies sur le mode clinique et évolutif, dans l'aspect fluorographique, dans les investigations paracliniques (électrotétinogramme et électro-oculogramme).

Il en est de même dans la transmission héréditaire de la maladie où l'hérédité récessive autosomale est le mode habituel, mais où l'on peut rencontrer parfois le mode dominant.

L'identité des deux maladies est d'ailleurs partagée par certains auteurs qui utilisent le terme STARGARDT flavimaculé pour les Fundus Flavimaculatus (PINKERS-1971, IRVINE-1972, JAEGER-1973, FRANÇOIS P.-1973). D'autres auteurs hésitent encore ; ils rangent l'aspect flavimaculé avec dégénérescence maculaire parfois dans les STARGARDT, parfois dans les Fundus Flavimaculatus, selon que les altérations maculaires trouvées sont importantes ou minimes, ou selon les fratries.

L'argument majeur généralement avancé pour séparer ces deux affections est qu'il existe «*des cas de Fundus Flavimaculatus sans dégénérescence maculaire*» tout comme «*des cas de Maladie de STARGARDT sans Fundus Flavimaculatus*» (FRANÇOIS J.-1974, Arch. Ophtal.).

L'existence même des formes pures de Fundus Flavimaculatus demande à être discutée. Pour considérer un Fundus Flavimaculatus «*pur*» il ne faut, bien entendu, aucune atteinte maculaire ophtalmoscopique ou fluorographique.

Comme nous l'avons rappelé dans l'historique de cette affection, bon nombre de formes pures des premières publications n'étaient pas des Fundus Flavimaculatus : pour cette raison, lorsque nous avons revu la littérature, nous avons estimé nécessaire, pour authentifier ces formes, l'estampille photographique et fluorographique.

- **Des treize formes pures** de la description princeps de FRANCESCHETTI et de FRANCOIS, autant que l'on puisse en juger, seuls les sujets 6 et 10 pouvaient présenter un Fundus Flavimaculatus comme il est actuellement décrit (KLIEN & KRILL-1967, DEUTMAN-1971, BABEL-1972), mais ils étaient âgés de 64 et 82 ans et l'angiographie, non pratiquée à cette époque, ne peut les authentifier.

- **Des formes pures** de KLIEN & KRILL (1967), 5 avaient des lésions maculaires et une atteinte visuelle importante ; la seule fluorographie de ces 5 cas (le cas 26) montre bien une image fluorescéinique maculaire de type STARGARDT. Pour les quatre autres cas, qui étaient présentés sans altération maculaire, la seule fluorographie (Cas 21 de l'histopathologie) montre un ocellé périphérique net de l'œil gauche.

Le fait qu'il puisse exister des Fundus Flavimaculatus avec vision excellente n'implique pas la non atteinte maculaire et n'a rien d'étonnant en soi car nous l'avons observé dans les formes de STARGARDT et dans nos Fundus Flavimaculatus ; il existe alors une périfovéolopathie et si la vision reste conservée assez longtemps, en périmétrie de profil, on constate bien le déficit périfovéolaire qui va s'aggraver progressivement.

C'est probablement le cas du sujet 3 dW de DEUTMAN-1971, où l'angiographie fluorescéinique montre des lésions importantes périfovéolaires ; pour le sujet 4 Ba, il existe aussi des altérations fluorographiques maculaires.

Nous n'avons donc jamais rencontré de formes pures soit personnellement dans nos observations, soit dans l'étude de la littérature. Nous souhaitons que, pour les publications à venir de ces formes, on puisse constater l'intégrité de la macula en ophtalmoscopie, fluorographie et périmétrie de profil. (1)

On sait qu'il existe des maladies de STARGARDT sans lésion flavimaculée. C'est pour nous le fait de l'expressivité variable de la maladie. La forme avec «*embarras*» périmaculaire (Obs. 26 à 39) étant une forme intermédiaire entre STARGARDT pur et Fundus Flavimaculatus.

Nous avons montré que l'on peut rencontrer dans un même pedigree :

- des sujets présentant une affection de STARGARDT pure et d'autres un STARGARDT avec «*embarras*» périmaculaire flavimaculé (Obs. 16, 24 et 33).
- des sujets présentant une affection de STARGARDT pure et d'autres, un Fundus Flavimaculatus typique (Obs. 9, 10 et 42).
- des sujets présentant une affection de STARGARDT avec «*embarras*» flavimaculé périmaculaire et d'autres avec Fundus Flavimaculatus typique (Obs. 36 et 54 ; 38 et 55).

(1) Nous avons, en 1976, publié deux de nos cas de Fundus Flavimaculatus apparemment purs où l'on constate, en périmétrie de profil, une atteinte maculaire et au 100 HUE une dyschromatopsie d'axe rouge-vert. B.S.O.F. 1976. (Note de l'auteur-1976).

Il existe dans les deux types, STARGARDT pur et Fundus Flavimaculatus, un silence choroïdien qui est, pour nous, l'homologue de l'altération de l'épithélium pigmentaire.

Cette altération apparaît plus précocement dans le Fundus Flavimaculatus, en raison de l'existence de dépôts de mucopolysaccharides au sein de la cellule pigmentée et donc visible ophtalmoscopiquement. Ces dépôts peuvent masquer le colorant au début, puis lors de la dégénérescence pigmentaire correspondre à un effet fenêtre caractéristique de l'affection. Cette altération de l'épithélium pigmentaire ne retentit pas sur la cellule sensorielle sus-jacente au niveau de la périphérie (KRILL-1967).

Dans la région maculaire, si l'atteinte sensorielle est précoce, les altérations de l'épithélium pigmentaire le sont également, ainsi que le prouvent les fluorographies. Le potentiel évolutif des formes pures de STARGARDT est, nous l'avons vu, beaucoup moins rapide et important que celui des formes flavimaculées.

Tous ces faits sont autant d'arguments qui plaident en faveur de l'unicité de la maladie dont l'expressivité serait variable. Nous espérons que :

- soit par la mise en évidence d'un facteur causal identique, peut-être enzymatique,
  - soit par le perfectionnement des méthodes d'investigations,
  - soit par l'étude histologique de la rétine des deux maladies à un stade précoce,
- cette identité puisse être admise par tous.

## 2 – DEGENERESCENCES du POLE POSTERIEUR PROCHES de la MALADIE de STARGARDT

Quatre types de dégénérescence ont été décrits :

- dystrophie maculaire juvénile dominante
- dystrophie des cônes
- rétinopathie pigmentaire centrale et péricentrale
- dystrophie cônes—bâtonnets.

Ces affections, paraissant assez rares, font actuellement l'objet de nombreuses publications. Elles sont différenciées de la maladie de STARGARDT sur divers critères héréditaires et surtout électrorétinographiques.



## A - DYSTROPHIE MACULAIRE JUVÉNILE DOMINANTE

Cette affection, semblable en tous points à la maladie de STARGARDT, est constituée de familles de maladie de STARGARDT dominantes. La distinction a été préconisée par SORSBY & DAVEY-1955, et DEUTMAN-1971. La maladie semblerait, sur le plan clinique, de début plus tardif et d'évolution moins rapide, donc plus bénigne.

Notre famille de STARGARDT dominante ne semble pas avoir eu une évolution différente des familles à hérédité récessive. La gravité est la même et le début précoce : 10 ans (Obs. 16), dans l'enfance (Obs. 24), 6 ans (Obs. 33).

L'existence de transmission dominante de Fundus Flavimaculatus devrait inciter à distinguer, si l'on suit SORSBY & DAVEY ainsi que DEUTMAN, deux maladies flavimaculées. Ce qui donnerait quatre affections très proches : maladie de STARGARDT récessive et dominante et Fundus Flavimaculatus récessif et dominant.

Les deux transmissions différentes, observées dans deux maladies voisines ou identiques, nous font douter de l'individualisation de la dystrophie maculaire juvénile dominante.

## B - DYSTROPHIE PROGRESSIVE DES CONES OU DYSTROPHIE DES CONES

Décrite par SLOAN & BROWN-1962 et GOODMAN & Coll.-1963.

- Sur le plan clinique, elle est caractérisée : par un début dans les deux premières décades de la vie, par une atteinte visuelle importante, parfois photophobie ou nyctalopie ou même nystagmus acquis. On trouve au champ visuel, un scotome central relatif ou absolu, à l'adaptation à l'obscurité une courbe monophasique sans point  $\alpha$ , un sens chromatique très altéré, de type rouge-vert ou plus rarement bleu-jaune, qui évolue rapidement vers l'achromatopsie.

- Sur le plan ophtalmoscopique, elle s'accompagne d'altérations maculaires qui rappellent la maladie de STARGARDT ou la rétinopathie à la chloroquine : l'image fluorographique est en général du type «*œil de bœuf*» (KRILL & Coll.-1973, BABEL & STANGOS-1972. L'électro-rétinogramme est très altéré surtout en photopique. L'électro-oculogramme est normal au début puis pathologique.

L'affection est parfois dominante (KRILL & DEUTMAN-1972), parfois récessive (SLOAN & BROWN-1962, GOODMAN-1963-1966...).

Tous ces signes décrits comme caractéristiques sont aussi rencontrés dans la maladie de STARGARDT typique. Dans ses premières publications, l'affection nous a semblé bien isolée, en raison d'altérations d'emblée très graves de la vision des couleurs précédant la chute de l'acuité visuelle et par un électrorétinogramme très pathologique. L'étude des plus récentes publications surprend, car on y retrouve pêle-mêle non seulement toutes les formes de la maladie de STARGARDT, mais aussi d'autres affections (FRANCOIS J. & Coll.-1974, Ophtalmologica 255-285) :

- maladie de STARGARDT à fond d'œil normal
- dégénérescence maculaire de STARGARDT récessive
- dégénérescence maculaire dominante (type STARGARDT)
- maladie de STARGARDT centropériphérique
- Fundus Flavimaculatus
- rétinopathie pigmentaire centrale
- sclérose choroïdienne aréolaire centrale
- rétinite pigmentaire
- rétinite pigmentaire en secteur.

Le terme de dystrophie des cônes apparaît à travers cette publication comme celui d'un syndrome électrorétinographique et l'idée d'une affection bien individualisée, que l'on pensait trouver à la lecture des premières publications (SLOAN & BROWN-1962, GOODMAN & Coll.-1963-1966, KRILL & DEUTMAN-1972), s'efface sous la multitude des formes cliniques ophtalmoscopiques.

Si l'on s'en tient à la description de KRILL & DEUTMAN, il semble tout de même que ces auteurs isolent bien une entité à électrorétinogramme photopique très altéré ou éteint. Nous pensons cependant que seul cet électrorétinogramme la distingue nettement du STARGARDT actuellement, et que cette affection pourrait être simplement une forme clinique de la maladie de STARGARDT.

## C - RÉTINOPATHIE PIGMENTAIRE CENTRALE ET PÉRICENTRALE (OU RÉTINITE PIGMENTAIRE INVERSE)

DUKE-ELDER, en 1940 et 1967, a défini cette affection qui reste très controversée, il s'agit d'une «*dégénérescence où les altérations pigmentaires, plutôt que d'être en bouquet d'aspect arachnéen ou en points noirs éparpillés, prenaient la forme d'une île encerclant la macula*». Pour la forme péricentrale, il s'agit «*d'une affection montrant un aspect entre la véritable rétinopathie centrale et les lésions classiques de la forme équatoriale chez laquelle une zone pigmentée apparaît immédiatement autour de la macula, souvent avec une bonne vision centrale conservée*».

Si la forme péricentrale fait plus penser à une rétinite pigmentaire, la forme centrale se rapproche des STARGARDT centropériphériques.

Dans la forme centrale, la macula normale au début est entourée de pigmentations en ostéoblastes ; la rétine périphérique est normale, il existe un scotome annulaire autour du point de fixation. La vision des couleurs est altérée d'axe bleu-jaune. L'adaptation à l'obscurité est normale. L'électrophysiologie est peu caractéristique : l'électrorétinogramme est normal ou peu altéré au début (sauf pour RUEDEMANN-1966 et FRANCOIS J. & Coll.-1971-1974). L'électro-oculogramme est normal au début, puis rapidement subnormal. L'angiographie laisse apparaître des lacunes de l'épithélium pigmentaire sur tout le pôle postérieur.

Si la vision est normale au début, elle s'altère rapidement et, dans ces cas, il n'existe pas de signes qui permettent de différencier la maladie de STARGARDT centropériphérique de la rétinite pigmentaire inverse. On comprend alors toutes les réserves et controverses sur cette affection, d'autant plus que beaucoup d'auteurs ont décrit des STARGARDT centropériphériques typiques comme des rétinites pigmentaires inverses. (Von ROTH-1930, LUX-1961).

#### D - DYSTROPHIE CONES-BATONNETS

Caractérisée par une atteinte simultanée cônes et bâtonnets, l'atteinte de ces derniers étant très discrète, cette maladie présente une courbe d'adaptation à l'obscurité monophasique et haute. Il existe une diminution importante de l'acuité visuelle dès le début de l'affection avec une perturbation du sens des couleurs importante. Il existe un scotome central avec parfois un léger rétrécissement des isoptères périphériques. L'électrorétinogramme indique une atteinte très prononcée des cônes associée à une altération moins importante des bâtonnets. L'électro-oculogramme est altéré.

Ce type d'altération ressemble beaucoup aux dégénérescences maculaires juvéniles centropériphériques et nous rejoignons tout à fait l'opinion de DEUTMAN, en 1971, qui les classe dans les STARGARDT centropériphériques très évolués.

## DIAGNOSTIC

Le diagnostic d'un STARGARDT pur ou flavimaculé n'est pas aussi facile qu'on pourrait le croire dès l'abord.

## 1- Au STADE PRECOCE ou DE DEBUT

Les lésions ophtalmoscopiquement visibles sont minimales et ceci explique qu'un bon nombre de ces malades soient l'objet d'erreur diagnostique, DEUTMAN y insiste à juste raison. Il s'agit d'adolescents, parfois d'enfants, dont le comportement peut influencer le diagnostic. On parle de trouble fonctionnel, de pithiatisme, voire d'hystérie, pour expliquer le trouble visuel sans grande explication ophtalmoscopique. On porte le diagnostic de névrite optique axiale, comme nous l'avons fait, chez quelques-uns de nos malades.

En fait, le diagnostic peut, à ce stade, être affirmé :

- par la fluorographie qui fera apparaître des lésions soit maculaires, soit flavimaculées
- par la périmétrie de profil qui montre un scotome périfovéolaire et non une atteinte de la pente inter-papillo-maculaire
- par l'étude soignée des antécédents du malade à la recherche de phénomènes héréditaires récessifs ou dominants.

## 2- Aux STADES des MANIFESTATIONS OPHTALMOSCOPIQUES

Le trouble visuel chez le jeune patient attire l'attention sur la macula qui apparaît anormale à l'examen.

## A - POUR LES FORMES DE STARGARDT PUR, ON ÉLIMINE FACILEMENT :

### a) Les thésaurismoses avec dégénérescence ganglionnaire (type SPIELMEYER-VOGT)

- où l'aspect ophtalmoscopique est totalement différent : tache rouge-cerise entourée d'un halo grisâtre
- où la fluorographie ne montre aucune lésion de l'épithélium pigmentaire, du moins au début (voir plus loin *œil de bœuf*)
- où l'électrorétinogramme et l'électro-oculogramme ne sont pas perturbés
- où les manifestations neurologiques associées sont constantes.

### b) Les dégénérescences des couches superficielles de la macula, le Rétinoschysis central

Ici la macula prend un aspect cystoïde avec plis radiaires très visibles en biomicroscopie. Il s'y associe des lésions périphériques caractéristiques : aspect marqueté, kyste périphérique, décollement rétinien, condensation vitréenne.

La fluorographie est normale  
L'électrorétinogramme montre un déficit b<sup>1</sup>  
La transmission est récessive, liée au sexe  
L'affection n'atteint que les hommes.

### c) La dégénérescence vitelliforme

Le problème ne peut se poser qu'à un stade évolué de cette affection.  
L'acuité visuelle est souvent meilleure.  
Ophtalmoscopiquement, il est rare que le matériel vitellin ait totalement disparu.  
Sur le plan fluorographique, la destruction de l'épithélium pigmentaire est souvent plus intense et plus large.  
L'électrorétinogramme est normal, mais l'électro-oculogramme est très perturbé en particulier le rapport de ARDEN.  
Enfin l'affection est pratiquement toujours dominante.

### d) Les dégénérescences rétinienne acquises (latrogène)

d<sup>1</sup> - **Rétinopathie par anti-paludéens** : c'est l'affection qui, sur le plan clinique, ressemble le plus au STARGARDT. Baisse d'acuité visuelle avec au début respect du bouquet de cônes centraux ; périfovéolopathie vraie en périmétrie statique ; trouble de la vision chromatique ;

aspects ophtalmoscopique et fluorographique voisins de la maladie de STARGARDT avec apparition de «*l'œil de bœuf*» caractéristique. (Fig. 71). Il peut exister une altération électro-rétinographique et électro-oculographique. Au stade terminal : atteinte centropériphérique avec remaniements atrophiques et pigmentaires périphériques, vaisseaux rétinien rétrécis et atrophie optique.

Le diagnostic se fait par l'interrogatoire du malade en mettant en évidence l'intoxication responsable.

Il est intéressant, cependant, de comparer sur le plan évolutif et pathogénique, ces deux affections. Ici la lésion de l'épithélium pigmentaire sous l'influence du toxique a été expérimentalement prouvée (BABEL J.-1969), le retentissement rétinien n'est que secondaire.

Il n'est pas impossible qu'il en soit de même pour la maladie de STARGARDT.

d<sup>2</sup> - «*L'œil de bœuf*» : l'aspect fluorographique en «*œil de bœuf*» peut être retrouvé dans différentes maladies. DEUTMAN, en 1973, à Heidelberg, signale cet aspect dans : la maladie de STARGARDT, la dystrophie des cônes, la dystrophie cônes-bâtonnets, la maladie de SPIELMEYER-VOGT, la rétinopathie à la chloroquinine, mais aussi dans une affection encore innommée qu'il a découverte dans une famille sur trois générations, où les sujets présentaient cet «*œil de bœuf*» fluorographique et une acuité visuelle normale.

Nous avons, nous-même, trouvé un cas avec une image en «*œil de plume de queue de paon*», où l'acuité visuelle était tout à fait normale. Cependant, la périmétrie de profil nous a révélé un déficit périfovéolaire net. (Fig. 72).

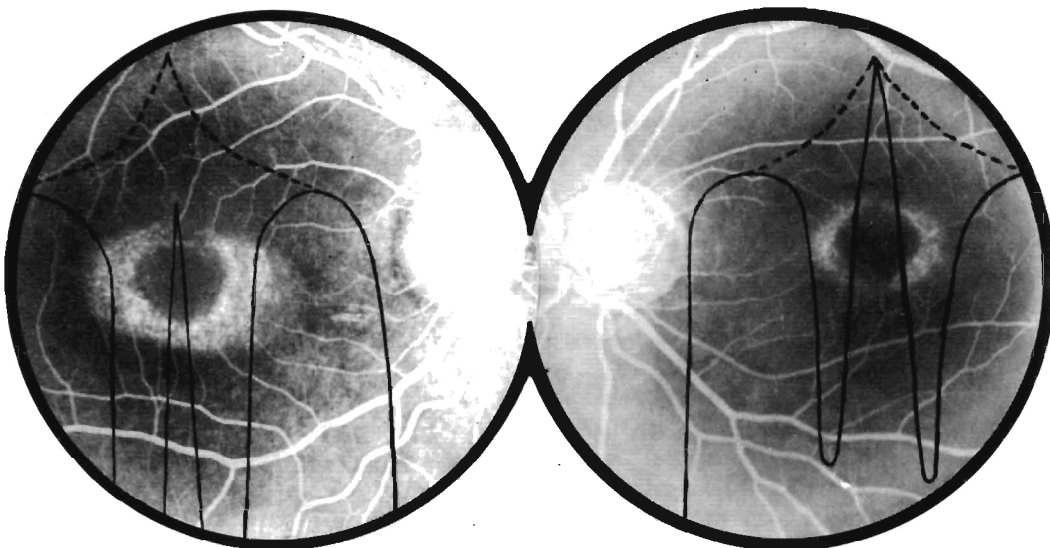
L'étiologie de ces cas ne peut être que très prudemment envisagée. L'existence d'une hérédité dominante semblerait indiquer qu'il s'agit d'une affection génétique proche de la maladie de STARGARDT, mais moins grave. Cependant, la non évolutivité des lésions montre qu'il s'agit probablement de phénomènes anciens cicatriciels et dans ce cas, il pourrait bien s'agir d'une intoxication exogène transitoire au mécanisme analogue à celui de la rétinopathie à la chloroquinine.

## B - POUR LES FORMES FLAVIMACULÉES, LE DIAGNOSTIC EST ENCORE PLUS AISÉ

### a) Les druses disséminées,

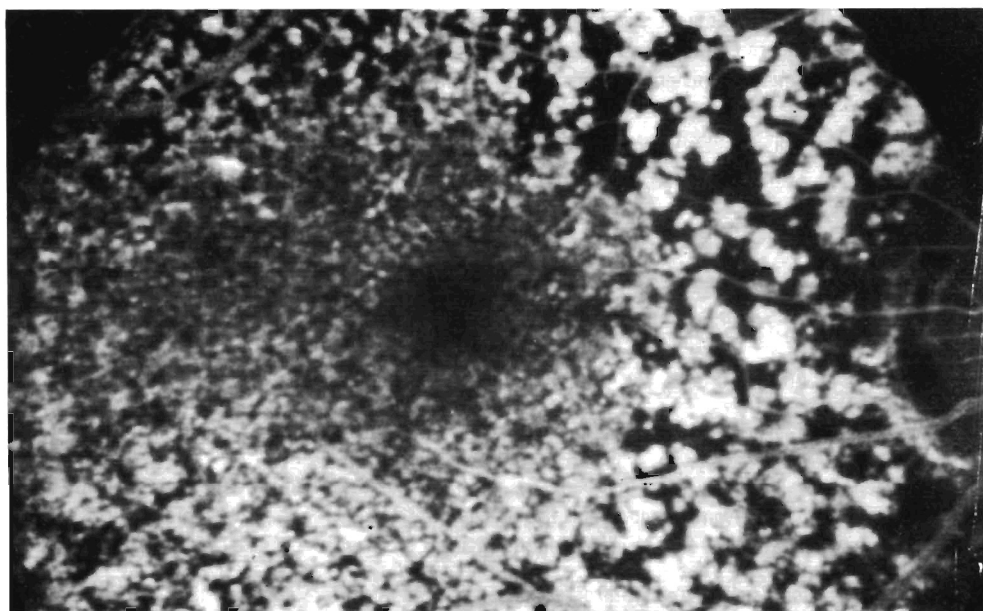
ou dégénérescences colloïdes, ou dégénérescences hyalines . . . Tantôt dégénératives, tantôt héréditaires, elles peuvent s'accompagner tardivement de lésions maculaires. Lorsqu'elles sont héréditaires, elles peuvent être récessives ou dominantes.

Elles apparaissent sur le plan fluorographique totalement différentes : petites taches fluorescentes arrondies à limites nettes, disséminées sur tout le fond d'œil, avec une prédilection maculaire. (Fig. 73).



**Figure 71**  
Rétinopathie par antipaludéens de synthèse  
«œil de bœuf» avec scotome périfovéolaire absolu  
en Périmétrie statique

**Figure 72**  
«œil de bœuf»  
à étiologie indéterminée  
avec scotome périfovéolaire profond



**Figure 73**  
Druses disséminées

#### b) La Rétinite ponctuée albescente

Elle se diagnostique aisément par l'électrorétinogramme très altéré dans le complexe scotopique.

#### c) La dégénérescence vitelliforme éclatée ou multiple

Exceptionnelle, elle peut cependant prendre certains aspects du FUNDUS FLAVIMACULATUS (TURUT P.-1972), le diagnostic est alors fait par l'enquête familiale et l'examen des autres sujets atteints (FRANCOIS P.-1969, TURUT P.-1972).

### 3-Aux STADES TARDIFS

Le diagnostic dans ces cas est souvent rétrospectif, basé sur l'évolution de la maladie, l'âge de début de l'affection, plutôt que sur les caractéristiques ophtalmoscopiques.

Toutes les dégénérescences choroïdiennes ou rétiniennes, touchant l'épithélium pigmentaire, donnent un tableau voisin d'atrophie chorio-rétinienne maculaire avec ses conséquences fonctionnelles et électrologiques.

C'est, à cette époque, l'enquête génétique soignée qui permet de porter le diagnostic exact.

**THERAPEUTIQUE**

Il n'existe pas actuellement de traitement de la maladie de STARGARDT. Aucune thérapeutique ne peut en arrêter l'évolution inexorable, même si le diagnostic a été précoce.

Il est cependant utile d'en faire le diagnostic pour plusieurs raisons :

- permettre l'orientation de l'individu atteint
- l'aider dans son comportement par des appareillages optiques
- lui donner des conseil eugéniques.

## 1- ORIENTATION SOCIALE de L'INDIVIDU ATTEINT

Tout dépend de l'âge d'atteinte du malade :

- **s'il est en âge scolaire**, il est conseillé de l'orienter vers une école d'amblyope ou même d'aveugle. Sa formation professionnelle sera calculée en fonction du trouble visuel futur. L'éducation en braille, parallèlement à la formation de voyant, devrait être pratiquée.
- **s'il a dépassé l'âge scolaire**, il n'existe que peu de centres de rééducation professionnelle, ce qui fait que les formes de l'adulte donnent généralement plus de difficultés pour la réinsertion socio-professionnelle.

## 2- AIDE PAR APPAREILLAGE OPTIQUE

Nous l'avons essayé chaque fois que possible, mais les résultats en sont décevants. Les systèmes utilisés sont :

**\* en vision de près**

- addition de fortes puissances, ce qui équivaut au système microscopique
- ou appareillage télescopique avec bonnette additionnelle.

**\* en vision de loin**

- appareillage télescopique avec système afocal de grossissement 1,8.



On observe très souvent l'abandon des systèmes télescopiques en raison :

- du manque de champ, dû à l'augmentation du grossissement
- de l'étendue du scotome annulaire qui empêche, même en cas de conservation du pic fovéolaire, d'embrasser un champ de vision suffisant (un seul mot est lu sur une ligne, d'où difficultés à se localiser sur la ligne elle-même et d'une ligne à l'autre)
- l'augmentation progressive de ce scotome
- l'instabilité infantile fréquente
- le préjudice esthétique et l'infirmité *«affichée»*.

Il s'agit pourtant d'une aide qui peut être utile mais qui, n'étant tolérée que très peu de temps en port continu (5 à 10 minutes), n'a satisfait que cinq de nos malades sur 23, susceptibles d'être appareillés et chez qui les essais ont été effectués.

## 3- CONSEILS EUGENIQUES

Ils s'adressent rarement aux parents, étant donné l'âge d'apparition de la maladie chez leurs enfants. (Tableau 20).

Pour l'individu atteint, une enquête génétique est indispensable :

- si l'affection apparaît dominante, les risques de transmission doivent lui être signalés
- si l'affection apparaît récessive, le pourcentage infime d'atteinte des enfants l'autorise à procréer. Il faut toutefois lui signaler les risques importants d'un mariage consanguin.

## CONCLUSION

Après une revue générale des nombreuses publications parues sur la maladie de STARGARDT et le FUNDUS FLAVIMACULATUS, et une étude personnelle de 39 malades atteints de STARGARDT et 22 de FUNDUS FLAVIMACULATUS, nous pouvons apporter les conclusions suivantes :

— **Maladie de STARGARDT et FUNDUS FLAVIMACULATUS** sont deux affections identiques dans leurs caractéristiques cliniques, électrophysiologiques et génétiques. Il existe entre la forme strictement maculaire et la forme flavimaculée étendue, une forme intermédiaire avec «*embarras*» périmaculaire. Le fait que l'on ait retrouvé ces trois formes associées indifféremment au sein de mêmes fratries nous amène à penser qu'il s'agit d'une seule maladie à expressivité variable.

— **La Maladie, que STARGARDT a décrite en 1909**, correspond tout à fait aux faits énoncés, puisque, sur les sept sujets décrits dans l'observation princeps, six étaient des formes flavimaculées.

— **La Maladie de STARGARDT, qu'elle soit pure ou flavimaculée**, présente des aspects ophtalmoscopiques et fluorographiques typiques que nous avons rappelés et qui nous ont servi à poser le diagnostic. Nous avons distingué les lésions maculaires des lésions extra-maculaires, ces deux types de lésions coexistant deux fois sur trois.

— **Sur le plan fonctionnel**, l'acuité visuelle tombe en quelques années à 1/10, puis continue très lentement à s'altérer dans le temps. Le déficit fonctionnel, objectivé par l'étude de la vision chromatique, la périmétrie de profil et l'électrorétinogramme, est dû à l'altération grave des cônes maculaires dans les formes localisées à la macula ; lorsque les lésions s'étendent sur tout le pôle postérieur et même plus loin dans les formes centropériphériques, si l'altération reste prédominante pour les cônes, il s'y associe une atteinte des bâtonnets.

— **La dysfonction du neuro-épithélium** s'associe à une altération précoce de l'épithélium pigmentaire comme le montrent les fluorographies et les électro-oculogrammes.

-- **Bien que son tableau clinique soit assez typique**, la maladie de STARGARDT apparaît très polymorphe :

- dans l'âge d'apparition
- dans ses aspects ophtalmoscopiques
- dans les formes observées à l'intérieur d'une même famille.

C'est ce qui lui a valu l'appellation de «*fourre-tout*».

— **C'est pourquoi, on a cherché à isoler d'autres affections dégénératives maculaires juvéniles.** Notre analyse et la revue des publications faites sur ces nouvelles entités ne nous permettent que de retenir, comme forme plus individualisable, la dystrophie des cônes dans la conception de KRILL & DEUTMAN.

— L'hérédité du STARGARDT pur ou flavimaculé est très fréquemment récessive, mais il existe des formes dominantes qui ne doivent pas être individualisées. Il n'existe aucune thérapeutique, mais l'évolution de l'affection ne conduit pas à la cécité totale ; l'acuité visuelle de 1/20 et le champ visuel périphérique conservé permettent aux sujets de mener une certaine activité professionnelle, bien que l'handicap les limite dans leurs études et leurs professions.

— La pathogénie reste inconnue, il s'agit probablement d'un trouble enzymatique. L'atteinte primitive ne peut être située avec certitude bien que l'altération fonctionnelle soit certaine au niveau du cône, l'épithélium pigmentaire souffre de façon très précoce. Il est donc possible que le trouble métabolique agisse au niveau de la jonction épithélium pigmentaire et neuro-épithélium.

## BIBLIOGRAPHIE

**12 - BABEL J.**

Type of macular degeneration.  
In «Photography in ophthalmology»  
*Int. Symp. Fluorescein Angiography, Miami, 1970*  
*Med. Probl. Ophthal., Basel, 9, 163-170, 1971*

**13 - BABEL J.**

Le Fundus Flavimaculatus.  
Étude clinique, fonctionnelle et génétique  
*Arch. Ophthal., Paris, 32, 2, 109-121, 1972*

**14 - BABEL J., ENGLERT V.**

Étude expérimentale de la rétinopathie par la Chloroquine  
*Bull. et Mémoires de la S.F.O., 82ème année, 491-505, 1969*

**15 - BABEL J., FARPOUR H.**

Les lésions de la choroïde dans les hérédodégénérescences  
à la lumière de la fluoro-rétinographie  
*Ophthalmologica, 156, 305-312, 1968*

**16 - BABEL J., STANGOS N.**

Dégénérescence progressive du système photopique  
*Ophthalmologica, 165, 3-4, 392-395, 1972*

**17 - BATTEN R.D.**

Two brothers with symmetrical disease of the maculae,  
commencing at the age of fourteen  
*Trans. Ophthal. Soc. U. K., 17, 48-49, 1897*

**18 - BAUMGARTEN M.**

Zur Kenntnis der Retinitis Pigmentosa und ihre Komplikationen  
mit Glaukom und Makulaveränderungen  
*Thesis, Jena, 1907*

**19 - BEHR C.**

Die Heredodegeneration der Makula  
*Klin. Mbl. Augenheilk., 65, 465-505, 1920*

**20 - BEHR C.**

Ein weiterer Beitrag zur Anatomie und zur Pathogenese der scheibenförmigen  
Degeneration am hinteren Augenpol  
*Z. Augenheilk., 75, 216-237, 1921*

**21 - BERSON E.L., GOURAS P., GUNKEL R.D.**

Progressive cone-rod degeneration  
*Arch. Ophthal., 80, 68-76, 1968*

**22 - BERSON E.L., GOURAS P., GUNKEL R.D.**

Progressive cone degeneration, dominantly inherited  
*Arch. Ophthal., Chicago, 80, 77-83, 1968*

**23 - BESSIERE E., BOUCHARD J., CHABOT J.**

L'électrorétinographie dans les dégénérescences tapéto-rétiniennes.  
A propos de 46 observations  
*Arch. Ophthal., 22, 677-698, 1962*

**24 - BESSIERE E., CHABOT J.**

Observation de deux cas de Maladie de STARGARDT d'apparition tardive  
*Bull. Soc. Ophthal. France, 58, 761-766, 1958*

**25 - BESSIERE E., CHABOT J., DUTERTRE F., MIRANDE R.**

Lésions maculaires différenciées par l'électrorétinographie et l'adaptométrie  
*Bull. Soc. Ophthal. France, 57, 715-718, 1957*

**26 - BESSIERE E., CHABOT J., VERIN Ph.**

Sur une association de la Maladie de STARGARDT, d'atrophie optique et  
d'hérédodégénérescence spino-ponto-cérébelleuse  
*Soc. Franç. Ophthal., Paris, 7 mai 1962*  
*Bull. Mém. Soc. Franç. Ophthal., 75, 285-293, 1962*

**27 - BESSIERE E., VERIN Ph., ROUGIER-HOUSSIN J., LE REBELLER M. J.**

Évaluation de la fonction visuelle dans la Maladie de STARGARDT.  
Déductions physiopathologiques  
*Arch. Ophthal., 29, 463-477, 1969*

**28 - BIETTI G.B.**

Su alcune forme atipiche o rare di degenerazione retinica (degenerazioni  
tappeto-retiniche e quadri morbosi similari)  
*Boll. Oculist., 16, 1159-1244, 1937*

**29 - BLODI F.C.**

The pathology of central TRD (hereditary macular degeneration)  
*Trans. Amer. Acad. Ophthal. Otolaryng., 70, 1047-1053, 1966*

**30 - BOGAERT L. Van**

D'une atrophie cérébelleuse familiale avec dystrophie maculaire (type STARGARDT)  
et anomalies congénitales de la pigmentation cutanée du type de l'incontinentia  
pigmenti  
*Problèmes actuels d'ophtalmologie, 47, 540-550, 1957*

**31 - BONNET P., CHAUVIRÉ E.**

Dégénérescence maculaire associée à une choroïdite guttata  
*J. Ophthal., 2, 365-366, 1943*

**32 - BONNET P., HUGONNIER R.**

Dégénérescence maculaire familiale progressive étudiée sur quatre générations d'une même famille  
*J. Ophtal.*, 2, 336-344, 1943  
*Ann. Ocul.*, 180, 247, 1947

**33 - BONNIN P.**

Que peut-on attendre de l'examen du fond d'œil sous fluorescéine  
*Clin. Ophtal.*, 3, 5-44, 1969

**34 - BONNIN P.**

Le signe du silence choroïdien dans les dégénérescences tapéto-rétiniennes centrales examinées sous fluorescéine  
*Bull. Soc. Ophtal. France*, 3, 348-351, 1971

**35 - BONNIN P., BOUSQUET M.**

La fluorographie rétinienne  
*Concours Médical*, 90, 8130-8142, 1968

**36 - BORSELLINO G.**

Microftalmo bilaterale familiare associato à degenerazione maculare congenitale  
*Rass. Ital. Ottal.*, 4, 181-195, 1935

**37 - BORSOTTI I.**

Considerazione su di un caso di degenerazione tapeto-retinale con sede periferica e centrale (retinite pigmentosa atipica)  
*Rass. Ital. Oftalm.*, 6, 30-61, 1937

**38 - BORSOTTI I.**

Famiglia con degenerazione maculare e polidattilia (Sindrome di Laurence-Moon-Bardet-Biedl frusta)  
*Atti Congr. Soc. Oftal. Ital.*, 121-133, 1939  
*Ref. Zbl. Ges. Ophthal.*, 46, 460, 1941

**39 - BOZZONI F.**

Contributo alla conoscenza delle discromatopsia acquisite  
*Boll. Ocul.*, 38, 297-308, 1959

**40 - BRIHAYE-VAN GEERTRUYDEN M.**

Discussion  
*Bull. Mém. Soc. Franç. Ophtal.*, 75, 291, 1962

**41 - BRINI A.**

Fundus Flavimaculatus  
*Bull. Soc. Ophtal. France*, 66, 222-224, 1966

**42 - BROGNOLI G.**

Sull'insolita evoluzione del quadro oftalmoscopico di due fratelli affetti da degenerazione della macula e dei suoi contorni (STARGARDT)  
*Boll. Oculist.*, 28, 410-423, 1949

**43 - BROWN A.L.**

Familial rosette figure of the macula  
*Amer. J. Ophthal.*, 11, 190, 1928

**44 - BROWN N., HILL D.W.**

Fundus Flavimaculatus. Two familial cases with macular degeneration  
*Brit. J. Ophthal.*, 52, 849-852, 1968

**45 - BUIUC S., BUIUC C.**

Fundus Flavimaculatus, vergesellschaftet mit Degeneration macularis juvenilis  
*Oftalmologia (Bucuresti)*, 11, 41-44, 1967  
*Cit. Zbl. Ges. Ophthal.*, 99, 313, 1968

**46 - BUSSEY F.R., BERKLEY W.L.**

Heredodegeneration of the macula. Occurrence in a family group  
*New York Acad. Med. Sect. Opt.*, 19, 1, 1948

**47 - CAOCCI G.**

Contributo alla conoscenza della degenerazione famigliare della macula (Sindrome di STARGARDT)  
*Boll. Ocul.*, 14, 717-735, 1935

**48 - CARR R.E.**

Fundus Flavimaculatus  
*Arch. Ophthal.*, 74, 163-168, 1965

**49 - CAVARA V.**

Sulla degenerazione famigliare della macula e dei suoi dintorni  
*Boll. Ocul.*, 3, 128-164, 1924  
*Ref. Z. Augenheilk.*, 61, 273, 1924

**50 - CLAUSEN W.**

Heredodegeneratio der Makula  
*Klin. Mbl. Augenheilk.*, 67, 117-118, 1921

**51 - COSCAS G.**

L'exploration angiographique de la macula (au dehors des affections tumorales)  
*Clin. Ophtal.*, 1, 121-130, 1973

**52 - COSCAS G., BERNARD J.A., TRIKI M.F.**

Electro-physiologie clinique dans les œdèmes maculaires  
*Bull. Soc. Ophtal. France*, 71, 524-528, 1971

**53 - COX J.**

Colour vision defects, acquired in diseases of the eye  
*Brit. J. Physiol. Opt.*, 17, 195-216, 1960

**54 - COX J.**

Colour vision defects acquired in diseases of the eye  
IV. Analysis of results. *Brit. J. Physiol. Opt.*, 18, 3-32, 1961

**55 - COX J.**

Colour vision defects acquired in diseases of the eye  
V. Conclusions. *Brit. J. Physiol. Opt.*, 18, 67-84, 1961

**56 - DELPEUCH D.**

Apport des explorations fonctionnelles à la connaissance  
de la Maladie de STARGARDT  
*Thèse, Bordeaux, 1971*

**57 - DEUTMAN A.F.**

The hereditary dystrophies of the posterior pole of the eye  
*Ed. Von Gorcum, Assen, The Netherlands, 1971*

**58 - DEUTMAN A.F.**

Communication sur «l'œil de bœuf» en fluorographie  
*Deutsche Opht. Gesell., Heidelberg, 1973*  
*Ed. J.F. Bergmann, München, 1975*

**59 - DI PRIMA J.**

Un caso di degenerazione progressiva monoculare della macula  
in un giovane soggetto  
*Gior. Ital. Oftal.*, 4, 220-225, 1951

**60 - DOLLFUS M.A., KRAUTHAMER S., CHALVAIGNAC A.**

Sur un nouvel appareil d'électrorétinographie et premiers résultats cliniques  
*Bull. Soc. Ophtal. France*, 51, 627-635, 1951

**61 - DORNE P.A., ESPIARD J.F.**

L'électro-oculogramme. Principe et technique.  
Son intérêt dans l'étude des maculopathies  
*Arch. Ophtal., Paris*, 31, 217-224, 1971

**62 - DUJARDIN**

Rétinite pigmentaire anormale chez deux frères jumeaux  
*Clin. Ophtal.*, 10, 125-127, 1904

**63 - DUKE-ELDER W. St. Sir**

Heredo-macular degeneration  
*Text-book of ophthalmology. Kimpton, Londres, vol. III, 2788-2792, 1940*

**64 - DUKE-ELDER S., DOBREE J.**

System of Ophtalmology. Diseases of the retina  
*Vol. X, p. 628, Kimpton, London, 1967*

**65 - ELWYN H.**

Heredodegenerative diseases of the retina. An attempt of classification  
*Arch. Ophthal., Chicago*, 35, 662-669, 1946

**66 - ELWYN H.**

Heredodegeneration of macula lutea  
*Diseases of the retina, 2ème éd., Churchill, Londres, 312-325, 1954*

**67 - ELWYN H.**

Heredodegeneration and heredoconstitutional defects of the retina  
*Arch. Ophthal.*, 53, 619-633, 1955

**68 - FRANCESCHETTI A., DIETERLE P., GOSLICH H.**

Die Bedeutung der Elektroretinographie für die Prognose der juvenilen  
Makuladegeneration  
*Ber. dtsch. Ophtal. Ges.*, 59, 66-71, 1955

**69 - FRANCESCHETTI A., FRANCOIS J.**

Fundus Flavimaculatus  
*Arch. Ophtal.*, 25, 505-530, 1965

**70 - FRANCESCHETTI A., FRANCOIS J., BABEL J.**

Les hérédodégénérescences chorio-rétiniennes  
*Masson, Paris, 1963*

**71 - FRANCESCHETTI A., KLEIN D.**

Über das Vorkommen von hereditärer juvenilen Makuladegeneration (typ Stargardt)  
bei zwei Geschwisterpaaren der Friedreich Sippe «Glaser» mit kasuistischen  
Beiträgen von Retinitis pigmentosa und dominanter labyrinthärer Schwerhörigkeit  
*Arch. Klaus-Stift. Vererb. Forsch.*, 16, 469-493, 1941

**72 - FRANCESCHETTI A., KLEIN D.**

Weiterer Beitrag zur Frage der genetischen Beziehungen zwischen der Friedreich'sen  
Ataxie und den verschiedenen Formen der tapeto-retinalen Degenerationen  
*Bull. Acad. Suisse Med.*, 2, 321-330, 1947  
*Arch. Klaus-Stift. Vererb. Forsch.*, 22, 93-121, 1947

**73 - FRANCOIS J.**

a) Contribution à l'étude des hérédodégénérescences tapéto-rétiniennes  
(Dégénérescence chorio-rétinienne familiale à hérédité dominante. Coexistence  
familiale de la dégénérescence pigmentaire de la rétine et de la Maladie de Stargardt)  
*Acta Neurol. et Psych. belg.*, 49, 677-704, 1949

**74 - FRANCOIS J.**

Contribution à l'étude des hérédodégénérescences tapéto-rétiniennes  
*Ophthalmologica*, 118, 1-29, 1949

**75 - FRANCOIS J.**

Nouvelle contribution à l'étude des hérédodégénérescences tapéto-rétiniennes périphériques et centrales  
*Acta XVI<sup>e</sup> Concil. Ophthal. Brit.*, Vol. 1, 498-506, 1950

**76 - FRANCOIS J.**

Premiers essais d'électrorétinographie clinique  
*Bull. Acad. Roy. Méd. Belg.*, 17, 67-80, 1952

**77 - FRANCOIS J.**

The differential diagnosis of tapeto-retinal degenerations  
*Arch. Ophthal.*, Chicago, 59, 88-120, 1958

**78 - FRANCOIS J.**

Dégénérescences maculaires juvéniles  
*Arch. Ophtal.*, Paris, 34, 6-7, 497-512, 1974

**79 - FRANCOIS J., DE LAEY J.J.**

L'angiographie fluorescéinique dans les dégénérescences maculaires juvéniles  
*Arch. Ophtal.*, 29, 497-508, 1969

**80 - FRANCOIS J., DE LAEY J.J.**

Dégénérescences maculaires juvéniles et fluoro-angiographie rétinienne  
*Bull. Mém. Soc. Franç. Ophtal.*, 82, 417-431, 1969

**81 - FRANCOIS J., DE LAYE J.J.**

Fluorescein angiography of heredo-degenerative macular disorders.  
In «Photography in Ophthalmology»  
*Int. Symp. Fluorescein Angiography, Miami*, 1970  
*Mod. Probl. Ophthal.*, Basel, 9, 178-187, 1971

**82 - FRANCOIS J., DE ROUCK A.**

Compared EOG and ERG in some retinal diseases affecting the posterior pole. In Schmoeger E. Advances in Electro-physiology and pathology of the visual system  
*G. Thieme Edit.*, 69-76, 1968

**83 - FRANCOIS J., DE ROUCK A., CAMBIE E., ZANEN A.**

L'électro-diagnostic des affections rétiniennees  
*Rapp. Soc. Belg. Ophtal.*, Masson, 1974

**84 - FRANCOIS J., DE ROUCK A., FERNANDEZ-SASSO D.**

Electroretinography and electro-oculography in diseases of the posterior pole of the eye  
*In Adv. Ophthal.*, 21, 132-163, Karger, Basel, 1969

**85 - FRANCOIS J., DE ROUCK A., VERRIEST G., DE LAYE J.J., CAMBIE E.**

Progressive generalized cone dysfunction  
*Ophthalmologica*, 169, 255-284, 1974

**86 - FRANCOIS J., MASTILOVIC B.**

L'hétérochromie de Fuchs associée aux hérédodégénérescences chorio-rétiniennes  
*Ann. Ocul.*, 194, 385-396, 1961

**87 - FRANCOIS J., VERRIEST G.**

La détection à l'aide des tests de Farnsworth des dyschromatopsies acquises dans les dégénérescences tapéto-rétiniennes  
*Bull. Soc. Belge Ophtal.*, 113, 381-398, 1956

**88 - FRANCOIS J., VERRIEST G.**

Les dyschromatopsies acquises  
*Ann. Ocul.*, 190, 713-746 – 812-859 – 893-943, 1957

**89 - FRANCOIS J., DE ROUCK A., VERRIEST G.**

Les fonctions visuelles dans les dégénérescences tapéto-rétiniennes  
*Bibl. Ophtal.*, fasc. 43, Karger, Basel, 1956

**90 - FRANCOIS J., VERRIEST G., DE ROUCK A.**

Hérédodégénérescence maculaire juvénile avec atteinte prédominante de la vision photopique  
*Ann. Ocul.*, 195, 1137-1191, 1962

**91 - FRANCOIS J., VERRIEST G., DE ROUCK A., HUMBLET M.**

Dégénérescence maculaire juvénile avec atteinte prédominante de la vision photopique  
*Ophthalmologica*, 131, 393-402, 1956

**92 - FRANCOIS P., CONSTANTINIDES G., TURUT P., HACHE J.C., DUFOUR D.**

Périmétrie statique en pathologie maculaire  
*Bull. Mém. Soc. Franç. Ophtal.*, 283-291, 1972

**93 - FRANCOIS P., DUFOUR D., HACHE J.C., TURUT P.**

Les dégénérescences vitelliformes  
*Bull. Mém. Soc. Franç. Ophtal.*, 82, 363-368, 1969

**94 - FRANCOIS P., TURUT P., CONSTANTINIDES G.**

Die Entwicklungsstadien der hereditären juvenilen Makuladegeneration  
*Deutsche Opht. Gesell., Heidelberg*, 217-220, 1973  
*Ed. J.F. Bergmann, München*, 1975



**74 - FRANCOIS J.**

Contribution à l'étude des hérédodégénérescences tapéto-rétiniennes  
*Ophthalmologica*, 118, 1-29, 1949

**75 - FRANCOIS J.**

Nouvelle contribution à l'étude des hérédodégénérescences tapéto-rétiniennes périphériques et centrales  
*Acta XVI<sup>e</sup> Concil. Ophthal. Brit.*, Vol. 1, 498-506, 1950

**76 - FRANCOIS J.**

Premiers essais d'électrorétinographie clinique  
*Bull. Acad. Roy. Méd. Belg.*, 17, 67-80, 1952

**77 - FRANCOIS J.**

The differential diagnosis of tapeto-retinal degenerations  
*Arch. Ophthal.*, Chicago, 59, 88-120, 1958

**78 - FRANCOIS J.**

Dégénérescences maculaires juvéniles  
*Arch. Ophtal.*, Paris, 34, 6-7, 497-512, 1974

**79 - FRANCOIS J., DE LAEY J.J.**

L'angiographie fluorescéinique dans les dégénérescences maculaires juvéniles  
*Arch. Ophtal.*, 29, 497-508, 1969

**80 - FRANCOIS J., DE LAEY J.J.**

Dégénérescences maculaires juvéniles et fluoro-angiographie rétinienne  
*Bull. Mém. Soc. Franç. Ophtal.*, 82, 417-431, 1969

**81 - FRANCOIS J., DE LAYE J.J.**

Fluorescein angiography of heredo-degenerative macular disorders.  
In «Photography in Ophthalmology»  
*Int. Symp. Fluorescein Angiography, Miami*, 1970  
*Mod. Probl. Ophthal.*, Basel, 9, 178-187, 1971

**82 - FRANCOIS J., DE ROUCK A.**

Compared EOG and ERG in some retinal diseases affecting the posterior pole. In Schmoeger E. Advances in Electro-physiology and pathology of the visual system  
*G. Thieme Edit.*, 69-76, 1968

**83 - FRANCOIS J., DE ROUCK A., CAMBIE E., ZANEN A.**

L'électro-diagnostic des affections rétiniennees  
*Rapp. Soc. Belg. Ophtal.*, Masson, 1974

**84 - FRANCOIS J., DE ROUCK A., FERNANDEZ-SASSO D.**

Electroretinography and electro-oculography in diseases of the posterior pole of the eye  
*In Adv. Ophthal.*, 21, 132-163, Karger, Basel, 1969

**85 - FRANCOIS J., DE ROUCK A., VERRIEST G., DE LAYE J.J., CAMBIE E.**

Progressive generalized cone dysfunction  
*Ophthalmologica*, 169, 255-284, 1974

**86 - FRANCOIS J., MASTILOVIC B.**

L'hétérochromie de Fuchs associée aux hérédodégénérescences chorio-rétiniennes  
*Ann. Ocul.*, 194, 385-396, 1961

**87 - FRANCOIS J., VERRIEST G.**

La détection à l'aide des tests de Farnsworth des dyschromatopsies acquises dans les dégénérescences tapéto-rétiniennes  
*Bull. Soc. Belge Ophtal.*, 113, 381-398, 1956

**88 - FRANCOIS J., VERRIEST G.**

Les dyschromatopsies acquises  
*Ann. Ocul.*, 190, 713-746 – 812-859 – 893-943, 1957

**89 - FRANCOIS J., DE ROUCK A., VERRIEST G.**

Les fonctions visuelles dans les dégénérescences tapéto-rétiniennes  
*Bibl. Ophtal.*, fasc. 43, Karger, Basel, 1956

**90 - FRANCOIS J., VERRIEST G., DE ROUCK A.**

Hérédodégénérescence maculaire juvénile avec atteinte prédominante de la vision photopique  
*Ann. Ocul.*, 195, 1137-1191, 1962

**91 - FRANCOIS J., VERRIEST G., DE ROUCK A., HUMBLET M.**

Dégénérescence maculaire juvénile avec atteinte prédominante de la vision photopique  
*Ophthalmologica*, 131, 393-402, 1956

**92 - FRANCOIS P., CONSTANTINIDES G., TURUT P., HACHE J.C., DUFOUR D.**

Périmétrie statique en pathologie maculaire  
*Bull. Mém. Soc. Franç. Ophtal.*, 283-291, 1972

**93 - FRANCOIS P., DUFOUR D., HACHE J.C., TURUT P.**

Les dégénérescences vitelliformes  
*Bull. Mém. Soc. Franç. Ophtal.*, 82, 363-368, 1969

**94 - FRANCOIS P., TURUT P., CONSTANTINIDES G.**

Die Entwicklungsstadien der hereditären juvenilen Makuladegeneration  
*Deutsche Opht. Gesell., Heidelberg*, 217-220, 1973  
*Ed. J.F. Bergmann, München*, 1975

**95 - FRIEMANN W.**

Heredodegeneration der Makula Hyperkinesen  
*Klin. Mbl. Augenheilk.*, 126, 460-469, 1955

**96 - GABA V.**

Observation of the onset of macular degeneration  
*Cs. Ophthalmol.*, 12, 432-435, 1956  
*Ref. Ophthalmol. Lit.*, 10, 500, 1957

**97 - GASS J.D.M.**

Acute multifocal placoid pigment epitheliopathy  
*Arch. Ophthalmol.*, Chicago, 80, 177-185, 1968

**98 - GLIEM H.**

Das Elektro-oculogramm. Abhandlungen aus dem Gebiete  
der Augenheilkunde  
Band 40, G. Thieme, Leipzig, 1971

**99 - GOODMAN G., RIPPS H., SIEGEL I.M.**

Cone dysfunction syndromes  
*Arch. Ophthalmol.*, 70, 214-231, 1963

**100 - GOODMAN G., RIPPS H., SIEGEL I.M.**

Progressive cone degeneration. In clinical electroretinography  
*Proceedings of the 3rd ISCERG Symposium Illinois*, 363-372, 1964

**101 - GRÜTZNER P.**

Typische erworbene Farbensinnstörungen bei heredodegenerativen Makulaleiden  
*Graefes. Arch. Ophthalmol.*, 163, 99-116, 1961

**102 - HALLERMANN W.**

Zur Differential-Diagnose entzündlicher und degenerativer Veränderungen  
am hinteren Augenpol  
*Klin. Mbl. Augenheilk.*, 106, 337-339, 1941

**103 - HECK J.**

The flicker-electroretinogram of the human eye  
*Acta Physiol. Scand.*, 39, 158-166, 1957

**104 - HELLNER K.A.**

Drusen der Bruchschen Membran oder Fundus Flavimaculatus  
*Ber. dtsh. Ophthalmol. Ges.*, 68, 521-522, 1967

**105 - HENKES H.E.**

Differentiation and evaluation of rod and cone system responses  
in the human electroretinogram  
*Ophthalmologica*, 135, 138-146, 1958

**106 - HOLLWICH F.**

Apparition familiale d'un Fundus Flavimaculatus  
*Bull. Soc. Franç. Ophtal.*, 76, 135-136, 1963

**107 - HOLLWICH F.**

Familiäres Auftreten des Fundus Flavimaculatus  
*Klin. Mbl. Augenheilk.*, 143, 817-821, 1963

**108 - HONG S.**

Types of acquired colour vision defects  
*Arch. Ophthalmol.*, 58, 505-509, 1957

**109 - IRVINE A.R., WERGELAND F.L.**

Stargardt's hereditary progressive macular degeneration  
*Brit. J. Ophthalmol.*, 56, 817-825, 1972

**110 - ISER G., GOODMAN G.**

Clinical studies with flicker electroretinography  
*Amer. J. Ophthalmol.*, 42, 227-238, 1956

**111 - JACKSON E.**

A type of degeneration involving the central zone of the choroid and retina  
*Trans. Amer. Ophthalmol.*, 42, 199-205, 1956

**112 - JACOBSON J.H., BASAR A., KORNZWEIG A.L.**

Spectro-differential electroretinography in macular disease

**113 - JAEGER**

Hereditäre Degeneration der Makula  
*Dtsche. Ophthalmol. Ges., Heidelberg*, 1973

**114 - JAYLE G.E., BOYER R.L., CAMO R.L.**

L'électrorétinographie dynamique en ophtalmologie  
*Ed. Masson, Paris*, 1959

**115 - JAYLE G.E., LE BRETON-OLIVEAU G.**

Principes généraux de la séméiologie de l'E.R.G.  
*Bull. Soc. Ophtal. Franç.*, 64, 629, 1964

**116 - JAYLE G.E., TASSY A.F.**

E.R.G., E.O.G., Potentiels évoqués visuels occipitaux  
*Arch. Ophtal.*, 27, 421-437, 1967

**117 - JENNINGS J.E.**

Symmetrical degeneration of the macula in three children of the same family  
*Amer. J. Ophthalmol.*, 26, 296-297, 1909

**118 - JÜTTE A., LEMKE L.**

Intravitalfärbung am Augenhintergrund mit Fluoreszein-Natrium  
*Klin. Mbl. Augenheilk., suppl., 49, 128 pp., 1968*

**119 - KAHAN A., SIPOS M.**

Die Feinstruktur der Makulagegend im Lichte der Funktionsprüfung  
von zentralen Tapeto-retinal Degenerationfällen  
*Graefes Arch. Ophthalm., 151, 476-499, 1951*

**120 - KAREL I.**

Fundus Flavimaculatus  
*Cs. Oftal., 24, 244-248, 1968*

**121 - KARPE G.**

The basis of clinical electroretinography  
*Acta Ophthalm., (Kbh), 24, suppl., 1945*

**122 - KARPE G.**

Indications for clinical electroretinography  
*Arch. Ophthalm., Chicago, 60, 889-896, 1958*

**123 - KELSEY J.H.**

Electrophysiological test of visual function  
*In Fricker S. J. Electrical responses of the visual system.*  
*International ophthalmology clinics, Vol. 9, N.Y., 883-898, Winter 1969*

**124 - KLIEN B.A.**

The heredodegeneration of the macula lutea.  
Diagnostic and differential diagnostic; considerations  
*Amer. J. Ophthalm., 33, 371-373, 1950*

**125 - KLIEN B.A.**

Diseases of the macula. Basic Histopathologic Processes in Retina, Pigment  
Epithelium, and Choroid which modify their clinical appearance  
*Arch. Ophthalm., Chicago, 60, 175-186, 1958*

**126 - KLIEN B.A., KRILL A.E.**

Fundus Flavimaculatus. Clinical, functional and histopathological observations  
*Amer. J. Ophthalm., 64, 3-23, 1967*

**127 - KOZLOWSKI B.**

On the familial degeneration of the macula of Stargardt's type  
*Klin. Oczna., 28, 49-59, 1958*

**128 - KRILL A.E.**

Second Symposium on the physiology of macular lesions. The electroretinographic  
and electro-oculographic findings in patients with macular lesions  
*Trans. Amer. Acad. Ophthalm. Otolaryng., 70, 1063-1083, 1966*

**129 - KRILL A.E., DEUTMAN A.F.**

Dominant macular degeneration. The cone dystrophies  
*Amer. J. Ophthalm., 73, 352-369, 1972*

**130 - KRILL A.E., DEUTMAN A.F., FISHMAN M.**

The cone dystrophies  
*Docum. Ophthalm., 35, 1-80, 1973*

**131 - KRILL A.E., KLIEN B.A.**

Flecked retina syndrome  
*Arch. Ophthalm., 74, 496-508, 1965*

**132 - LANDOLT E.**

Über gleichartige, von der Sehschärfe unabhängige Farbensinnstörung  
bei drei Geschwistern mit Makuladegeneration  
*Graefes Arch. Ophthalm., 156, 323-327, 1955*

**133 - LANG W.**

Central choroiditis with disseminated patches in remainder of Fundus  
*Trans. Ophthalm. Soc. U. K., 5, 140-141, 1885*

**134 - LEWINA L.S.**

Familiäre hereditäre Degeneration der Makula lutea  
*Russki Oftal. J., 2, 44-46, 1923*  
*Ref. Zbl. Ges. Ophthalm., 11, 294, 1924*

**135 - LIJO PAVIA J.**

La documentacion de las alteraciones de la vision cromatica por la  
fotografia de los colores  
*Rev. especialid., 6, 992-997, 1931*

**136 - LIJO PAVIA J.**

Un caso de degeneracion macular  
*Rev. oto-neuro-oftal., 7, 83-92, 1932*

**137 - LLOYD R.L.**

Hereditary degeneration of the macula  
*Amer. J. Ophthalm., 26, 499-508, 1943*

**138 - LUX P.**

Elektroretinographische Befunde bei einer Familie mit Retinopathia  
pigmentosa centralis (sog. inverser Typ)  
*Ber. dtsch. Ophthalm. Ges., 63, 322-326, 1960*

**139 - MAGERS J.**

Über hereditäre Sehnervenatrophie und hereditäre Chorioiditis  
*Thesis, Iena, 1899*

**140 - MALIK S.R.K., SOOD G.C., GUPTA A.N., GUPTA D.K.**

Heredo-macular degeneration with congenital keratoconus  
*Orient. Arch. Ophthalm.*, 4, 177-180, 1966

**141 - MERIN S., LANDAU J.**

Abnormal findings in relative patients with juvenile hereditary macular degeneration (Stargardt's disease)  
*Ophthalmologica*, 161, 1-10, 1970

**142 - MISSIROLI G.**

Degenerazione tapeto-retinica, bilaterale e simmetrica, a sede para-maculare  
*Boll. Oculist.*, 26, 655-660, 1947

**143 - MORELLI E.**

Sulla degenerazione famigliare ereditaria della macula  
*Boll. Ocul.*, 3, 303-319 - 391-412, 1924  
*Ref. Klin. Mbl. Augenheilk.*, 73, 277, 1924

**144 - MYLIUS K.**

Über Fundusveränderungen ausserhalb des Foveagebietes bei der Heredodegeneration der Makula (Behr)  
*Klin. Mbl. Augenheilk.*, 126, 539-546, 1955

**145 - NEWELL F.W., KRILL A.E., FARKAS T.G.**

Drusen and Fundus Flavimaculatus : clinical, functional and histologic characteristics  
*Trans. Amer. Acad. Ophthalm. Otolaryng.*, 76, 88-100, 1972

**146 - NIEMEYER G.**

Elektroretinographie bei Makuladegenerationen  
*V. Graefes. Archiv. Ophthalm.*, 177, 39-51, 1969

**147 - NORTON E.W.D., GASS J.D., SMITH J.L., CURTIN V.T., DAVID N.J., JUSTICE J.H.**

Symposium : Macular diseases diagnosis. Fluorescein in the study of macular disease  
*Trans. Amer. Acad. Ophthalm. Otolaryng.*, 69, 631, 1965

**148 - PASSMORE J.A., ROBERTSON D.M.**

Ring scotomata in Fundus Flavimaculatus  
*Amer. J. Ophthalm.*, 80, 907-912, Nov. 1975

**149 - PAUFIQUE L., HERVOUET F.**

Anatomie pathologique d'un cas de Maladie de Stargardt  
*Bull. Soc. Franç. Ophtal.*, 76, 108-114, 1963

**150 - PERDRIEL G., CHEVALERAUD J., DELPUGET J., BOURGEOIS H.**

L'exploration fonctionnelle dans les dégénérescences maculaires non séniles  
*Bull. Mém. Soc. Franç. Ophtal.*, 82, 458-465, 1969

**151 - PERDRIEL G., CHEVALERAUD J., FAYOLLE A.**

Intérêt de l'association E.R.G./E.O.G. dans les affections de la chorio-rétine  
*Bull. Soc. Franç. Ophtal.*, 70, 14-20, 1970

**152 - PERINI S.**

Fundus Flavimaculatus  
*Ann. Ottal.*, 42, 128-141, 1966

**153 - PETRONIO G.**

Contributo allo studio delle degenerazioni tappeto-retiniche abbinata : centrali e periferiche  
*Arch. Ottal. Clin. Ocul.*, 48, 203-225, 1941

**154 - PINKERS A.**

La Maladie de STARGARDT (E.R.G., E.O.G. et sens chromatique)  
*Ann. Oculist.*, 204, 1331-1346, 1971

**155 - PONTE F.**

Patologia della membrana di Bruch e Fundus Flavimaculatus  
Considerazioni anatomo-cliniche  
*Boll. Oculist.*, 45, 480-496, 1966

**156 - PONTE F.**

Electroretinographic evaluation of the sectorial tapeto-retinal degenerations  
*Proceedings of the 4th ISCERG Symposium J.J.O. Tokyo*, Vol. 10, Suppl., 282-285, 1966

**157 - PUECH B., TURUT P., FRANCOIS P., HACHE J.C.**

Maladie de STARGARDT Flavimaculée Incipiens  
*Bull. Soc. Ophtal. France*, 1976

**158 - RAVAUULT M.P., GIROD M., MORIN E.**

A propos de deux cas familiaux de Fundus Flavimaculatus  
*Bull. Soc. Ophtal. France*, 66, 683-686, 1966

**159 - RIEGER H.**

a) Tapeto-retinale Degeneration  
*Ophthalm. Ges., Wien*, 261, 1925  
*Z. Augenheilk.*, 55, 346-348, 1925

**160 - RIEGER H.**

b) Ein Beitrag zur Kasuistik der tapetoretinalen Degeneration (Heredodegeneration der Makula mit Beteiligung der Peripherie bei 3 Brüdern)  
*Z. Augenheilk.*, 57, 429-463, 1925

**161 - DE ROSA G.**

Degenerazione della macula microftalmo familiari congeniti  
*Arch. di Ottal.*, 32, 540-544, 1925

**162 - ROSEHR K.**

Über den weiteren Verlauf der von Stargardt und Behr beschriebenen familiären Degeneration der Makula  
*Klin. Mbl. Augenheilk.*, 124, 171-179, 1954

**163 - RÖTTH A. Von**

Infantile Heredodegeneration der Makulagegend in Form von retinitis pigmentosa inversa  
*Ber. dtsh. Ophthal. Ges.*, 48, 380-384, 1930

**164 - ROUHER F., SERPIN G., SOLE P.**

A propos de deux observations de Fundus Flavimaculatus  
*Bull. Soc. Ophtal. France*, 66, 973-977, 1966

**165 - ROUMAJON Y.**

Un cas d'aphasie après hémiplégie congénitale avec dégénérescence maculaire associée  
*Thèse, Paris*, 1944

**166 - RUEDEMANN Jr. A.D., NOELL W.K.**

The electroretinogram in central retinal degeneration  
*Trans. Amer. Acad. Ophthal. Otolaryng.*, 65, 576-594, 1961

**167 - SCHENK H.**

Fundus Flavimaculatus  
*Wien. Klin. Wschr.*, 76/44, 775-776, 1964

**168 - SCIALFA A.**

Fundus Flavimaculatus  
*Gior. Ital. di Oftal.*, 17, 341-335, 1964

**169 - SLOAN L.L., BROWN D.J.**

Progressive retinal degeneration with selective involvement of the cone mechanism  
*Amer. J. Ophthal.*, 54, 629-641, 1962

**170 - SORSBY A.**

The dystrophies of the macula  
*Brit. J. Ophthal.*, 24, 469-533, 1940

**171 - SORSBY A.**

Retinitis pigmentosa with macular dystrophy. Report of a familial group  
*Brit. J. Ophthal.*, 25, 524-526, 1941

**172 - STANGOS N., SPRITUS M., KAROL S.**

E.R.G. et E.O.G. dans les affections maculaires dégénératives  
*Arch. Ophtal., Paris*, 32-4 — 277-290, 1972

**173 - STARGARDT K.**

Über familiäre, progressive Degeneration in der Makulagegend des Auges  
*Graefes. Arch. Ophthal.*, 71, 534-550, 1909

**174 - STARGARDT K.**

Über familiäre, progressive Degeneration in der Makulagegend des Auges  
*Ztsch. f. Augenheilk.*, 30, 95-116, 1913

**175 - STARGARDT K.**

Zur Kasuistik der «familiären, progressiven Degeneration in der Makulagegend des Auges»  
*Ztsch. f. Augenheilk.*, 35, 249-255, 1916

**176 - STARGARDT K.**

Über familiäre Degeneration in der Makulagegend des Auges, mit und ohne psychische Störungen  
*Arch. Psychiat. Nervenkr.*, 58, 852-887, 1917

**177 - STARGARDT K.**

Ein Fall von familiäre progressiver Makuladegeneration  
*Klin. Mbl. Augenheilk.*, 75, 246, 1925

**178 - STEINDORFF**

Zwei Schwestern mit doppelseitiger Optikusatrophie und chorioiditischen Veränderungen in der Makula  
*Klin. Mbl. Augenheilk.*, 44, 553, 1906

**179 - STEINMETZ R.D., OGLE K.N., RUCKER C.W.**

Some physiologic considerations of hereditary macular degenerations  
*Amer. J. Ophthal.*, 42, 304-319, 1956

**180 - SUN S.F.**

Heredodegeneration with report of case infantile type without cerebral symptom  
*Clin. J. Ophthal.*, 2, 20-23, 1951  
*Clin. Med. J.*, 69, 440-444, 1951  
*Ref. Amer. J. hum. Genet.*, 4, 390, 1952

**181 - TASSY A.F.**

Utilisation de la méthode de sommation en électrophysiologie et électrodiagnostic ophtalmologique  
*Thèse, Marseille*, 1966

**182 - TILLE H.**

Lésions de la macula lutea chez l'enfant et l'adolescent dites «Maladie de STARGARDT»  
*Thèse, Paris*, 1929 (Ed. Maloine, Paris)

**183 - TOSELLI C., VOLPI U.**

Contributo clinico allo studio del Fundus Flavimaculatus  
*Annal. Ottal., 92, 214-218, 1966*

**184 - TOUFIC D.**

L'électrorétinographie clinique de la région maculaire  
*Thèse, Bordeaux, 1959*

**185 - TURUT P., HACHE J.CI., CONSTANTINIDES G., DUFOUR D.**

Les maculopathies périphériques  
*Bull. Soc. Ophtal. France, 9-10, 918-923, 1971*

**186 - TURUT P.**

La dégénérescence vitelliforme de la macula  
*Thèse, Lille, 1972*

**187 - TURUT P., HACHE J.CI., WOILLEZ M.**

Fundus Flavimaculatus et dégénérescence vitelliforme de la macula  
*Bull. Soc. Ophtal. France, 1972*

**188 - TURUT P., PUECH B., FRANCOIS P., HACHE J.CI.**

Fundus Flavimaculatus à hérédité dominante  
*Bull. Soc. Ophtal. France, 309-315, 1975*

**189 - VAIL D., SHOCH D.**

Hereditary degeneration of the macula  
*Trans. Amer. Ophthalm. Soc., 63, 51-63, 1965*

**190 - VALUDE E.**

Doppelseitige angeborenen Retinitis und Pigmentierung in der Makulagegend  
*Ref. Klin. Mbl. Augenheilk., 44, 426, 1906*

**191 - VALUDE E., SCHIFF-WERTHEIMER S.**

Double chorio-rétinite maculaire juvénile et non familiale  
*Bull. Soc. Ophtal., Paris, 287-290, 1925*

**192 - VERRIEST G.**

Les déficiences acquises de la discrimination chromatique  
*Acad. Royale. Belg., Mémoires 11ème série IV, 5, 169-173, 1964*

**193 - WAARDENBURG P.J.**

Das menschliche Auge und seine Erbanlagen  
*Nijhoff., The Hague, p. 363, 1932*

**194 - WAARDENBURG P.J., FRANCESCHETTI A., KLEIN D.**

Genetics and Ophthalmology  
*Springfield, Thomas, Vol. 2, 1963*

**195 - WADENSTEN L.**

The use of flicker E.R.G. in the human eye  
*Acta Ophthalm. (Kbh.), 34, 311-340, 1956*

**196 - WAKAYAMA Y.**

Über die familiäre progressive Makuladegeneration  
*Chuo-Ganka-Iho., 31, 22-33, 1939*  
*Ref. Zbl. Ges. Ophthalm., 44, 700, 1940*

**197 - WALSH F.B.**

Clinical neuro-ophthalmology  
*Williams and Wilkins, Baltimore, 3rd. Ed., 805, 1962*

**198 - WERF VAN DER P.J.P.**

Fluorescein angiography of the choroidal circulation  
*Ophthalmologica, numéro 165, Basel, 6, 533-539, 1972*

**199 - WESSING A.**

Fluoreszenzangiographie der Retina  
*G. Thieme, Stuttgart, 1968*

**200 - YURI H.**

A case of Fundus Flavimaculatus  
*J. Clin. Ophthalm., Tokyo, numéro 23, 6, 601-608, 1969*